

第2-20表 土壤試料分析値閾値一覧

| Au (ppb) | Sn (ppm) | W (ppm) | Th (ppm) | Ce (ppm) | U (ppm) |
|-------------|-------------|------------|-------------|-------------|------------|
| 10 | 16 | 33 | 37 | 185 | 6.8 |

②地化学異常域の設定

隣接する2地点以上の試料の分析値が同じ成分の異常値である場合、それらにより囲まれる範囲をその成分の地化学異常域とした。

③地化学異常域の分布及び評価

調査地区内に認められた異常域は、イサハン川上流からツラン川にかけほぼWNW-ESE方向に延びる区域（イサハン川-ツラン川域）、イサハン川中流域、シカンブ川-ツラン川合流点区域の3箇所である。（第2-13図）

a)イサハン川-ツラン川域

3箇所の異常域のうち占める範囲は最も広い（0.3×2km）。Au, Sn, Wの異常値が重複してこの区域の大部分を占め、この範囲の東方延長部にSn, Th, Uの異常値が認められる。Auは10~65ppb, Snは16~72ppm, Wは33~90ppmの値を示す。Th37~69ppm, Uは6.8~13.2ppmを示す。

本区域にはイサハン川錳化帯及び優白色花崗岩が分布する。

b)イサハン川中流域

Snのみの異常値（23~150ppm）、3点からなる。本区域には錳化帯または貫入岩は認められていない。

c)シカンブ川-ツラン川合流点区域

Au, Snの異常値が分布する。Auは10ppb, Snは16~68ppmを示す。

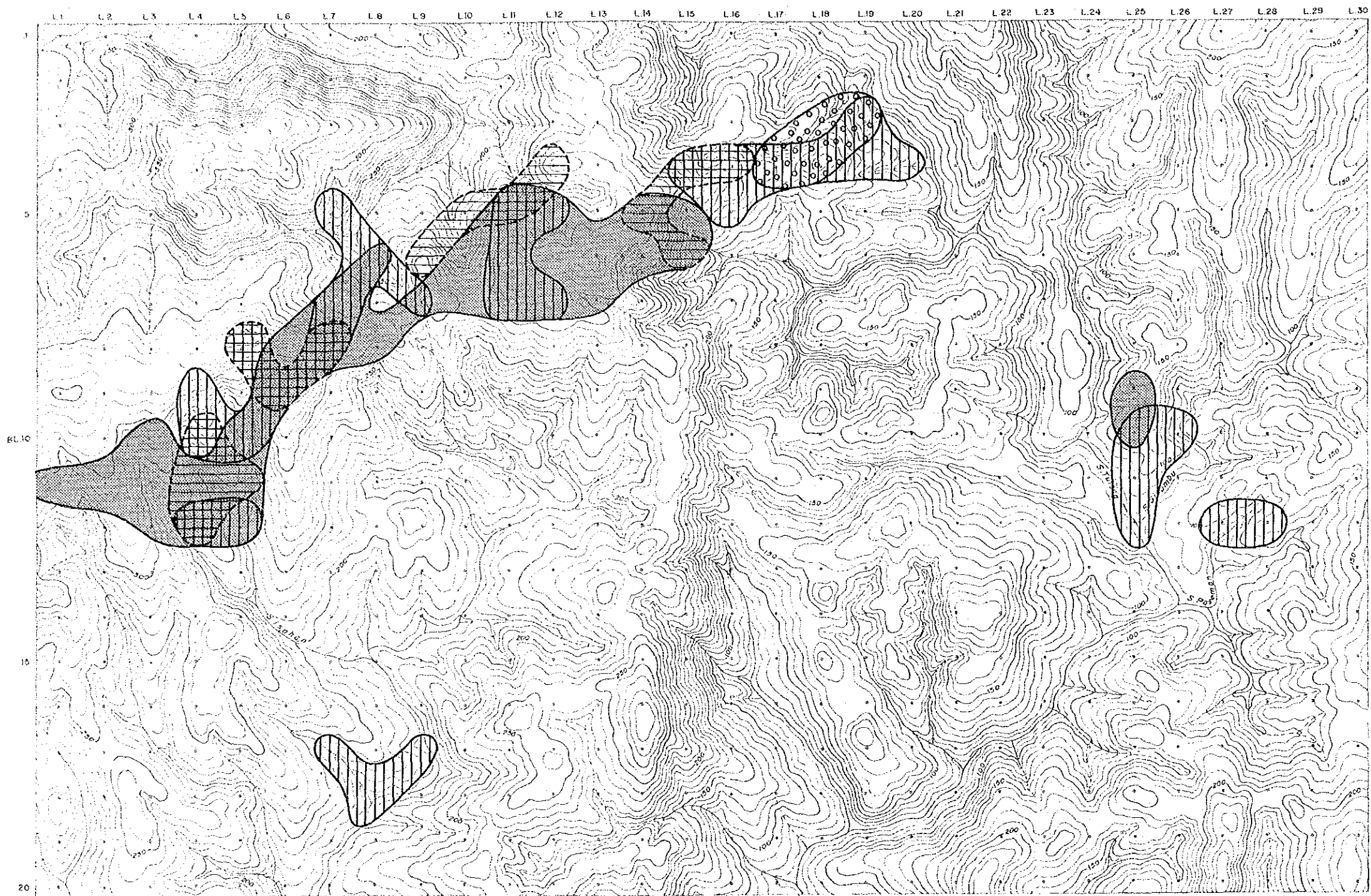
本地域にはシカンブ川錳化帯及び優白色花崗岩が分布する。

2-4 地化学異常と錳化・変質作用との関係

河床堆積物試料、パンニング試料または土壤試料による地化学異常と錳化・変質帯が対応する区域は、以下の通りである。

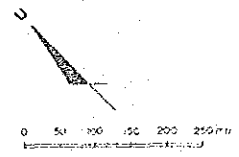
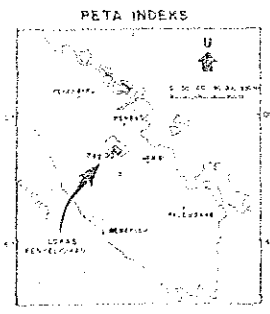
(1)河床堆積物試料及びパンニング試料によるAランク地化学異常

題記両試料のAランク地化学異常が一致する範囲は、ピナン川流域、イサハン川上流域（錳化帯）、イサハン川下流域、ツラン川支流域（優白色花崗岩）、シカンブ川下流域（錳化帯）、シカンブ川支流域（優白色花崗岩）の6区域であり、イサハン川下流域及びピナン川流域を除き、区域内に優白色花崗岩または同岩中に錳化帯を認めている。



LEGEND
 Geochemical Anomaly (Soil)

- Au > 10ppb
- W > 33ppm
- Sn > 16ppm
- Th > 37ppm
- U > 6.8 ppm



第2-13図 地化学探査解析結果図 (土壤試料)

(2) 土壌試料による地化学異常

調査地区内に認められた異常域は、イサハン川上流からツラン川にかけほぼWNW-ESE方向に延びる区域（イサハン川上流-ツラン川支流域）、イサハン川中流域、シカンプ川-ツラン川合流点区域の3箇所である。このうち鉍化・変質帯が分布するのは、イサハン川中流域を除く、2箇所である。

イサハン川上流-ツラン川支流域には優白色花崗岩が大きくみて3箇所分布し、そのうち1箇所（イサハン川上流）には錫鉍化帯（イサハン川鉍化帯）が分布する。

シカンプ川-ツラン川合流点区域には、錫鉍化帯（シカンプ川鉍化帯）が分布する

イサハン川中流域は、河床堆積物試料ではAランク地化学異常が得られているが、パンニング試料では地化学異常は得られていない。従い、その地化学異常のランクは低いと考えられる。

第3章 ボーリング調査

3-1 調査方法

本年度調査地域内の初成錫石鉱化作用の存在については1974~1975年に行われたP. T. Timahとインドネシア地質調査所によるパンニング調査により発見された(SUBANDORO et al., 1975)。その後、鉱物資源局の調査(1984~1985)によりイサハン川区域とシカンブ川区域のグライゼン中、花崗岩中または花崗岩と堆積岩との接触部に胚胎する石英脈中に錫石の賦存を認めている(HARAHAP et al., 1986及びHARMANTO et al., 1986)。

本年次の地質調査及び地化学探査結果、鉱床賦存有望地域としてイサハン川区域及びシカンブ川区域が抽出され、イサハン川区域で4孔、シカンブ川区域で2孔のボーリング調査が実施された。各孔毎の位置及び掘進長を第2-21表に示す。また、各孔の位置、地質・地質断面図を第2-14図に示す。なお、各孔の掘進作業はシカンブ川地区MJIT-1, 2, イサハン川地区MJIT-3, 4, 6, 5の順で実施された。

ボーリング・コアの調査にあたっては、柱状図を縮尺1:200で作成するとともに、全コアのカラー写真撮影を実施した。岩石薄片21試料、鉱石研磨片11試料、X線回折粉末法試験6試料及び化学分析209試料を調査解析に活用した。

第2-21表 孔別位置及び掘進長

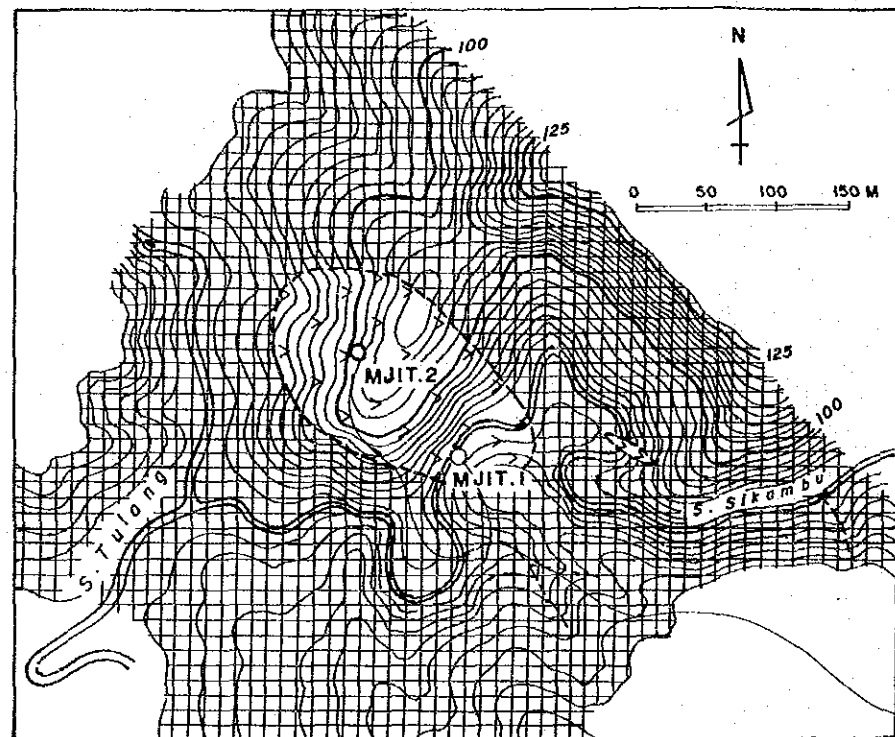
| Drill No. | Locality | Coordinates | | Elevation | Inclination | Drilled length |
|-----------|------------|-------------|-------------|-----------|-------------|----------------|
| | | Latitude | Longitude | | | |
| MJIT-1 | S. Sikambu | S0°49'28" | E102°20'30" | 78m | -90° | 101.0m |
| MJIT-2 | ditto | S0°49'26" | E102°20'28" | 102m | -90° | 101.7m |
| MJIT-3 | S. Isahan | S0°48'37" | E102°19'44" | 167m | -90° | 101.0m |
| MJIT-4 | ditto | S0°48'39" | E102°19'41" | 155m | -90° | 101.4m |
| MJIT-5 | ditto | S0°48'39" | E102°19'46" | 238m | -90° | 100.5m |
| MJIT-6 | ditto | S0°48'34" | E102°19'41" | 215m | -90° | 100.4m |

3-2 地質及び鉱化作用


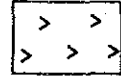
3-2-1 地質概況

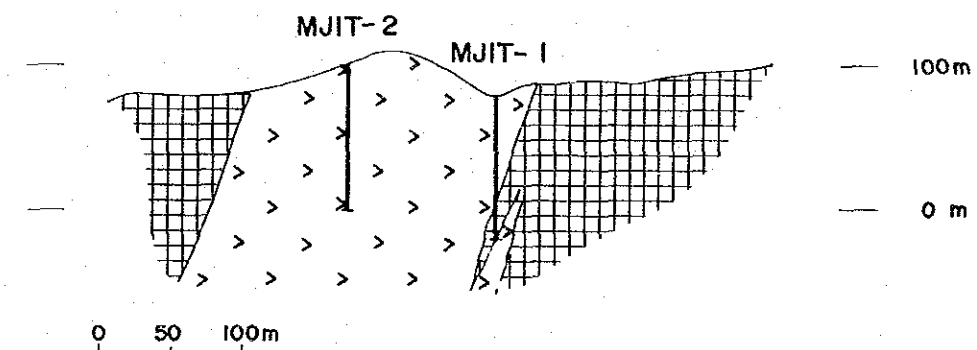
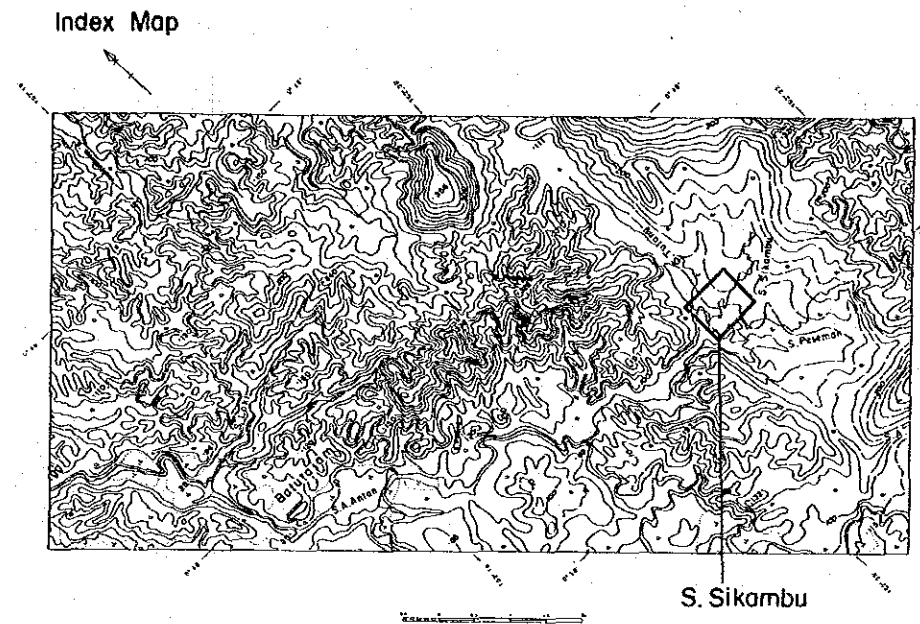
イサハン川区域は、古生界ピンツーツジュ山層ツラン川部層のシルト岩及び頁岩、優白色花崗岩、新第三系ウンプル川層の砂岩よりなる。優白色花崗岩は地表では幅1~5mの3岩脈よりなり、その走向はほぼE-Wを示す。

シカンブ川区域は、古生界ピンツーツジュ山層ツラン川部層のシルト岩及び頁岩、優白色花崗岩よりなる。優白色花崗岩は地表では100×200mの楕円形または幅1mの岩脈をなす。

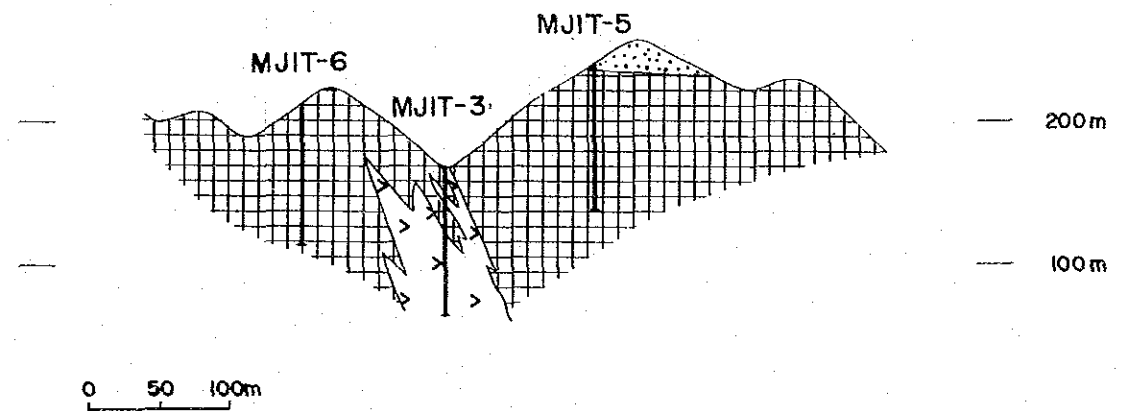
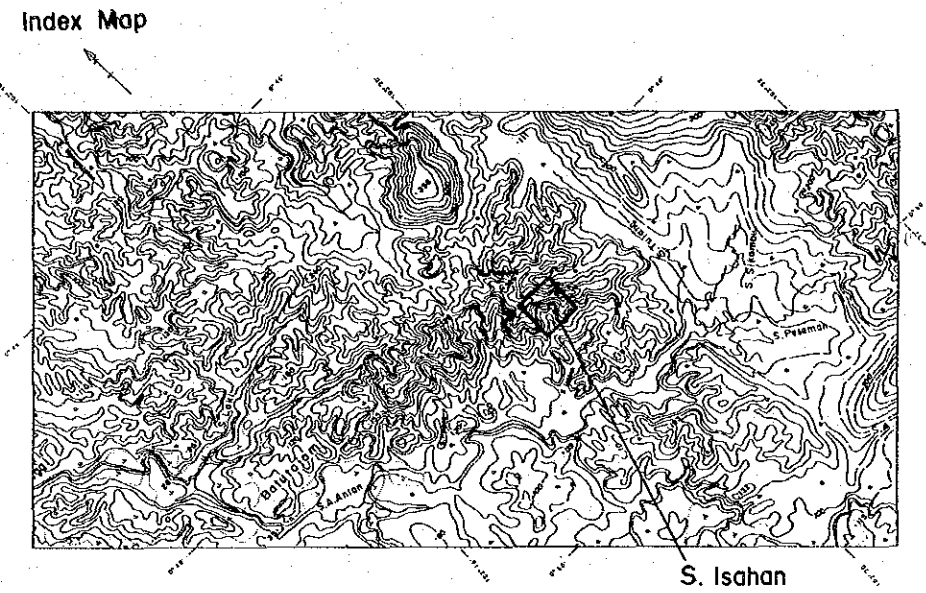
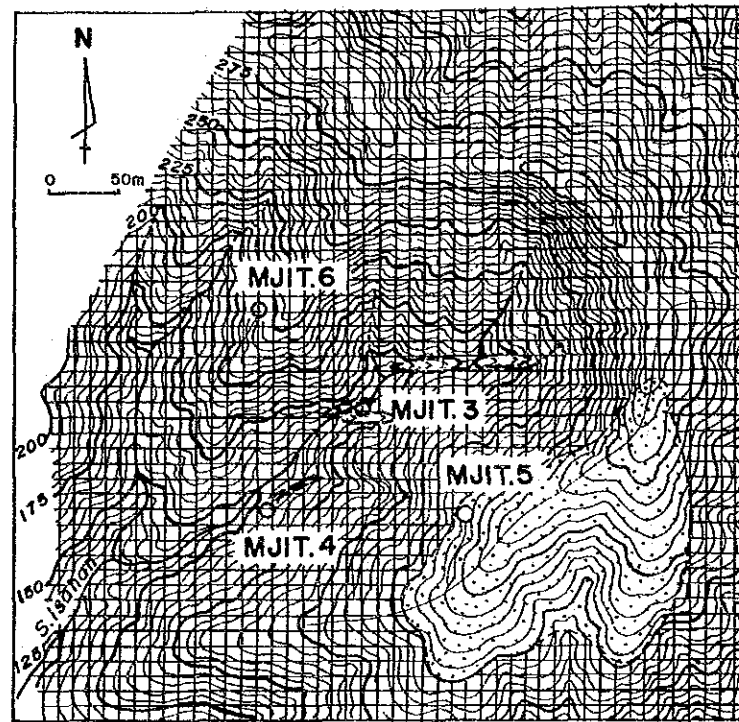


LEGEND

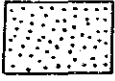
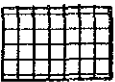
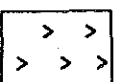
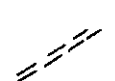
-  Hornfels (siltstone)
-  Leucocratic granite

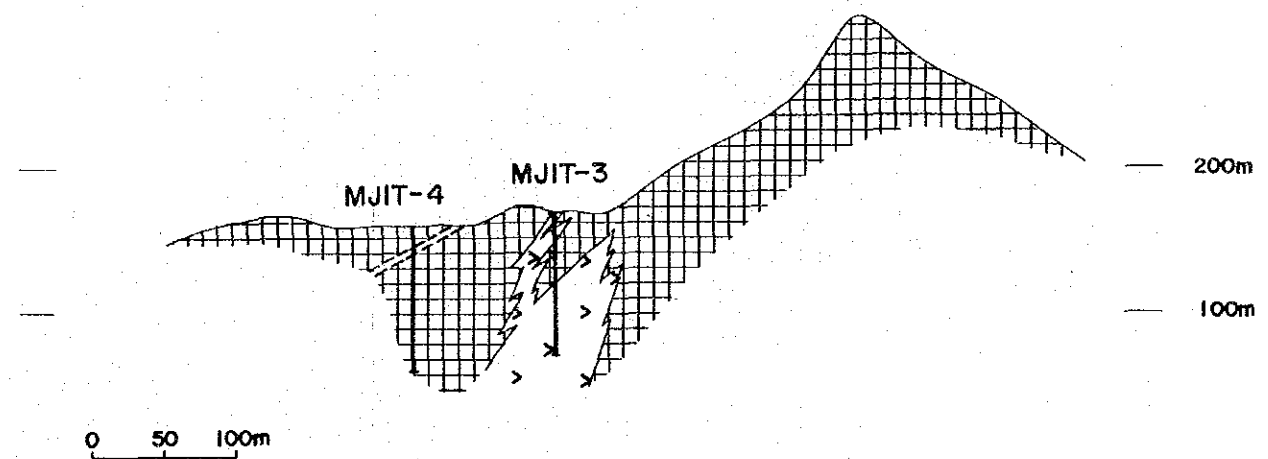


第2-14図(1) ボーリング位置図, 地質図及び地質断面図(S. Sikambu)



LEGEND

-  S. Empelu Formation (Tertiary)
-  Hornfels (siltstone)
-  Leucocratic granite
-  Fault



第2-14図(2) ボーリング位置図、地質図及び地質断面図(S. Isahan)

3-2-2 鉍化作用

(1)イサハン川区域

優白色花崗岩岩脈中には幅1~40cmの石英脈が網状に発達する。石英脈中には錫石、白雲母、電気石、硫砒鉄鉍、黄鉄鉍と微量の緑柱石を含む。脈幅の厚い石英脈の盤際には幅1~5cmの白雲母-カオリナイト-カリ長石帯が形成されていることが多い。

石英-白雲母脈は、優白色花崗岩に直接する粘板岩中にも幅10cmの脈として認められる。

優白色花崗岩は、カリ長石、斜長石の大部分が白雲母化しており、また一部にはカオリナイト、緑柱石及び褐鉄鉍が認められる。

優白色花崗岩に隣接する頁岩は、脱色して灰白色を呈し、石英-カオリナイト-絹雲母の組み合わせを示す。優白色花崗岩近傍のシルト岩中にはグライゼン化した珪化-白雲母化岩が認められる。

(2)シカンブ川区域

優白色花崗岩中には脈幅2~20cmの石英脈5条が認められる。石英脈中には錫石、白雲母、電気石、硫砒鉄鉍を含み、盤際には白雲母を伴う。

母岩は白雲母化及びカオリナイト化しているが、イサハン川上流鉍化帯に比べ、その程度は弱くカリ長石及び斜長石の大部分は残存している。

3-3 ボーリング工法、使用機材及び掘進状況

3-3-1 工法及び使用機材

(1)工法

礫層を含む表層風化部（層厚約4m）については、NX-CPシュー（φ92mm）により普通工法で掘進したのち、NXケーシングパイプを挿入した。岩盤に移行した後は、NQ（φ79mm）及びBQ（φ62mm）のオーバーサイズ・ダイヤモンドビットを用いたワイヤーライン工法とした。各孔の岩石とも多くの亀裂が発達しており、掘進に際してはしばしば逸水を伴ったが、テルストップおよびオイルベントナイトを圧入して逸水防止に努めた。

(2)機材

試錐機はLongyear社のL-24を使用した。試錐機、ポンプなど使用機材の形式、仕様は第2-22表に示した。また、ダイヤモンドビット使用状況を第2-23表に、消耗品の使用明細を第2-24表に示した。

(3)作業形態

第2-22表 使用機器一覽表

| | |
|--|--|
| <u>Dilling machine ; Model "L-24"</u> Specifications: Capacity Dimensions LxWxH Hoisting capacity Spindle speed Engine ; Model "NF120EK" | 1 set 170m (BQ-WL) 1,600x830x1,380mm 1,000kg Forward 148, 329, 611rpm 11.5ps/2,400rpm |
| <u>Drilling pump ; Model "WLMG10"</u> Specifications: Piston diameter Stroke Capacity Dimensions LxWxH Engine ; Model "NF90K" | 1 set 68mm 60mm Discharge capacity 120ℓ/min 1,860x600x690mm 9ps/2,400rpm |
| <u>Wire line hoist ; Model "WLH-S"</u> Specifications: Rope capacity Hoisting speed Engine ; Model "NSA50C-G" | 300m 8~105m/min 6ps/2,400rpm |
| <u>Mud mixer ; Model "MM-135"</u> Specifications: Capacity Engine ; Model "NSA50C-G" | 1 set 100ℓ/600rpm 6ps/2,400rpm |
| <u>Generator ; Model "YDG3000"</u> Specifications: Capacity | 2 sets 2.7KW 50Hz 100V |
| <u>Water supply pump ; Model "WLMG5h"</u> Specifications: Piston diameter Stroke Capacity Dimensions LxWxH | 1 set 68mm 60mm Discharge capacity 65ℓ/min 1,630x465x675mm |
| <u>Derrick</u> Specifications: Height Max load capacity | 1 set 7.5m 2,000kg |
| <u>Drilling Tools</u> Drilling rod Casing pipe | NQ-WL 3m 15pcs BQ-WL 3m 60pcs NX-NU 0.5m 8pcs NX-NU 1.0m 1pcs NX-NU 1.5m 2pcs BX-NU 1.0m 2pcs BX-NU 3.0m 20pcs |

第2-23表 ダイヤモンドビット使用数量表

| Item | Size | Bit No. | Drilling Meterage by Unit : Meter | | | | | | Total (m) |
|-----------------|-------|---------|-----------------------------------|---------------------------|--------|--------|--------|--------|--------------|
| | | | MJIT-1 | MJIT-2 | MJIT-3 | MJIT-4 | MJIT-5 | MJIT-6 | |
| Diamond Bit | NQ | 10862 | 14.0 | 11.6 | | | | | 25.6 |
| | | 10860 | | | | | 25.1 | | 25.1 |
| | | 10861 | | | 11.7 | 4.7 | | | 16.4 |
| | | 10863 | | | | | | 12.8 | 12.8 |
| | | Total | 14.0 | 11.6 | 11.7 | 4.7 | 25.1 | 12.8 | 80.0 |
| | Total | | | Drilling Length/Bit 20.0m | | | | | |
| | BQ | 10870 | 18.9 | | | | | | 18.9 |
| | | 10874 | 64.0 | | | | | | 64.0 |
| | | 10864 | | | | | | 37.5 | 37.5 |
| | | 10865 | | | | | | 45.7 | 45.7 |
| | | 10866 | | | 18.3 | | | | 18.3 |
| | | 10867 | | | | | 38.2 | | 38.2 |
| | | 10868 | | 43.8 | | | | | 43.8 |
| | | 10869 | | | | 40.8 | | | 40.8 |
| | | 10871 | | 42.3 | | | | | 42.3 |
| | | 10872 | | | 69.8 | | | | 69.8 |
| | | 10873 | | | | | 32.2 | | 32.2 |
| | | 10875 | | | | | 51.7 | | 51.7 |
| | | Total | 82.9 | 86.1 | 88.1 | 92.5 | 70.4 | 83.2 | 503.2 |
| | Total | | | Drilling Length/Bit 41.9m | | | | | |
| Diamond Shoe | NX | 10876 | | | 1.2 | 4.2 | | 4.2 | 9.6 |
| | | 10877 | | | | | 5.0 | | 5.0 |
| | | Total | | | 1.2 | 4.2 | 5.0 | 4.2 | 14.6 |
| Total | | | Drilling Length/Bit 7.3m | | | | | | |

第2-24表 消耗品使用数量表

| Description | Specifications | Unit | Quantity | | | | | | Total |
|----------------------|----------------|------|----------|--------|--------|--------|--------|--------|-------|
| | | | MJIT-1 | MJIT-2 | MJIT-3 | MJIT-4 | MJIT-5 | MJIT-6 | |
| Light oil | | ℓ | 1,300 | 1,200 | 1,280 | 1,120 | 1,040 | 1,120 | 7,060 |
| Hydraulic oil | | ℓ | 60 | | | 10 | | | 70 |
| Engine oil | | ℓ | 80 | 48 | 40 | 36 | 25 | 25 | 254 |
| Greas | | kg | 6 | 4 | 4 | 4 | 4 | 4 | 26 |
| Bentonite | | kg | 500 | 550 | 750 | 500 | 650 | 650 | 3,600 |
| CMC | | kg | 25 | 26 | 35 | 30 | 35 | 35 | 186 |
| Tel-stop | | kg | | | 30 | | 60 | 60 | 150 |
| Mud oil | | ℓ | 45 | 40 | 60 | 60 | 45 | 60 | 310 |
| Cement | | kg | 200 | 200 | 200 | 200 | 200 | 200 | 1,200 |
| Diamond bit | NQ-WL | pc | 1 | | 1 | | 1 | 1 | 4 |
| Diamond bit | BQ-WL | pc | 2 | 2 | 2 | 2 | 2 | 2 | 12 |
| Diamond reamer | NQ-WL | pc | 1 | | | | | | 1 |
| Diamond reamer | BQ-WL | pc | 1 | | 1 | | | | 2 |
| Diamond shoe | NX | pc | | | 1 | | 1 | | 2 |
| Casing metal shoe | NX | pc | 1 | | | | | | 1 |
| Core barrel Ass'y | NQ-WL | set | 1 | | | | | | 1 |
| Core barrel Ass'y | BQ-WL | set | 1 | | | 1 | | | 2 |
| Inner tube | NQ-WL | pc | 2 | | | | 1 | | 3 |
| Inner tube | BQ-WL | pc | 2 | | | 1 | | | 3 |
| Core lifter case | NQ-WL | pc | 2 | | | 2 | | | 4 |
| Core lifter case | BQ-WL | pc | 2 | | 2 | | 2 | | 6 |
| Core lifter | NQ-WL | pc | 2 | | | 2 | | 2 | 6 |
| Core lifter | BQ-WL | pc | 2 | | 2 | 1 | 2 | | 7 |
| Thrust ball bearing | NQ-WL | pc | | | 2 | | | | 2 |
| Thrust ball bearing | BQ-WL | pc | | 2 | | 2 | | | 4 |
| Innertube stabilizer | NQ-WL | pc | 1 | | | 1 | | | 2 |
| Innertube stabilizer | BQ-WL | pc | 1 | | 1 | | 1 | | 3 |
| Chack piece | NQ-WL | set | 1 | | | | | | 1 |
| Chack piece | BQ-WL | set | 1 | | | | | | 1 |
| Cylinder liner | MG-10 | pc | | | | 2 | | | 2 |
| Piston rod | MG-10 | pc | | | | 2 | | | 2 |
| Piston rubber | MG-10 | pc | | | | 2 | | | 2 |
| V-packing | MG-10 | pc | | | | 14 | | | 14 |
| Wire rope | | m | 200 | | | | | | 200 |
| Core box | NQ-WL | pc | 3 | 3 | 2 | 2 | 5 | 16 | 31 |
| Core box | BQ-WL | pc | 9 | 9 | 9 | 9 | 8 | | 44 |

運搬道路造成、設営、移転及び撤去作業は1日1方、掘進作業は原則として1方8時間の3交代制で実施した。掘進作業の1方構成人員は、日本側技術者1名、インドネシア側技術者1名、インドネシア人作業員3名の計5名で編成した。運搬道路造成ほかの諸作業にはさらにインドネシア人作業員15名が従事した。

各作業実施にあたっては、試錐現場近くにキャンプを設営しここに調査団全員が宿泊し、これより試錐現場ほかへ徒歩通勤し、作業を実施した。

(4)運搬道路造成

シカンプ川区域東方1.5kmの地点を通る木材搬出道路があり、ここよりシカンプ川区域まで延長3.6km、さらに前記道路の延長部よりイサハン川区域まで延長5.0kmの機材運搬道路(幅員7m)を造成した。道路造成はブルドーザを使用して行い、シカンプ川区域では17日間、イサハン川区域では42日間の工期を要した。

(5)機材運搬

試錐機材の大部分は、日本から海上輸送され、スマトラ西岸の都市パダンに陸揚された。パダンからベースキャンプを設置したパンカランカサイまでトラックで運搬し一旦パンカランカサイに荷下ろしした。ここより既存の木材搬出道路終点まで四輪駆動トラックにて運搬した。さらに既存道路終点より試錐現場まで、また試錐現場間はブルドーザにより機材を運搬した。

(6)用水

試錐用水は試錐現場近くのシカンプ川及びイサハン川より揚水した。揚水距離は最長650m、高低差最大90mであった。

(7)撤収

調査終了後、大部分の機材は搬入の逆コースをたどり、パダンより日本へ海上輸送された。ボーリングコアはバンドンへ運搬し、鉱物資源局に保管された。

3-3-2 掘進状況

各孔毎の掘進状況は下記の通りである。なお作業時間総括表を第2-25表に、掘進作業実績表を第2-26~2-31表に、掘進成績総括表を第2-32~2-37表に、また掘進工程図を第2-15~2-20図に示した。

第2-25表 作業時間総括表

| Hole No. | Drilling | | Shift | | Men Working | | Working Time | | | | | | | |
|----------|----------|----------------------|-----------|-------------------|----------------|---------------|-------------------------|---------------|--------------------|------------|----------------------|-------------------------|-------------------------------|---------------------|
| | Bit size | Drilling length m | Core m | Drilling shift | Total shift | Engi- neer | Worker Number of men | Drilling h | Other work h | Total h | Assem- blage h | Disman- tlement h | Trans- porta- tion h | Grand Total h |
| | | | | | | | | | | | | | | |
| MJIT-1 | NX/NQ/BQ | 101.0 | 93.7 | 16.0 | 23.0 | 78 | 260 | 61.0 | 67.0 | 128.0 | 16.0 | 16.0 | 24.0 | 184.0 |
| MJIT-2 | NX/NQ/BQ | 101.7 | 87.5 | 15.0 | 21.0 | 66 | 220 | 63.7 | 56.3 | 120.0 | 16.0 | 16.0 | 15.0 | 168.0 |
| MJIT-3 | NX/NQ/BQ | 101.0 | 93.4 | 15.6 | 20.5 | 60 | 200 | 63.1 | 61.9 | 125.0 | 16.0 | 7.0 | 16.0 | 164.0 |
| MJIT-4 | NX/NQ/BQ | 101.4 | 99.7 | 14.0 | 16.5 | 40 | 200 | 53.8 | 58.2 | 112.0 | 8.0 | 8.0 | 4.0 | 132.0 |
| MJIT-5 | NX/NQ/BQ | 100.5 | 98.9 | 12.5 | 15.0 | 36 | 180 | 52.1 | 47.9 | 100.0 | 8.0 | 4.0 | 8.0 | 120.0 |
| MJIT-6 | NX/NQ/BQ | 100.4 | 97.7 | 14.0 | 17.0 | 40 | 200 | 52.3 | 59.7 | 112.0 | 8.0 | 8.0 | 8.0 | 136.0 |
| Total | NX/NQ/BQ | 606.0 | 570.9 | 87.1 | 113.0 | 320 | 1260 | 346.0 | 351.0 | 697.0 | 72.0 | 59.0 | 76.0 | 904.0 |

第2-26表 掘進作業実績表 (MJIT-1)

| | Drilling Length | | | Total | | Shift | | Working Man | |
|--------|-----------------|--------------|--------------|---------------|---------------------|-------------------|----------------|-----------------|---------------|
| | Shift 1 m | Shift 2 m | Shift 3 m | Drilling m | Core Length m | Drilling shift | Total shift | Engineer man | Worker man |
| Sep/11 | Transportation | | | | | | | | |
| 12 | ditto | | | | | | | | |
| 13 | ditto | | | | | | | | |
| 14 | Assemblage | | | | | | | | |
| 15 | ditto | | | | | | | | |
| 16 | 4.00 | - | - | 4.00 | - | | | | |
| 17 | 7.70 | 6.40 | 6.60 | 20.70 | 19.80 | | | | |
| 18 | 5.90 | 5.90 | 6.40 | 18.20 | 17.90 | | | | |
| 19 | 8.70 | 5.50 | 6.60 | 20.80 | 20.80 | | | | |
| 20 | 6.20 | 6.80 | 6.10 | 19.10 | 18.80 | | | | |
| 21 | 6.50 | 6.90 | 4.80 | 18.20 | 16.40 | | | | |
| 22 | Dismantlement | | | | | | | | |
| 23 | ditto | | | | | 16 | 23 | 78 | 260 |
| Total | | | | 101.00 | 93.70 | 16 | 23 | 78 | 260 |

第2-27表 掘進作業実績表 (MJIT-2)

| | Drilling Length | | | Total | | Shift | | Working Man | |
|--------|-----------------|--------------|--------------|---------------|---------------------|-------------------|----------------|-----------------|---------------|
| | Shift 1 m | Shift 2 m | Shift 3 m | Drilling m | Core Length m | Drilling shift | Total shift | Engineer man | Worker man |
| Sep/24 | Transportation | | | | | | | | |
| 25 | ditto | | | | | | | | |
| 26 | Assemblage | | | | | | | | |
| 27 | ditto | | | | | | | | |
| 28 | 4.20 | 7.10 | 5.70 | 17.00 | 7.50 | | | | |
| 29 | 6.90 | 7.50 | 7.60 | 22.00 | 17.30 | | | | |
| 30 | 6.00 | 7.40 | 7.10 | 20.50 | 20.50 | | | | |
| Oct/1 | 7.60 | 7.20 | 7.80 | 22.60 | 22.60 | | | | |
| 2 | 6.10 | 7.40 | 6.10 | 19.60 | 19.60 | | | | |
| 3 | Dismantlement | | | | | | | | |
| 4 | ditto | | | | | 15 | 21 | 66 | 220 |
| Total | | | | 101.70 | 87.50 | 15 | 21 | 66 | 220 |

第2-28表 掘進作業実績表 (MJIT-3)

| | Drilling Length | | | Total | | Shift | | Working Man | |
|--------|-------------------|---------------|--------------|---------------|---------------------|-------------------|----------------|-----------------|---------------|
| | Shift 1 m | Shift 2 m | Shift 3 m | Drilling m | Core Length m | Drilling shift | Total shift | Engineer man | Worker man |
| Oct/ 6 | Transportation | | | | | | | | |
| 7 | ditto | | | | | | | | |
| 8 | ditto. Assemblage | | | | | | | | |
| 9 | Assemblage | | | | | | | | |
| 10 | 4.00 | 5.50 | 6.10 | 15.60 | 13.40 | | | | |
| 11 | 6.50 | 6.50 | 5.60 | 18.60 | 14.80 | | | | |
| 12 | 6.50 | 6.50 | 6.50 | 19.50 | 19.50 | | | | |
| 13 | 6.40 | 5.40 | 7.90 | 19.70 | 18.10 | | | | |
| 14 | 7.80 | 8.50 | 8.20 | 24.50 | 24.50 | | | | |
| 15 | 3.10 | Dismantlement | | 3.10 | 3.10 | 15.6 | 20.5 | 60 | 200 |
| Total | | | | 101.00 | 93.40 | 15.6 | 20.5 | 60 | 200 |

第2-29表 掘進作業実績表 (MJIT-4)

| | Drilling Length | | | Total | | Shift | | Working Man | |
|--------|-----------------|--------------|--------------|---------------|---------------------|-------------------|----------------|------------------|---------------|
| | Shift 1 m | Shift 2 m | Shift 3 m | Drilling m | Core Length m | Drilling shift | Total shift | Enginneer man | Worker man |
| Oct/16 | Transportation | | | | | | | | |
| 17 | Assemblage | | | | | | | | |
| 18 | 6.40 | 10.20 | | 16.60 | 16.60 | | | | |
| 19 | 10.10 | 6.40 | | 16.50 | 16.50 | | | | |
| 20 | 2.20 | 3.50 | | 5.70 | 5.40 | | | | |
| 21 | 8.50 | 9.80 | | 18.30 | 18.30 | | | | |
| 22 | 8.50 | 6.60 | | 15.10 | 15.10 | | | | |
| 23 | 6.60 | 6.00 | | 12.60 | 11.20 | | | | |
| 24 | 8.80 | 7.80 | | 16.60 | 16.60 | | | | |
| 25 | Dismantlement | | | | | 14 | 16.5 | 40 | 200 |
| Total | | | | 101.40 | 99.70 | 14 | 16.5 | 40 | 200 |

第2-30表 掘進作業実績表 (MJIT-5)

| | Drilling Length | | | Total | | Shift | | Working Man | |
|--------|-----------------|---------------|--------------|---------------|---------------------|-------------------|----------------|------------------|---------------|
| | Shift 1 m | Shift 2 m | Shift 3 m | Drilling m | Core Length m | Drilling shift | Total shift | Enginneer man | Worker man |
| Nov/ 5 | Transportation | | | | | | | | |
| 6 | Assemblage | | | | | | | | |
| 7 | 10.00 | 10.80 | | 20.80 | 20.80 | | | | |
| 8 | 9.30 | 8.30 | | 19.60 | 17.20 | | | | |
| 9 | 8.20 | 6.60 | | 14.80 | 13.60 | | | | |
| 10 | 7.30 | 7.80 | | 15.10 | 15.10 | | | | |
| 11 | 6.70 | 6.80 | | 13.50 | 13.50 | | | | |
| 12 | 8.10 | 8.10 | | 16.20 | 16.20 | | | | |
| 13 | 2.50 | Dismantlement | | 2.50 | 2.50 | 12.5 | 15 | 36 | 180 |
| Total | | | | 100.50 | 98.90 | 12.5 | 15 | 36 | 180 |

第2-31表 掘進作業実績表 (MJIT-6)

| | Drilling Length | | | Total | | Shift | | Working Man | |
|--------|-----------------|--------------|--------------|---------------|---------------------|-------------------|----------------|------------------|---------------|
| | Shift 1 m | Shift 2 m | Shift 3 m | Drilling m | Core Length m | Drilling shift | Total shift | Enginneer man | Worker man |
| Oct/26 | Transportation | | | | | | | | |
| 27 | Assemblage | | | | | | | | |
| 28 | 8.20 | 5.40 | | 13.60 | 13.10 | | | | |
| 29 | 5.40 | 3.00 | | 8.40 | 6.60 | | | | |
| 30 | 5.10 | 7.50 | | 12.60 | 12.20 | | | | |
| 31 | 9.90 | 10.00 | | 19.90 | 19.90 | | | | |
| Nov/ 1 | 8.40 | 10.00 | | 18.40 | 18.40 | | | | |
| 2 | 8.50 | 7.00 | | 15.50 | 15.50 | | | | |
| 3 | 7.00 | 5.00 | | 12.00 | 12.00 | | | | |
| 4 | Dismantlement | | | | | 14 | 17 | 40 | 200 |
| Total | | | | 100.40 | 97.70 | 14 | 17 | 40 | 200 |

第2-32表 掘進成績総括表 (MJIT-1)

| Operation | Survey Period | | | | Total Man Day | | |
|--------------------------------|-------------------------|----------------------|------------------|-----------------------------------|-------------------------------|----------------------------------|--------------|
| | Period | Days | Work Day | Off Day | Engineer | Worker | |
| Preparation | 11. 9. 1990~15. 9. 1990 | 5 | 5 | - | 30 | 100 | |
| Drilling | 16. 9. 1990~21. 9. 1990 | 6 | 6 | - | 36 | 120 | |
| Removing | 22. 9. 1990~23. 9. 1990 | 2 | 2 | - | 12 | 40 | |
| Total | 11. 9. 1990~23. 9. 1990 | 13 | 13 | - | 78 | 260 | |
| Drilling Length | 100.0 m | | Overburden 4.0 m | | Core Recovery of 50m Hole | | |
| Length Planned | | | | Depth of Hole (m) | Core Recovery (%) | Core Recovery Cumulated (%) | |
| Increase or Decrease in Length | | Core Length 93.7 m | | 0 ~ 59.2 | 91.2 | 91.2 | |
| Length Drilled | 101.0 m | Core Recovery 92.8 % | | 59.2 ~ 101.0 | 95.0 | 92.8 | |
| Working Hours | h % | | % | | Efficiency of Drilling | | |
| Drilling | 61.0 | 47.7 | 33.2 | Total m/Work Period(m/day) | 101.0m/ 5days (16.8m/day) | | |
| Other working | 67.0 | 52.3 | 36.4 | Total m/Total Shift(m/shift) | 101.0m/ 16shifts (6.3m/shift) | | |
| Recovery | | | | Drilled Length/Bit(Each Size Bit) | | | |
| Total | 128.0 | 100.0 | 69.6 | Bit Size | NX | NQ | BQ |
| Assembly | 16.0 | | 8.7 | Drilled Length | 4.0m | 14.1m | 82.9m |
| Dismantling | 16.0 | | 8.7 | Core Length | - | 13.2m | 80.5m |
| Water Transportation | | | | Grand Total | 184.0 | 100.0 | |
| Transportation | 24.0 | | 13.0 | Casing Pipe Inserted | | | |
| Grand Total | 184.0 | 100.0 | | Size | Meterage (m) | Meterage Drillingx100 Length (%) | Recovery (%) |
| | | | | NX | 4.0 | 4.0 | 100 |
| | | | | BX | 18.0 | 17.8 | 100 |

第2-33表 掘進成績総括表 (MJIT-2)

| Operation | Survey Period | | | | Total Man Day | | |
|--------------------------------|--------------------------|----------------------|--------------|-----------------------------------|-------------------------------|----------------------------------|--------------|
| | Period | Days | Work Day | Off Day | Engineer | Worker | |
| Preparation | 24. 9. 1990~27. 9. 1990 | 4 | 4 | - | 24 | 80 | |
| Drilling | 28. 9. 1990~ 2. 10. 1990 | 5 | 5 | - | 30 | 100 | |
| Removing | 3. 10. 1990~ 4. 10. 1990 | 2 | 2 | - | 12 | 40 | |
| Total | 24. 9. 1990~ 4. 10. 1990 | 11 | 11 | - | 66 | 220 | |
| Drilling Length | 100.0 m | | Overburden m | | Core Recovery of 50m Hole | | |
| Length Planned | | | | Depth of Hole (m) | Core Recovery (%) | Core Recovery Cumulated (%) | |
| Increase or Decrease in Length | | Core Length 87.5 m | | 0 ~ 52.4 | 72.9 | 72.9 | |
| Length Drilled | 101.7 m | Core Recovery 86.0 % | | 52.4 ~ 101.7 | 100.0 | 86.0 | |
| Working Hours | h % | | % | | Efficiency of Drilling | | |
| Drilling | 63.7 | 53.1 | 37.9 | Total m/Work Period(m/day) | 101.7m/ 5days (20.3m/day) | | |
| Other Working | 56.3 | 46.9 | 33.5 | Total m/Total Shift(m/shift) | 101.7m/ 15shifts (6.8m/shift) | | |
| Recovery | | | | Drilled Length/Bit(Each Size Bit) | | | |
| Total | 120.0 | 100.0 | 71.4 | Bit Size | NX | NQ | BQ |
| Assembly | 16.0 | | 9.6 | Drilled Length | 4.2m | 11.6m | 86.1m |
| Dismantling | 16.0 | | 9.5 | Core Length | 4.2m | 2.7m | 80.6m |
| Water Transportation | | | | Grand Total | 168.0 | 100.0 | |
| Transportation | 16.0 | | 9.5 | Casing Pipe Inserted | | | |
| Grand Total | 168.0 | 100.0 | | Size | Meterage (m) | Meterage Drillingx100 Length (%) | Recovery (%) |
| | | | | NX | 4.0 | 3.9 | 100 |
| | | | | BX | 15.5 | 15.2 | 100 |

第2-34表 掘進成績総括表 (MJIT-3)

| Operation | Survey Period | | | | Total Man Day | |
|--------------------------------|---------------------------|------------------------------|----------|-----------------------------------|------------------------|-------------------------|
| | Period | Days | Work Day | Off Day | Engineer | Worker |
| Preparation | 6.10.1990~9.10.1990 | 4 | 4 | - | 24 | 80 |
| Drilling | 10.10.1990~15.10.1990 | 5.5 | 5.5 | - | 33 | 110 |
| Removing | 15.10.1990~15.10.1990 | 0.5 | 0.5 | - | 3 | 10 |
| Total | 6.10.1990~15.10.1990 | 10 | 10 | - | 60 | 200 |
| Drilling Length | Core Recovery of 50m Hole | | | | | |
| Length Planned | 100.0 m | Overburden | m | Depth of Hole | Core Recovery | Core Recovery Cumulated |
| Increase or Decrease in Length | | Core Length | 93.4 m | (m) | (%) | (%) |
| Length Drilled | 101.0 m | Core Recovery | 92.5 % | 0 ~ 53.7 | 88.8 | 88.8 |
| | | | | 53.7 ~ 101.0 | 96.6 | 92.5 |
| Working Hours | h | | % | | Efficiency of Drilling | |
| Drilling | 63.1 | 50.5 | 38.5 | Total m/Work | 101.0m/ 5.5days | |
| Other Working | 61.9 | 49.5 | 37.7 | Period(m/day) | (18.4m/day) | |
| Recovery | | | | Total m/Total | 101.0m/15.5shifts | |
| Total | 125.0 | 100.0 | 76.2 | Shift(m/shift) | (6.5m/shift) | |
| Assembly | 16.0 | | 9.8 | Drilled Length/Bit(Each Size Bit) | | |
| Dismantling | 7.0 | | 4.2 | Bit Size | NX | NQ |
| Water | | | | Drilled | | BQ |
| Transportation | | | | Length | 1.2m | 11.7m |
| | | | | Core | | 88.1m |
| Transportation | 16.0 | | 9.8 | Length | 1.2m | 11.4m |
| Grand Total | 164.0 | | 100.0 | Length | | 80.8m |
| Casing Pipe Inserted | | | | | | |
| Size | Meterage | Meterage Drilling×100 Length | Recovery | | | |
| | (m) | (%) | (%) | | | |
| NX | 4.1 | 4.1 | 100 | | | |
| BX | 13.1 | 13.0 | 100 | | | |

第2-35表 掘進成績総括表 (MJIT-4)

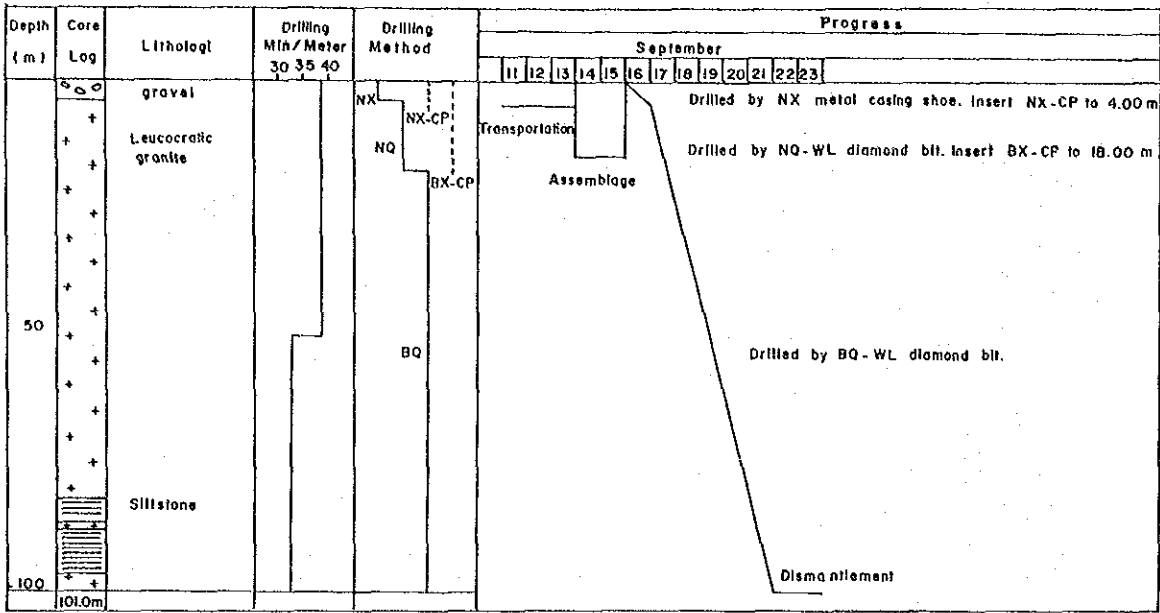
| Operation | Survey Period | | | | Total Man Day | |
|--------------------------------|---------------------------|------------------------------|----------|-----------------------------------|------------------------|-------------------------|
| | Period | Days | Work Day | Off Day | Engineer | Worker |
| Preparation | 16.10.1990~17.10.1990 | 2 | 2 | - | 8 | 40 |
| Drilling | 18.10.1990~24.10.1990 | 7 | 7 | - | 28 | 140 |
| Removing | 25.10.1990~25.10.1990 | 1 | 1 | - | 4 | 20 |
| Total | 16.10.1990~25.10.1990 | 10 | 10 | - | 40 | 200 |
| Drilling Length | Core Recovery of 50m Hole | | | | | |
| Length Planned | 100.0 m | Overburden | m | Depth of Hole | Core Recovery | Core Recovery Cumulated |
| Increase or Decrease in Length | | Core Length | 99.7 m | (m) | (%) | (%) |
| Length Drilled | 101.4 m | Core Recovery | 98.3 % | 0 ~ 57.1 | 99.5 | 99.5 |
| | | | | 57.1 ~ 101.4 | 96.8 | 98.3 |
| Working Hours | h | | % | | Efficiency of Drilling | |
| Drilling | 53.8 | 48.0 | 40.8 | Total m/Work | 101.4m/ 7days | |
| Other Working | 58.2 | 52.0 | 44.0 | Period(m/day) | (14.5m/day) | |
| Recovery | | | | Total m/Total | 101.4m/ 14shifts | |
| Total | 112.0 | 100.0 | 84.8 | Shift(m/shift) | (7.2m/shift) | |
| Assembly | 8.0 | | 6.1 | Drilled Length/Bit(Each Size Bit) | | |
| Dismantling | 8.0 | | 6.1 | Bit Size | NX | NQ |
| Water | | | | Drilled | | BQ |
| Transportation | | | | Length | 4.2m | 4.7m |
| | | | | Core | | 92.5m |
| Transportation | 4.0 | | 3.0 | Length | 4.2m | 4.7m |
| Grand Total | 132.0 | | 100.0 | Length | | 90.8m |
| Casing Pipe Inserted | | | | | | |
| Size | Meterage | Meterage Drilling×100 Length | Recovery | | | |
| | (m) | (%) | (%) | | | |
| NX | 4.2 | 4.1 | 100 | | | |
| BX | 28.0 | 27.6 | 100 | | | |

第2-36表 掘進成績總括表 (MJIT-5)

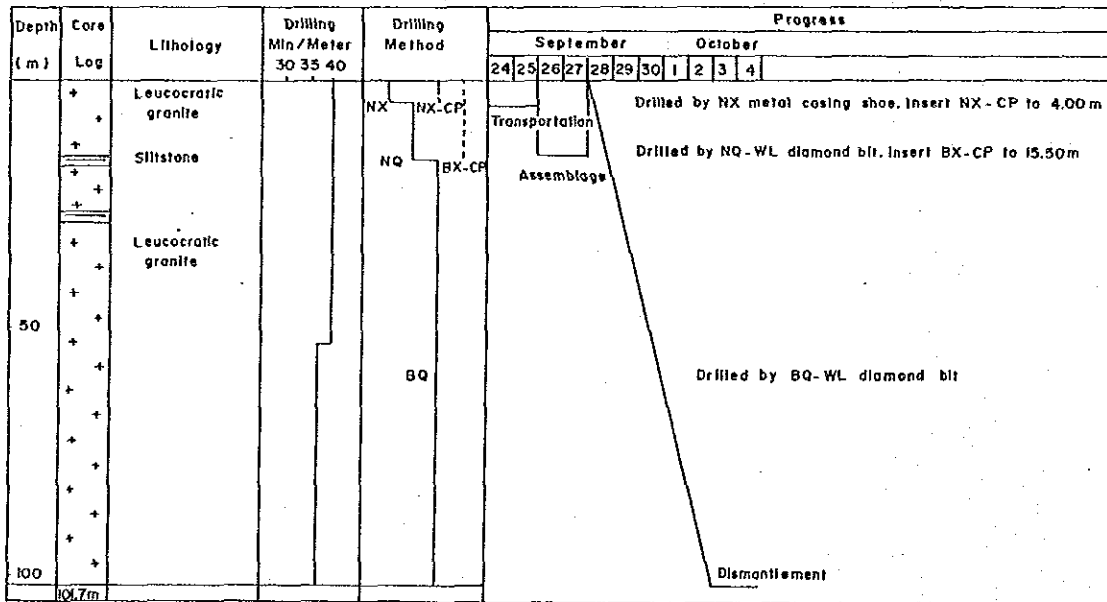
| Operation | Survey Period | | | | Total Man Day | | |
|--------------------------------|------------------------------|---------------|--------------|-----------------------------------|------------------------|--------------------------------|-------|
| | Period | Days | Work Day | Off Day | Engineer | Worker | |
| Preparation | 5.11.1990~6.11.1990 | 2 | 2 | - | 8 | 40 | |
| Drilling | 7.11.1990~13.11.1990 | 6.5 | 6.5 | - | 26 | 130 | |
| Removing | 13.11.1990~13.11.1990 | 0.5 | 0.5 | - | 2 | 10 | |
| Total | 5.11.1990~13.11.1990 | 9 | 9 | - | 36 | 180 | |
| Drilling Length | Core Recovery of 50m Hole | | | | | | |
| Length Planned | 100.0 m | Overburden | m | Depth of Hole (m) | Core Recovery (%) | Core Recovery Cumulated (%) | |
| Increase or Decrease in Length | | Core Length | 98.9 m | 0 ~ 53.2 | 97.0 | 97.0 | |
| Length Drilled | 100.5 m | Core Recovery | 98.4 % | 53.2 ~ 101.4 | 100.0 | 98.4 | |
| Working Hours | h | | % | | Efficiency of Drilling | | |
| Drilling | 52.1 | 52.1 | 43.4 | Total m/Work Period(m/day) | | 100.5m/6.5days (15.5m/day) | |
| Other Working | 47.9 | 47.9 | 39.9 | Total m/Total Shift(m/Shift) | | 100.5m/12.5shifts (8.0m/Shift) | |
| Recovery | | | | Drilled Length/bit(Each Size Bit) | | | |
| Total | 100.0 | 100.0 | 83.3 | Bit Size | NX | NQ | BQ |
| Assembly | 8.0 | | 6.7 | Drilled Length | 5.0m | 25.1m | 70.4m |
| Dismantling | 4.0 | | 3.3 | Core Length | 5.0m | 25.1m | 68.8m |
| Water | | | | | | | |
| Transportation | | | | | | | |
| Transportation | 8.0 | | 6.7 | | | | |
| Grandtotal | 120.0 | | 100.0 | | | | |
| Casing Pipe Inserted | Meterage Drillingx100 Length | | Recovery (%) | | | | |
| Size | Meterage (m) | (%) | (%) | | | | |
| NX | 5.0 | 5.0 | 100 | | | | |
| BX | 30.1 | 30.0 | 100 | | | | |

第2-37表 掘進成績總括表 (MJIT-6)

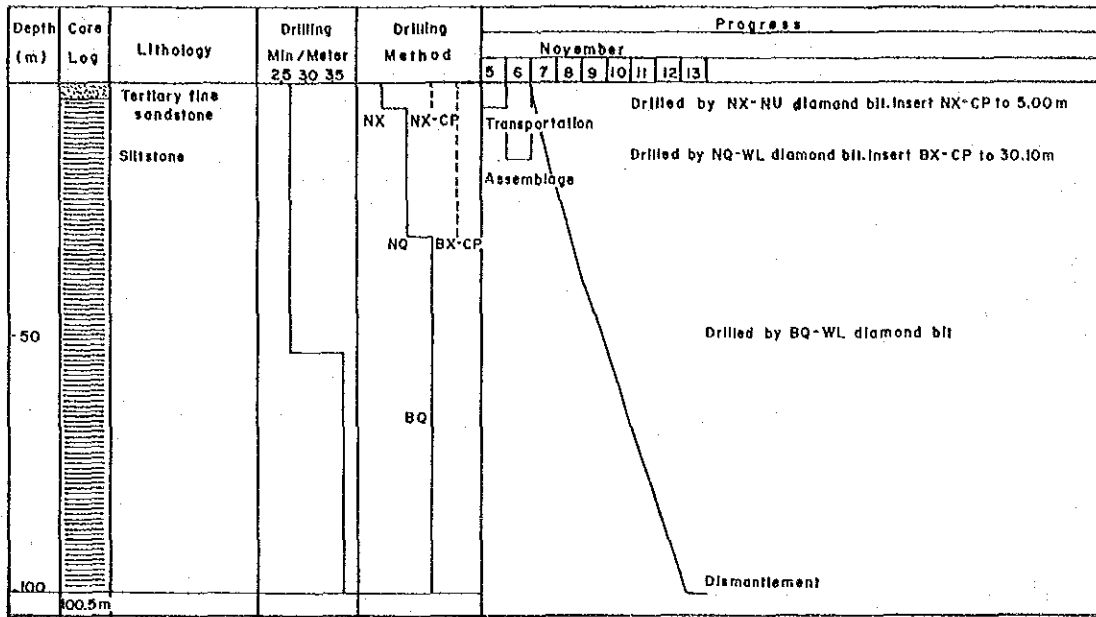
| Operation | Survey Period | | | | Total Man Day | | |
|--------------------------------|------------------------------|---------------|--------------|-----------------------------------|------------------------|------------------------------|-------|
| | Period | Days | Work Day | Off Day | Engineer | Worker | |
| Preparation | 26.10.1990~27.10.1990 | 2 | 2 | - | 8 | 40 | |
| Drilling | 28.10.1990~3.11.1990 | 7 | 7 | - | 28 | 140 | |
| Removing | 4.11.1990~4.11.1990 | 1 | 1 | - | 4 | 20 | |
| Total | 26.10.1990~4.11.1990 | 10 | 10 | - | 40 | 200 | |
| Drilling Length | Core Recovery of 50m hole | | | | | | |
| Length Planned | 100.0 m | Overburden | m | Depth of Hole (m) | Core Recovery (%) | Core Recovery Cumulated (%) | |
| Increase or Decrease in Length | | Core Length | 97.7 m | 0 ~ 54.5 | 95.0 | 95.0 | |
| Length Drilled | 100.4 m | Core Recovery | 97.3 % | 54.5 ~ 100.4 | 100.0 | 97.3 | |
| Working hours | h | | % | | Efficiency of Drilling | | |
| Drilling | 52.3 | 46.7 | 38.5 | Total m/Work Period(m/day) | | 100.4m/7days (14.3m/day) | |
| Other Working | 59.7 | 53.3 | 43.9 | Total m/Total Shift(m/Shift) | | 100.4m/14shifts (7.2m/Shift) | |
| Recovery | | | | Drilled Length/Bit(Each Size Bit) | | | |
| Total | 112.0 | 100.0 | 82.4 | Bit Size | NX | NQ | BQ |
| Assembly | 8.0 | | 5.9 | Drilled Length | 4.2m | 12.8m | 83.4m |
| Dismantling | 8.0 | | 5.9 | Core Length | 4.2m | 12.1m | 81.4m |
| Water | | | | | | | |
| Transportation | | | | | | | |
| Transportation | 8.0 | | 5.8 | | | | |
| Grandtotal | 136.0 | | 100.0 | | | | |
| Casing Pipe Inserted | Meterage Drillingx100 Length | | Recovery (%) | | | | |
| Size | Meterage (m) | (%) | (%) | | | | |
| NX | 4.2 | 4.2 | 100 | | | | |
| BX | 22.0 | 21.9 | 100 | | | | |



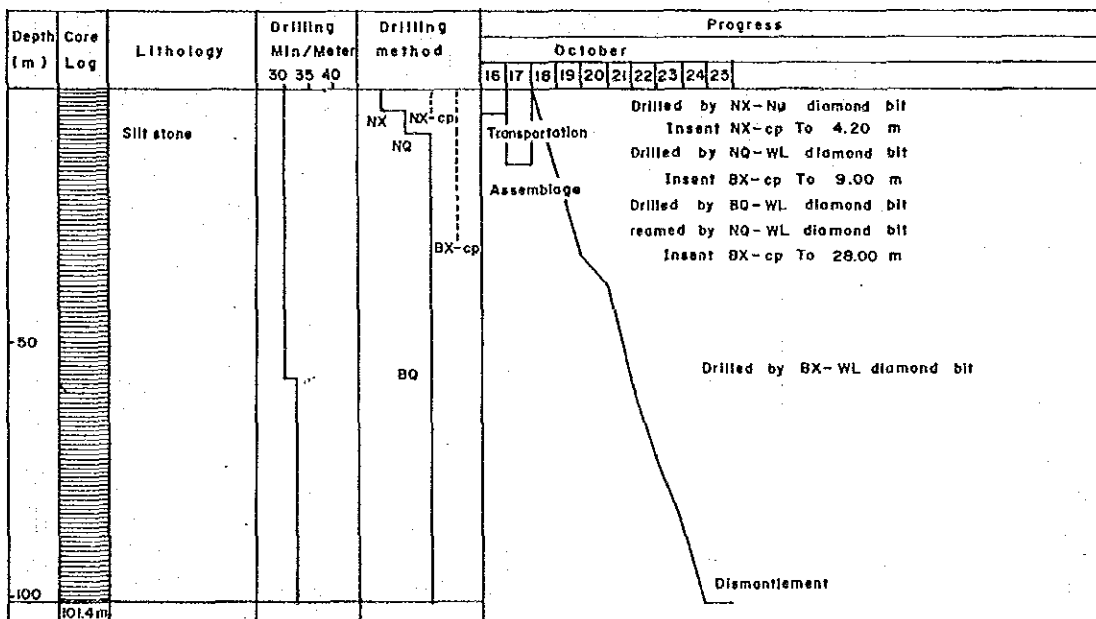
第2-15図 掘進工程図 (MJIT-1)



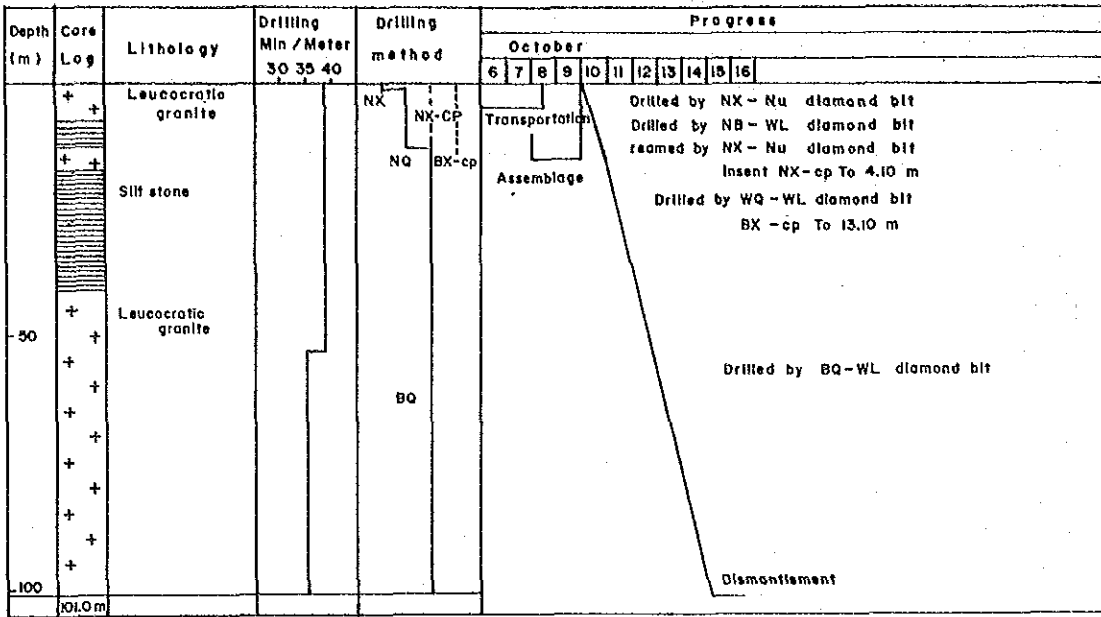
第2-16図 掘進工程図 (MJIT-2)



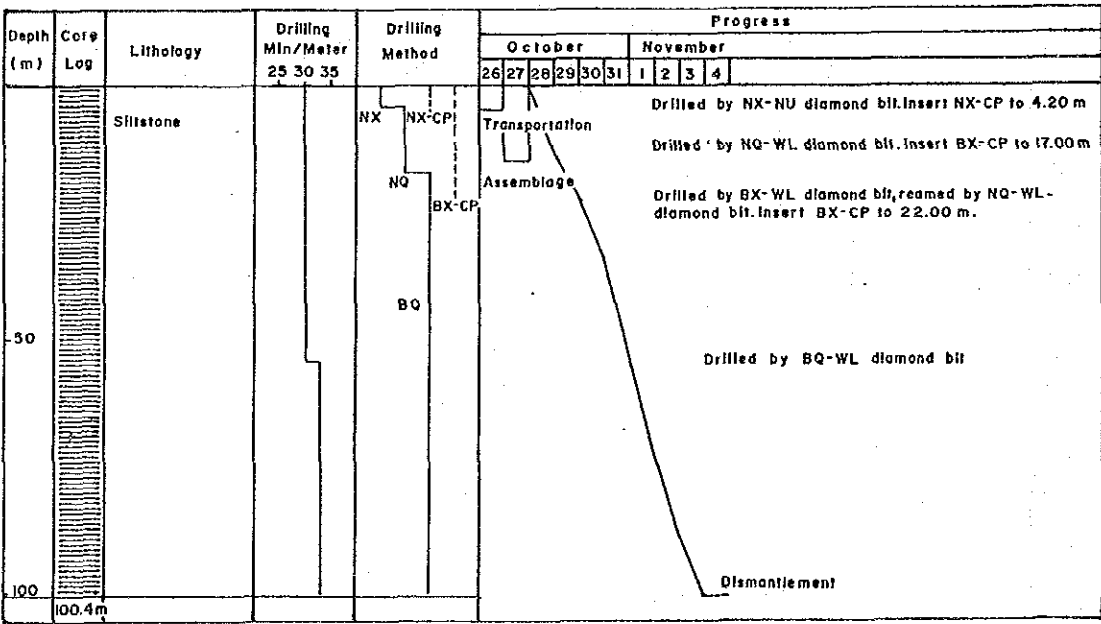
第2-17图 掘進工程图 (MJIT-3)



第2-18图 掘進工程图 (MJIT-4)



第2-19図 掘進工程図 (MJIT-5)



第2-20図 掘進工程図 (MJIT-6)

(1)MJIT-1号

砂礫層をNX-CPシューでベントナイト泥水を使用し深度4.0mまで普通工法で掘進し、NXケーシングパイプを深度4.0mまで挿入した。深度4.0mよりNQワイヤーライン工法でベントナイト泥水及びマッドオイルを使用して深度18.1mまで掘進した。深度18.0mまでBXケーシングパイプを挿入した後、BQワイヤーライン工法でベントナイト泥水及びマッドオイルを使用して深度101.0mまで掘進した。岩石は全体に破碎質でRQD(Rock Quality Designation)は非常に小さく、数箇所逸水を見た。また、深度82.0m付近で孔内崩壊が起きたため孔内洗浄を繰り返し掘進を行った。

(2)MJIT-2号

風化岩をNX-CPシューでベントナイト泥水を使用し深度4.2mまで普通工法で掘進し、NXケーシングパイプを深度4.0mまで挿入した。深度4.2mよりNQワイヤーライン工法でベントナイト泥水及びマッドオイルを使用して深度15.6mまで掘進した。深度15.5mまでBXケーシングパイプを挿入した後、BQワイヤーライン工法でベントナイト泥水及びマッドオイルを使用して深度101.7mまで掘進した。地表より深度29.0mまで岩石は強く風化粘土化しており、コア流出を防ぐため頻繁にコアチューブを上げ下ろししコア採取に努めた。また試錐孔の崩壊を防ぐためベントナイト泥水の濃度を高め掘進を行った。深度29.0m以深の岩石は破碎質でRQDはほぼ0であった。

(3)MJIT-3号

風化岩をNX-CPシューで深度1.2mまでベントナイト泥水を使用し普通工法で掘進し、さらにNQダイヤモンドビットで深度4.0mまで普通工法で掘進しNX-CPシューで拡孔した後、NXケーシングパイプを深度4.0mまで挿入した。深度4.0mよりNQワイヤーライン工法でベントナイト泥水及びマッドオイルを使用して深度12.9mまで掘進した。深度13.1mまでBXケーシングパイプを挿入した後、BQワイヤーライン工法でベントナイト泥水及びマッドオイルを使用して深度101.0mまで掘進した。深度63.0m付近では全量逸水し、テルストップ、オイルベントナイトを用い逸水止めを行ったが、逸水が続き孔底掘削時には送水量60ℓ/分に對し排水量20ℓ/分であった。

(4)MJIT-4号

風化岩をNX-CPシューで深度4.2mまでベントナイト泥水を使用し普通工法で掘進し、NXケーシングパイプを深度4.2mまで挿入した。深度4.2mよりNQワイヤーライン工法でベントナイト泥水及びマッドオイルを使用して深度8.9mまで掘進した。深度9.0mまでBQケーシングパイプを挿入した後、BQワイヤーライン工法でベントナイト泥水及びマッドオイルを使用して深度101.4mまで掘進した。深度26.8mにて湧水をみたため深度8.9~28.0m間をNQダ

イヤモンドビットを用いて拡孔しBXケーシングパイプを延長挿入した。さらに深度78.8mにて再び湧水し（湧水量21ℓ/分）、孔底掘削時には90ℓ/分の湧水量であった。

(5)MJIT-5号

風化岩をNX-CPシューで深度5.0mまでベントナイト泥水を使用し普通工法で掘進し、NXケーシングパイプを深度5.0mまで挿入した。深度5.0mよりNQワイヤーライン工法でベントナイト泥水及びマッドオイルを使用して深度30.1mまで掘進した。深度30.1mまでBXケーシングパイプを挿入した後、BQワイヤーライン工法でベントナイト泥水及びマッドオイルを使用して深度100.5mまで掘進した。深度7.0m, 38.0-38.4m, 64.5mでは逸水し、テルストップ、オイルベントナイトを用い逸水止めを行い掘進したが、特に64.5m以深では全く排水なく、ベントナイト泥水とともに清水を送り地下水位を保ち掘進した。

(6)MJIT-6号

風化岩をNX-CPシューで深度4.2mまでベントナイト泥水を使用し普通工法で掘進し、NXケーシングパイプを深度4.2mまで挿入した。深度4.2mよりNQワイヤーライン工法でベントナイト泥水及びマッドオイルを使用して深度17.2mまで掘進した。深度17.0mまでBXケーシングパイプを挿入した後、BQワイヤーライン工法でベントナイト泥水及びマッドオイルを使用して深度100.5mまで掘進した。深度7.2m, 8.8m, 19.1mでは逸水し、テルストップ、オイルベントナイトを用い逸水止めを行ったが、逸水止まらずNQダイヤモンドビットで深度22.0mまで拡孔しBXケーシングパイプを延長した。

3-4 ボーリング孔の地質及び鉱化作用

3-4-1 地質

本年次のボーリング孔にみられる岩石は、古生界ピンツーツジュ山層ツラン川部層のシルト岩、頁岩及び含礫シルト岩、これらを貫く優白色花崗岩、新第三系ウンプル川層の細粒砂岩及び礫岩、及び第四紀の砂礫層である。

優白色花崗岩を捕捉したのはMJIT-1, 2, 3の3孔である。本岩は石英、カリ長石、斜長石及び白雲母を主造岩鉱物とし、カリ長石及び斜長石の一部はソーシュライト化している。これら斑晶が破碎されその空隙を満たして白雲母（絹雲母）が発達している。また、細粒の二次石英が生じている。変質鉱物としてカオリンが検出されている。

古生界は珪岩片及び石英片を含み、基質には白雲母、黒雲母、方解石または苦灰石が生じている。

3-4-2 各孔ごとの地質および鉱化作用

各孔ごとの地質及び鉱化作用を次記した。なお、鉱化作用の記載にあたり鉱脈について

は脈幅1cm以上のものを記載した。

【MJIT-1号】

①地質

- 0-4.7m : 砂礫層。
- 4.7-82.8m : 優白色花崗岩。全般に白灰色を呈するが、14.1-14.4m, 18.3-37.5mでは褐鉄鉱が染み込み淡褐灰色を呈する。4.7-5.3mは風化を受け粘土化している。
- 82.8-87.2m : 淡緑灰色のシルト岩。
- 87.2-88.3m : 優白色花崗岩。
- 88.3-97.6m : 淡灰色ないし暗灰色のシルト岩。下位優白色花崗岩との境界部はホルンフェルス化され、二次黒雲母を生じている。一部のシルト岩は熱水変質を受け脱色し、暗灰色シルト岩から淡灰色シルト岩に変わっている。
- 97.6-98.8m : 優白色花崗岩。シルト岩との境界は傾斜70-80°をなす。
- 98.8-99.9m : 淡緑灰色のシルト岩。
- 99.9-100.3m : 優白色花崗岩。わずか粘土化している。
- 100.3-100.6m : 淡緑灰色のシルト岩。珪化している。
- 100.6-101.0m : 優白色花崗岩。

②鉱化および変質

- 7.0-8.5m : 珪化を受け、黄鉄鉱（褐鉄鉱）、白雲母、電気石が鉱染している。
- 11.7-12.0m : 珪化を受け、白雲母と少量の黄鉄鉱が鉱染。
- 12.0-14.1m : 黄鉄鉱がごく弱く鉱染。
- 17.5-17.6m : 珪化を受け、白雲母、電気石が鉱染。
- 18.0-18.3m : 珪化を受け、白雲母が強く鉱染。
- 28.5-28.9m : 一部珪化し少量の白雲母と微量の黄鉄鉱が鉱染。
- 34.5-34.9m : 微量の白雲母、硫砒鉄鉱、電気石を伴う石英脈。
- 43.0-44.3m : 電気石が強く鉱染。
- 52.0-52.8m : 電気石が強く鉱染。
- 52.8-59.2m : 微量の黄鉄鉱、電気石が鉱染。
- 63.9-64.5m : 電気石網状脈、鉱染。
- 81.9-82.8m : 電気石網状脈、鉱染。

【MJIT-2号】

①地質

- 0-15.1m : 優白色花崗岩。強く風化粘土化。白灰色, 淡褐色, 褐色を呈する。石英以外の鉱物は粘土化。
- 15.1-15.6m : 淡白褐色粘土化シルト岩。
- 15.6-16.1m : 優白色粘土化花崗岩。
- 16.1-17.0m : 赤褐色粘土化シルト岩。
- 17.0-26.0m : 優白色粘土化花崗岩。一部褐鉄鉱染み込み。
- 26.0-26.6m : 淡緑灰色の脱色シルト岩。
- 26.6-27.4m : 優白色花崗岩。粘土化。
- 27.4-28.2m : 淡緑灰色のシルト岩。
- 28.2-101.7m : 淡緑灰色の優白色花崗岩。

②鉱化および変質

- 29.4-30.5m : 弱珪化, 黄鉄鉱強鉱染。
- 45.2-46.4m : 電気石(-石英)脈。
- 49.8m : 電気石脈, 幅1cm, 傾斜80°。
- 50.6m : 石英-電気石脈, 幅1cm, 傾斜80°。
- 51.4m : 石英-電気石-黄鉄鉱脈, 幅1cm, 傾斜80°。
- 52.8m : 電気石-石英脈, 幅1cm, 傾斜80°。
- 54.1m : 石英-電気石脈, 幅1cm, 傾斜85°。
- 66.6m : 黒色粘土脈, 幅1cm, 傾斜80°。
- 67.1m : 錫石鉱染(直径0.5mm数粒)。
- 69.8m : 黒色粘土脈, 幅1cm, 傾斜70°。
- 78.8-79.1m : 黄鉄鉱-石英網状脈(幅2-5mm)。
- 80.2m : 黄鉄鉱-石英-灰色粘土脈, 幅2cm, 傾斜70°。
- 97.1m : 石英(-黄鉄鉱-方解石)脈, 幅1cm。

【MJIT-3号】

①地質

- 0-7.7m : 優白色花崗岩(0-6.3mは強く風化粘土化)。
- 7.7-12.7m : 淡白灰色(脱色)ないし暗灰色シルト岩。礫は伸長しその傾斜30°。

- 12.7-17.2m : 白色ないし褐色の粘土化した優白色花崗岩。
 17.2-24.4m : 淡青緑灰色の頁岩。一部シルト岩。
 24.4-26.7m : 優白色花崗岩。一部二次長石見られる(最大直径1cm)。
 26.7-40.8m : 淡緑灰色, 灰色ないし白灰色のシルト岩。
 40.8-101.0m : 優白色花崗岩。

② 鉍化および変質

- 2.9-3.8m : 石英-白雲母(-電気石-褐鉄鉍)脈。
 4.0-4.4m : 石英(-白雲母-カリ長石)脈。
 5.0-5.2m : 石英-白雲母脈。
 6.2m : 石英(-白雲母-電気石)脈, 幅1cm, 傾斜60°と80°の2条。
 8.7m : 石英-黄鉄鉍脈, 幅1cm, 傾斜30°。
 9.6m : 石英(-電気石-黄鉄鉍)脈, 幅1cm, 傾斜70°。
 11.7m : 石英(-黄鉄鉍)脈, 幅1cm, 傾斜70°。
 11.9-12.1m : 石英(-電気石-黄鉄鉍)脈。
 12.2m : 石英-黄鉄鉍脈, 幅1cm, 傾斜50°。
 12.8m : 石英(-白雲母-電気石)脈, 幅1cm, 傾斜75°。
 13.6m : 石英(-白雲母-輝水鉛鉍)脈, 幅5cm。
 14.5m : 石英-黄鉄鉍脈, 幅1cm, 傾斜70°。
 17.3m : 石英(-白雲母-黄鉄鉍)脈, 幅5cm。
 18.0m : 石英(-電気石-白雲母-黄鉄鉍)脈, 幅5cm, 傾斜80°。
 18.3m : 石英(-電気石)脈, 幅5cm。
 19.3m : 石英(-輝水鉛鉍-黄鉄鉍)脈, 幅5cm。
 20.5m : 石英(-カリ長石-電気石)脈, 幅5cm。
 21.0-21.2m : 石英(-電気石-黄鉄鉍)脈。
 26.1-26.3m : 石英(-黄鉄鉍)脈。
 26.8m : 石英-カリ長石(-電気石-黄鉄鉍)脈, 幅4cm, 傾斜80°。
 28.4m : 石英-褐鉄鉍脈, 幅1cm, 傾斜50°。
 28.8m : 石英脈, 幅4cm。
 28.9m : 石英-カリ長石脈, 幅1cm, 傾斜70°。
 29.1-29.3m : 石英-褐鉄鉍脈。
 30.5m : 白雲母-石英脈, 幅1cm。
 34.2m : 石英-褐鉄鉍-錫石-白雲母脈, 幅2cm, 傾斜80°。
 34.9m : 石英-螢石-錫石-白雲母-電気石-黄鉄鉍脈, 幅1cm, 傾斜80°。
 35.7-36.7m : 珪化-白雲母鉍染。

- 36.8m : 石英-錫石-電気石-黄鉄鉱脈, 幅1cm。
- 38.6m : 石英-カリ長石脈 (少量の黄鉄鉱), 幅10cm。
- 40.5m : カリ長石-石英-電気石脈, 幅7cm。
- 42.9-43.5m : 珪化-白雲母 (-黄鉄鉱) 鉱染。
- 43.5m : 石英脈, 幅1cm, 傾斜50°。
- 44.6-45.0m : 珪化-白雲母-電気石鉱染。
- 45.3m : 石英 (-黄鉄鉱) 脈, 幅5cm, 傾斜70°。
- 47.4-47.8m : 珪化-白雲母-黄鉄鉱鉱染。
- 55.1-55.2m : 石英 (-黄鉄鉱-白雲母) 脈。
- 56.4-56.5m : 珪化-白雲母鉱染。
- 62.5m : 石英-黄鉄鉱脈, 幅5cm, 傾斜85°, 上下盤幅3cmずつ珪化-白雲母-黄鉄鉱鉱染。
- 63.3m : 石英-黄鉄鉱-硫砒鉄鉱脈, 幅2cm。
- 63.4m : 石英-黄鉄鉱-硫砒鉄鉱脈, 幅2cm。
- 65.1m : 石英-黄鉄鉱-硫砒鉄鉱脈, 幅3cm。
- 68.8m : 石英 (-白雲母) 脈, 幅1cm。
- 74.4m : 石英 (-白雲母-電気石) 脈, 幅1cm。
- 75.2m : 石英 (-白雲母-電気石) 脈, 幅2cm, 傾斜70°。
- 75.3m : 石英 (-白雲母-電気石) 脈, 幅1cm, 傾斜60°。
- 78.2m : 石英 (-白雲母) 脈, 幅1cm, 傾斜70°。
- 91.8m : 石英 (-白雲母) 脈, 幅2cm, 傾斜20°。
- 95.4m : 黄鉄鉱-黒色粘土脈, 幅2cm, 傾斜30°。
- 97.5m : 石英 (-電気石) 脈, 幅1cm, 傾斜70°。

【MJIT-4号】

①地質

0-101.4m : シルト岩。淡灰色, 灰色ないし暗灰色を呈する。0-2.3mは強く風化粘土化し, 赤褐色を呈する。12.6-19.4m断層粘土。56.5-61.8m含礫シルト岩。ホルンフェルス化を受け, 全体に二次黒雲母を生じている。

②鉱化および変質

- 7.3-7.8m : 石英 (-電気石-カリ長石) 脈。
- 7.9-8.0m : 石英 (-電気石) 脈。

- 37.6-37.9m : 石英(-黄鉄鉱-方解石)脈。
 38.6m : 石英脈, 幅5cm。
 38.8m : 石英-黄鉄鉱脈, 幅3cm。
 41.3m : 石英(-黄鉄鉱)脈, 幅1cm, 傾斜70°。
 61.9m : 石英(-黄鉄鉱)脈, 幅1cm。
 71.4m : 石英(-黄鉄鉱)脈, 幅5cm。
 100.9m : 石英(-黄鉄鉱)脈, 幅2cm, 傾斜40°。

【MJIT-5号】

①地質

- 0-3.0m : 新第三紀細粒砂岩
 3.0-3.2m : 新第三紀礫岩
 3.2-100.5m : シルト岩。淡灰色, 灰色ないし暗灰色を呈する。3.2-6.0mは強く風化粘土化し, 淡赤褐色を呈する。全体に弱くホルンフェルス化を受け, 二次黒雲母を生じている。

②鉱化および変質

- 63.7m : 方解石脈, 幅6cm, 傾斜30°。
 69.3-69.4m : 石英-黄鉄鉱脈, 傾斜30°。
 85.3m : 石英脈, 幅6cm, 傾斜60°。
 91.6m : 石英-黄鉄鉱-電気石脈, 幅1cm, 傾斜50°。

【MJIT-6】

①地質

- 0-100.4m : シルト岩。淡灰色, 灰色ないし暗灰色を呈する。0-4.5mは強く風化粘土化し, 淡赤褐色を呈する。全体にホルンフェルス化を受け, 二次黒雲母を生じている。

②鉱化および変質

- 8.7m : 石英-白雲母脈, 幅1cm, 傾斜60°, 2条。
 13.7m : 石英-硫砒鉄鉱-黄鉄鉱脈, 幅4cm。

- 17.2-17.7m : 石英-硫砒鉄鉍脈。
 17.8-18.2m : 石英-硫砒鉄鉍脈。
 18.5-18.6m : 石英-硫砒鉄鉍脈。
 22.1m : 石英-硫砒鉄鉍脈, 幅1cm。
 23.2m : 石英-白雲母脈, 幅1cm。
 28.5m : 石英-白雲母脈, 幅2cm。
 31.9m : 石英脈, 幅1cm。
 46.1m : 石英脈, 幅1cm。
 53.8m : 石英(-硫砒鉄鉍)脈, 幅2cm, 傾斜60°。
 74.5m : 石英-黄鉄鉍脈, 幅1cm, 傾斜80°。
 85.3m : カリ長石-石英(-黄鉄鉍-輝水鉛鉍)脈, 幅1cm, 傾斜50°。
 88.2-89.4m : 石英(-硫砒鉄鉍-黄鉄鉍-電気石)脈, 傾斜80°。
 91.3m : 石英-黄鉄鉍脈, 幅1cm, 傾斜50°。
 92.1m : 石英-方解石脈, 幅1cm。
 95.4m : 石英脈, 幅1cm, 傾斜30°。

3-4-3 鉍化作用

ボーリング・コアに認められた鉍石鉍物は、黄鉄鉍、硫砒鉄鉍、錫石、輝水鉛鉍、黄銅鉍、閃亜鉛鉍である。脈石鉍物は、石英、方解石、カリ長石、電気石、白雲母、螢石である。鉍化は細脈と鉍染の形をとる。

最も脈幅の厚い脈はMJIT-3でみられた幅43cmの石英-白雲母(-電気石-褐鉄鉍)脈である。全鉍脈のうち幅1cm以上の脈の数を孔別にまとめ、さらにそのうち幅5cm以上の脈の数を示すと以下の通りとなる。

| ボーリング番号 | 幅1cm以上の脈数 | 幅5cm以上の脈数 |
|---------|-----------|-----------|
| MJIT-1 | 1 | 1 |
| MJIT-2 | 10 | 1 |
| MJIT-3 | 45 | 18 |
| MJIT-4 | 9 | 5 |
| MJIT-5 | 4 | 3 |
| MJIT-6 | 17 | 5 |

これらの脈を構成する鉍物は、石英が大部分を占め、次いで黄鉄鉍、白雲母、電気石、方解石、硫砒鉄鉍の順である。錫石、輝水鉛鉍は石英脈中でその結晶の数を数えられる程度にしか出現しない。錫石を含有する石英脈が認められたのはMJIT-3号のみであり、輝水

鉛鉱が認められたのはMJIT-3号及びMJIT-4号である。

幅1cm以下の鉱脈は、幅0.5～3mmのものが大部分で、網状をなし5～40本/mの出現頻度をもつ。石英-白雲母(-電気石-黄鉄鉱-カリ長石)、石英(-カリ長石)、石英(-黄鉄鉱)、石英-方解石(-黄鉄鉱)、黄鉄鉱などの鉱物組み合わせからなり、このうち石英-方解石(-黄鉄鉱)はシルト岩などの古生界中にのみ発達し、石英-白雲母(-電気石-黄鉄鉱-カリ長石)は優白色花崗岩中にのみ認められる。

上記の全鉱脈の生成順序から、鉱化順序を組み立てると、石英-カリ長石-電気石-白雲母-黄鉄鉱-硫砒鉄鉱-(錫石または輝水鉛鉱)、石英-カリ長石-黄鉄鉱、石英-黄鉄鉱、方解石-石英-黄鉄鉱の順となる。

鉱染している鉱石鉱物は黄鉄鉱が大部分であり、優白色花崗岩中にのみ認められる。錫石の鉱染が認められたのはMJIT-2号深度67.1mのみである。

変質としては珪化、粘土化、白雲母鉱染、電気石鉱染が認められる。

珪化と同時に白雲母鉱染(稀に電気石または黄鉄鉱を伴う)が見られたのは、MJIT-1及び3の優白色花崗岩である。本変質はグライゼン化変質であり、MJIT-1では5箇所のみられ、その掘進幅は10～150cmである。MJIT-3では5箇所のみられ、その掘進幅は10～100cmである。電気石鉱染が認められたのは、MJIT-1の優白色花崗岩である。粘土化は優白色花崗岩及び古生界に認められ、白雲母(絹雲母)及びカオリンが検出されている。一部の優白色花崗岩から緑泥石も検出されている。

前記の通り幅1cm以上の鉱脈はすべて細脈(幅1cmの鉱脈が最多)であり、幅1cm以下の微細脈は網状をなす。さらに錫石の鉱染も認められたため、鉱床としての評価は塊状のものとしてなすべきと考えられる。優白色花崗岩が出現するMJIT-1, 2, 3号については掘進長1.5mごとに全ボーリングコアの4分の1を採取し分析に供した。MJIT-4及びMJIT-6号については石英脈の発達する部分のみをMJIT-1, 2, 3号と同様にサンプリングし分析を行った。分析成分はAu, Sn, W, Th, Ce, Uである。分析結果を巻末に示す。

分析結果は以下の通り要約される。

Au : 最高品位0.07g/tと低品位である。

Sn : 最高品位0.24%であり、大部分は0.01%以下(全試料の93%)である。

W : すべて0.01%以下である。

Th : すべて0.01%以下である。

Ce : すべて0.02%以下である。

U : すべて0.01%以下である。

以上の通り低品位であるが、その中でも最も高い品位を示すSnについて0.1%以上の品位を示す箇所をまとめると次表の通りとなる。

| Drill No. | Depth(m) | Width | Sn(%) |
|-----------|-----------|-------|-------|
| MJIT-2 | 51.0-52.5 | 1.5m | 0.24 |
| (シカンプ川区域) | 55.5-57.0 | 1.5m | 0.22 |

上記MJIT-2号の2試料を含む深度49.5~57.0m間延長7.5mの平均品位はSn0.11%を示す。

ここでSn品位と鉱化作用について検討を加える。次図にMJIT-2号の柱状図とSn品位との関係を示した。鉱脈の構成鉱物と品位との関係を見ると、石英-電気石-黄鉄鉱脈が密に発達する部分は高いSn品位を示す。一方、粘土脈または石英-方解石-黄鉄鉱脈が発達する部分は低品位である。また優白色花崗岩中に錫石鉱染が見られる部分は高いSn品位を示す。

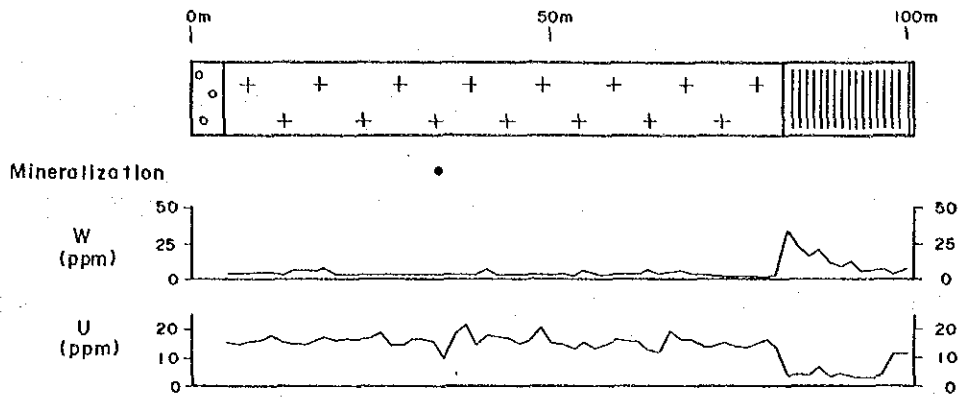
分析を行ったAu, Sn, W, Th, Ce, Uの6成分の相関係数を下表に示す。

| | Au | Sn | W | Th | Ce | U |
|----|------|-------|-------|-------|-------|-------|
| Au | 1.00 | -0.07 | -0.12 | 0.09 | -0.05 | 0.12 |
| Sn | | 1.00 | 0.07 | -0.04 | 0.03 | -0.00 |
| W | | | 1.00 | -0.50 | 0.24 | -0.67 |
| Th | | | | 1.00 | 0.38 | 0.48 |
| Ce | | | | | 1.00 | -0.39 |
| U | | | | | | 1.00 |




6成分のうちW-Uは逆相関を示す。この関係を示すものとしてMJIT-1の柱状図とW及びUの関係を次図に示し、地区別岩石別の全成分の平均値を下記する。Wはシルト岩中で高い分析値を示す傾向を持ち、Uは優白色花崗岩中で高い値を示す。

| | No. | Au (ppb) | Sn (ppm) | W (ppm) | Th (ppm) | Ce (ppm) | U (ppm) |
|--------------------|-----|----------|----------|---------|----------|----------|---------|
| S. Sikambu Granite | 121 | <5 | 5 | 4 | 41 | 64 | 14 |
| Paleozoic | 10 | <5 | 3 | 13 | 19 | 98 | 4 |
| S. Isahan Granite | 49 | <5 | 4 | 3 | 25 | 7 | 22 |
| Paleozoic | 29 | <5 | 5 | 20 | 17 | 55 | 5 |

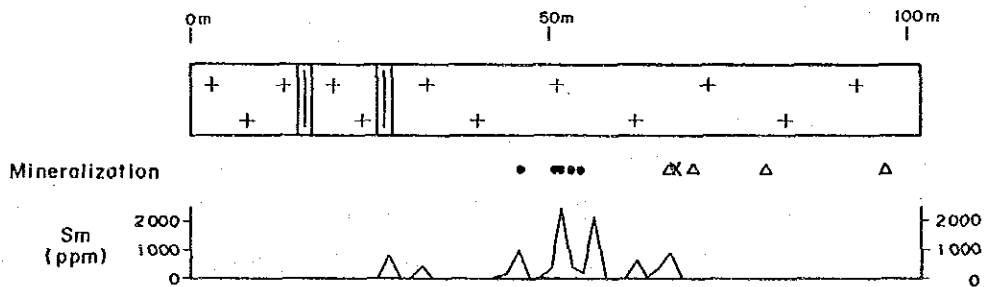
MJIT-1





LEGEND

- Quartz - Tourmaline - Arsenopyrite (- Muscovite)
-  Conglomerate
-  Leucocratic granite
-  Siltstone

MJIT-2



LEGEND

- Quartz - Tourmaline - Pyrite
- Δ Clay or Quartz - Calcite - Pyrite
- X Cassiterite dissemination
-  Leucocratic granite
-  Siltstone

第4章 調査結果の総合検討

4-1 地質構造・鉍化作用の特性と鉍化規制

ピンツーツュー山地区の地質は、石炭紀～二畳紀の堆積岩類、ジュラ紀～白亜紀前期の花崗岩類及び新第三紀の堆積岩類より構成される。

本地区の花崗岩類は、全岩分析結果及び第1年次に実施された帯磁率測定結果から、チタン鉄鉍系列に属する。

本地区の花崗岩類は、その岩相及び化学組成から、黒雲母花崗岩、優白色花崗岩及びアプライトに区分される。

優白色花崗岩は放射年代がジュラ紀(160～150Ma)を示すグライゼンの母岩となっており、この年代は黒雲母花崗岩の年代(113～110Ma)より、第1年次の調査地域に分布する斑状黒雲母花崗岩の年代(167～134Ma)に近い。

優白色花崗岩は、本年度の地質調査及びボーリング調査結果から花崗岩の脈岩相を示すものと考えられ、インドネシアBelitungに分布する白雲母花崗岩と斑状黒雲母花崗岩との関係(白雲母花崗岩は斑状黒雲母花崗岩の脈岩相, Schwartz et al., 1990)を参考にし上記年代を考え合わせると、優白色花崗岩の下部には斑状黒雲母花崗岩が潜頭していると推定される。

第1年次調査地域における花崗岩類の平面的分布から、第1年次には鉍化に関連する花崗岩として黒雲母花崗岩を考えたが、本年次の調査結果から、鉍化に関連する花崗岩としては斑状黒雲母花崗岩が考えられる。

地質構造と鉍化作用との関連について考察する。

第1年次に実施された写真地質解析により、先第三系分布域に認められるリニアメントの方向は、WNW-ESE方向とNNW-SSE方向を示すものが多いことが指摘されている。本年次の地質調査により、調査地区内にはWNW-ESE系とNNW-SSE系の断層が発達することが明らかになった。既知錫鉍化帯の母岩となっている優白色花崗岩の平面的配列をみると、イサハン川上流からツラン川にかけほぼWNW-ESE方向に配列し、さらに露頭では優白色花崗岩岩脈はE-W方向の走向を示す。シカンブ川付近では優白色花崗岩の小規模岩体はほぼNNW-SSE方向に配列する。

鉍化作用の特徴について考察する。

イサハン川及びシカンブ川錫鉍化帯では鉍化は細脈と鉍染の形をとる。鉍脈を構成する鉍物は、石英が大部分を占め、次いで黄鉄鉍、白雲母、電気石、方解石、硫砒鉄鉍の順である。錫石、輝水鉛鉍は石英脈中でその結晶の数を数えられる程度にしか出現しない。鉍脈の生成順序から、鉍化順序を組み立てると、石英-カリ長石-電気石-白雲母-黄鉄鉍-硫砒鉄鉍-(錫石または輝水鉛鉍)、石英-カリ長石-黄鉄鉍、石英-黄鉄鉍、方解石-石英-黄

鉄鉱の順となる。

母岩中には錫石、黄鉄鉱、電気石、白雲母が鉱染している。鉱染している鉱石鉱物は黄鉄鉱が大部分であり、鉱染は優白色花崗岩中のみ認められる。錫石の鉱染が肉眼的に認められたのはシカンブ川区域の優白色花崗岩のみである。

地表では含錫石石英脈は、最も高品位脈でSn3.84%、W0.07%、Ce0.02%を示す。また、白雲母化した優白色花崗岩に石英脈を含む幅1~2mの溝切りサンプリング試料はSn0.2~0.5%、Ce0.08~0.24%を含む。

ボーリング・コアの分析結果は Au, W, Th, Ce, Uについてはいずれも低品位である。Snについては最高品位0.24%であり、大部分は0.01%以下（全試料の93%）である。比較的Sn品位の高い部分（MJIT-2号深度49.5~57.0m間延長7.5m、母岩は優白色花崗岩）は平均品位Sn0.11%を示す。

優白色花崗岩は石英、カリ長石、斜長石及び白雲母斑晶が破碎され、その空隙を満たして白雲母（絹雲母）または細粒の二次石英が発達している。また、シカンブ川区域及びイサハン川区域共にボーリング・コアの一部にグライゼンを認めている。このほか変質鉱物としてカオリンが検出されている。優白色花崗岩の場合、鉱脈の数と母岩の変質の間に関係は認められない。

古生界のシルト岩、頁岩及び含礫シルト岩の基質には白雲母（絹雲母）、黒雲母、方解石または苦灰石が生じている。石英脈に接する部分ではさらに脱色し、細粒の二次石英が生じていることが多い。

優白色花崗岩及び古生界とも変質と品位の間には明瞭な関係はない。グライゼンでSnが高品位となることが期待されたが、グライゼン化した部分で品位の上昇は認められない。

4-2 地化学異常と鉱化作用との関係

調査地区全体にわたり、河床堆積物試料による地化学探査とパンニング試料による地化学探査が行われた。さらに既知錫鉱化帯を含む面積6km²の範囲において土壌による地化学探査が実施された。分析成分はAu, Sn, W, Th, Ce, Uの6成分である。

河床堆積物試料による地化学探査ではSn単独またはSnと他成分とが異常値を示すAランク地化学異常域が6箇所抽出された。これらの異常域は調査地域中央部にほぼWNW-ESE方向に配列する。このうち2区域が既知鉱化帯に対応し、イサハン川鉱化帯付近にはSnの異常値（70~400ppm）が3箇所に、Auの異常値（10~15ppb）が2箇所に、Wの異常値（7~32ppm）が5箇所に分布する。シカンブ川鉱化帯付近ではSnの異常値（710ppm）が1箇所分布する。

パンニング試料による地化学探査では、調査地区内に4箇所のAランク異常域が抽出された。それらのうちイサハン川上流-シカンブ川下流域はSn異常値（600~>1,000ppm）が10箇所、W異常値（16~55ppm）が3箇所、Th異常値（93ppm）が1箇所検出されており、

区域内にはイサハン川錫鉍化帯及びシカンブ川錫鉍化帯が分布する。

河床堆積物試料及びパンニング試料のAランク地化学異常域が重複する範囲は、ピナン川流域、イサハン川上流域（錫鉍化帯）、イサハン川下流域、ツラン川支流（優白色花崗岩）、シカンブ川下流域（錫鉍化帯）、シカンブ川支流（優白色花崗岩）の6区域であり、ピナン川流域を除き、区域内には優白色花崗岩または同岩中に賦存する錫鉍化帯を認めている（第1-4図）。

土壌試料による地化学探査において得られた異常域は、イサハン川上流からツラン川にかけほぼWNW-ESE方向に延びる地域（イサハン川-ツラン川域）、イサハン川中流域、シカンブ川-ツラン川合流点地域の3区域である。

イサハン川-ツラン川域は前記3箇所の異常域のうちその占める面積は最も広い。Au, Sn, Wの異常値が重複して分布する。Auは10~65ppb, Snは16~72ppm, Wは33~90ppmの値を示す。本区域にはイサハン川錫鉍化帯及び優白色花崗岩が分布する。この異常域の約半分の範囲が河床堆積物試料及びパンニング試料によるAランク地化学異常域と重複する。

イサハン川中流域はSnのみの異常値（23~150ppm）、3点からなる。本区域には鉍化帯または貫入岩は認められていない。パンニング試料による地化学異常は得られていない。

シカンブ川-ツラン川合流点区域にはAu, Snの異常値が分布する。Auは10ppb, Snは16~68ppmを示す。本区域にはシカンブ川錫鉍化帯及び優白色花崗岩が分布する。

河床堆積物及びパンニング試料によるAランク地化学異常域と土壌試料による地化学異常域において共通に認められる地化学異常値成分はSn, Wである。従い、地化学探査結果から、調査地域にはSn, Wを伴う鉍化作用が期待される。また、いずれの地化学探査においても抽出された地化学異常域はほぼWNW-ESE方向に配列または伸長している。これは前述の優白色花崗岩の配列を規制した方向のうちの1方向と一致する。従い、鉍化作用もこの方向の弱線に規制されていると考えられる。

ボーリング調査において化学分析を行ったAu, Sn, W, Th, Ce, Uの6成分の相関係数をみると6成分のうちW-Uは逆相関を示す。Wはシルト岩中で高い分析値を示す傾向を持ち、Uは優白色花崗岩中で高い値を示す。地化学探査の結果から本地区にはSn, Wを伴う鉍化作用が期待されたが、ボーリング調査結果は、本地区に期待される鉍化作用はSnのみを伴うものであることを示している。

4-3 金属鉍床賦存のポテンシャル

ボーリング調査が実施されたイサハン川区域及びシカンブ川区域とそれ以外の区域とに分けて考察を行う。

【イサハン川区域及びシカンブ川区域】

地質調査・地化学探査及びボーリング・コアの分析結果から、イサハン川鉍化帯及びシ

カンブ川鉍化帯に期待される鉍種はSnである。ボーリング調査結果から、Sn品位をもたらすものは優白色花崗岩中に発達する石英-カリ長石-電気石-白雲母-黄鉄鉍-硫砒鉄鉍-錫石脈と優白色花崗岩中の錫石鉍染である。これら鉍脈及び鉍染の入れ物となる優白色花崗岩の規模は、本岩が斑状黒雲母花崗岩の脈岩相と予想されることから、大きなものは期待できない。鉍量計算を行うにはデータ不足であるが、Sn0.1%以上の品位を示したのはMJIT-2号の幅1.5m、2箇所のみであり、また、最高品位はSn0.24%と低品位であった。従い、イサハン川区域及びシカンブ川区域には経済的鉍床となりうる鉍床はないものと判断される。

【イサハン川区域及びシカンブ川区域以外の調査地区】

土壤地化学探査により得られている地化学異常域の評価を行う。

土壤地化学異常域のなかでも最も広い異常域を形成しているイサハン川-ツラン川域（イサハン川地区ボーリング調査実施地点を除く）においてSn分析値は16~72ppmを示し、ボーリング調査実施地点の土壤試料のSn分析値と似た値を示す。本区域には優白色花崗岩が賦存し、Snを伴う鉍化作用が期待できるが、土壤地化学異常値及びその広がりからして、期待できる鉍床規模及び品位は上記のイサハン川区域及びシカンブ川区域と同程度と考えられる。その他の土壤試料による地化学異常域については、他の地化学探査による異常域と重複しないか、または、その占める範囲が狭いことから興味を持ってない。

土壤試料による地化学探査を除く本年次調査地区において得られている地化学異常について検討を加える。

河床堆積物及びパンニング試料によるAランク地化学異常値が得られているのは、イサハン川鉍化帯西方のピナン川流域のみである。異常値の分布はピナン川本流にのみ得られ上流域に鉍化帯の賦存が期待できる。また、上流域はイサハン川-ツラン川に分布する優白色花崗岩を結ぶ線の西方延長部にあたり、錫鉍化作用に関連する優白色花崗岩の分布が予想される。

第Ⅲ部 結 論

第 III 部 結 論

第 1 章 結 論

ティガプル地域における第 2 年次調査として、ティガプル地域北西部面積 70km²の範囲（ピンツーツジュ地区）において、地質調査、地化学探査及びボーリング調査が実施された。これらの調査により以下の結論が得られた。

ピンツーツジュ地区の地質は石炭紀～二畳紀の堆積岩類、ジュラ紀から白亜紀前期の花崗岩類及び新第三紀の堆積岩類よりなる。

本地区に分布する花崗岩類は、その岩相及び化学組成から、黒雲母花崗岩、優白色花崗岩及びアプライトに区分される。いずれの花崗岩類ともチタン鉄鉱系列の花崗岩に分類される。

優白色花崗岩は、花崗岩の脈岩相を示すものと考えられ、下部には第 1 年次調査地域に分布する斑状雲母花崗岩が潜頭していると推定される。

調査地区内にはWNW-ESE系とNNW-SSE系の断層が発達する。既知錫鉱化帯の母岩となっている優白色花崗岩の平面的配列をみると、イサハン川上流からツラン川にかけほぼWNW-ESE方向に配列し、さらに露頭では優白色花崗岩岩脈はE-W方向の走向を示す。シカンブ川付近では優白色花崗岩の小規模岩体はほぼNNW-SSE方向に配列する。従い、優白色花崗岩の配列を規制したのは断層と同方向の弱線と考えられる。

イサハン川及びシカンブ川錫鉱化帯では鉱化は細脈と鉱染の形をとる。鉱脈を構成する鉱物は、石英が大部分を占め、次いで黄鉄鉱、白雲母、電気石、方解石、硫砒鉄鉱の順である。錫石、輝水鉛鉱は石英脈中でその結晶の数を数えられる程度にしか出現しない。鉱脈の生成順序から、鉱化順序を組み立てると、石英-カリ長石-電気石-白雲母-黄鉄鉱-硫砒鉄鉱-(錫石または輝水鉛鉱)、石英-カリ長石-黄鉄鉱、石英-黄鉄鉱、方解石-石英-黄鉄鉱の順となる。

母岩中には錫石、黄鉄鉱、電気石、白雲母が鉱染している。鉱染している鉱石鉱物は黄鉄鉱が大部分であり、鉱染は優白色花崗岩中にのみ認められる。錫石の鉱染が肉眼的に認められたのはシカンブ川区域の優白色花崗岩のみである。

地表では含錫石石英脈は、最も高品位脈でSn3.84%、W0.07%、Ce0.02%を示す。また、白雲母化した優白色花崗岩に石英脈を含む幅1～2mの溝切りサンプリング試料はSn0.2～0.5%、Ce0.08～0.24%を含む。

調査地区全体（面積70km²）にわたり、河床堆積物試料による地化学探査とパンニング試料による地化学探査が行われた。さらに既知鉱化帯を含む面積6km²の範囲において土壌による地化学探査が実施された。分析成分はAu, Sn, W, Th, Ce, Uの6成分である。

河床堆積物試料による地化学探査ではSn単独またはSnと他成分とが異常値を示すAランク地化学異常域が6箇所抽出された。これらの異常域は調査地域中央部にほぼWNW-ESE方

向に配列する。このうち2区域が既知鉍化帯に対応する。

パンニング試料による地化学探査では、調査地域内に4箇所のAランク異常域が抽出された。

河床堆積物試料及びパンニング試料のAランク地化学異常域が重複する範囲は、ピナン川流域、イサハン川上流域(錫鉍化帯)、イサハン川下流域、ツラン川支流域(優白色花崗岩)、シカンプ川下流域(錫鉍化帯)、シカンプ川支流域(優白色花崗岩)の6区域であり、イサハン川下流域及びピナン川流域を除き、これらの範囲には優白色花崗岩または同岩中に錫鉍化帯を認めている。

土壌試料による地化学探査において得られた異常域は、イサハン川上流からツラン川にかけほぼWNW-ESE方向に延びる区域(イサハン川-ツラン川域)、イサハン川中流域、シカンプ川-ツラン川合流点区域の3区域である。このうちイサハン川-ツラン川域は3箇所の異常域のうちその占める面積は最も広い(0.3×2km)。

上記3地化学探査において重複して地化学異常域を構成する成分はSn, Wである。また、いずれの地化学探査においても抽出された地化学異常域はほぼWNW-ESE方向に配列または伸長している。これは前述の優白色花崗岩の配列を規制した方向のうちの1方向と一致する。

前記の地質調査及び地化学探査の結果抽出された鉍床賦存有望地域(シカンプ川区域及びイサハン川区域)において6孔のボーリング調査を実施した。

ボーリング・コアの分析結果をまとめると以下の通りである。

Au : 最高品位0.07g/tと低品位である。

Sn : 最高品位0.24%であり、大部分は0.01%以下(全試料の93%)である。

W : すべて0.01%以下である。

Th : すべて0.01%以下である。

Ce : すべて0.02%以下である。

U : すべて0.01%以下である。

Snについて0.1%以上の品位を示す箇所は下表の通りである。

| Drill No. | Depth(m) | Width | Sn(%) |
|---------------------|-----------|-------|-------|
| MJIT-2 (シカンプ川区域) | 51.0-52.5 | 1.5m | 0.24 |
| | 55.5-57.0 | 1.5m | 0.22 |

上記のMJIT-2号の2試料を含む深度49.5~57.0m間延長7.5mの平均品位はSn0.11%を示す。優白色花崗岩は石英、カリ長石、斜長石及び白雲母を主造岩鉱物とし、これら斑晶が破碎され、その空隙を満たして白雲母(絹雲母)が発達している。また、細粒の二次石英が

生じている。またシカンブ川区域及びイサハン川区域共にボーリング・コアの一部にグライゼンを認めている。このほか変質鉱物としてカオリンが検出されている。優白色花崗岩の場合、鉱脈の多少と母岩の変質の間に関係は認められない。

古生界ピンツーツジャー山層ツラン川部層のシルト岩、頁岩及び含礫シルト岩は珪岩片及び石英片を含み、基質には白雲母、黒雲母、方解石または苦灰石が生じている。石英脈に接する部分では脱色し、細粒の二次石英が生じていることが多い。

変質と品位との間には明瞭な関係はない。グライゼンの部分でSnが高品位となることが期待されたが、グライゼン化した部分で品位の上昇は認められない。

地質調査、地化学探査及びボーリング調査の結果に基づき、調査地区に賦存が期待される鉱床は含錫初成鉱床である。調査地区を、ボーリング調査が実施されたイサハン川区域及びシカンブ川区域とそれ以外の区域とに分けて述べる。

【イサハン川区域及びシカンブ川区域】

地質調査・地化学探査及びボーリング・コアの分析結果から、イサハン川鉱化帯及びシカンブ川鉱化帯に期待される鉱種はSnである。ボーリング調査結果から、Sn品位をもたらすものは優白色花崗岩中に発達する石英-カリ長石-電気石-白雲母-黄鉄鉱-硫砒鉄鉱-錫石脈と優白色花崗岩中の錫石鉱染である。これら鉱脈及び鉱染の入れ物となる優白色花崗岩の規模は、本岩が斑状黒雲母花崗岩の脈岩相と予想されることから、大きなものは期待できない。鉱量計算を行うにはデータ不足であるが、Sn0.1%以上の品位を示したのはMJIT-2号の幅1.5m、2箇所のみであり、また、最高品位はSn0.24%と低品位であった。従い、イサハン川区域及びシカンブ川区域には経済的鉱床となりうる鉱床はないものと判断される。

【イサハン川区域及びシカンブ川区域以外の調査地区】

土地化学探査により得られている地化学異常域の評価を行う。

土地化学異常域のなかでも最も広い異常域を形成しているイサハン川-ツラン川域（イサハン川区域ボーリング調査実施地点を除く）においてSn分析値は16~72ppmを示し、ボーリング調査実施地点の土壤試料のSn分析値と似た値を示す。本地域には優白色花崗岩が賦存し、Snを伴う鉱化作用が期待できるが、土地化学異常値及びその広がりからして、期待できる鉱床規模及び品位は上記のイサハン川区域及びシカンブ川区域と同程度と考えられる。その他の土壤試料による地化学異常域については、他の地化学探査による異常域と重複しないか、または、その占める範囲が狭いことから興味を持ってない。

土壤試料による地化学探査を除く本年次調査地区において得られている地化学異常について評価する。

河床堆積物及びパンニング試料によるAランク地化学異常値が得られているのは、イサ

ハン川鉍化帯西方のピナン川流域のみである。異常値の分布はピナン川本流にのみ得られ上流域に鉍化帯の賦存が期待できる。また、上流域はイサハン川-ツラン川に分布する優白色花崗岩を結ぶ線の西方延長部にあたり、錫鉍化作用に関連する優白色花崗岩の分布が予想されるが、河床堆積物及びパンニング試料の地化学異常値からして、本流域には既知鉍化帯を上回る規模・品位を有する鉍床の賦存は期待できない。

参 考 文 献

参考文献

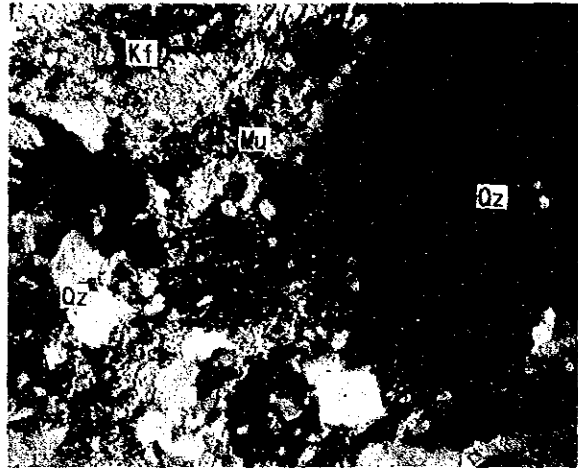
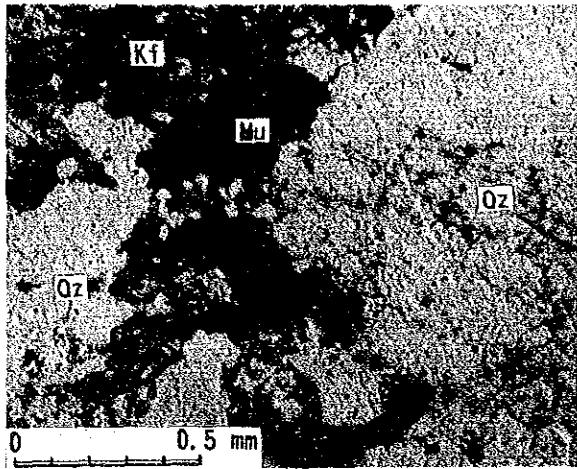
- Van Bemmelen, R. W. (1970): The Geology of Indonesia, Martinus Nijhoff, the Hague
- Hamilton, W. (1978): Tectonics of the Indonesian Region, United State Geological Survey, Professional Paper 1078
- Harahap, A. M. et al. (1986): Tin Mineralisation in Pegunungan Tigapuluh, Central Sumatra, Indonesia: Directorate of Mineral Resources, Department of Mines and Energy, Republic of Indonesia
- Harmanto, et. al. (1986): Penyelidikan Timahputih Didaerah Subgai Tulang Dan Emas Di Daerah Anak Talang, Peg. Tigapuluh, Prop. Riau: Directorate of Mineral Resources
- 石原舜三ほか(1977): 日本の花崗岩類のSn量と白亜紀花崗岩活動におけるその意義: 地質雑, Vol. 83, p. 657-664
- Ishihara S. et al. (1980): Granites and Sn-W Deposits of Peninsular Thailand: Mining Geology Special Issue, No. 8, p. 223-241
- JICA-MMAJ(1983): Report on the Cooperative Mineral Exploration of Northern Sumatra, Phase 1
- Johari, S. (1989): A guide to Rare Metals and Rare Earth Metals in Indonesia: Directorate of Mineral Resources, Directorate General of Geology and Mineral Resources, Ministry of Mines and Energy, Indonesia
- Mason B. (1966): Principles of Geochemistry, 296p. : John Wiley & Sons, Inc.
- Schwartz M. O. et al. (1990): Greisenization and Albitization at the Tikus Tin-Tungsten Deposits, Belitung, Indonesia: Economic Geology v. 85, p. 691-713
- Sano, S. et al. (1988): Physical Properties of Tin Granitoids in Southeast Asia: Exploration and Evaluation Techniques for Tin/Tungsten Granites in Southeast Asia and the Western Pacific Region, SEATRAD Publication No. 6
- 佐藤興平(1988): 中国箇旧の花崗岩と錫鉱床: 地質ニュース, No. 403, p. 6-16.
- Schwartz, M. O. (1989): Geologic, Geochemical, and Fluid Inclusion Studies of the Tin Granites from the Bujang Melaka Pluton, Kinta Valley, Malaysia: Economic Geology v. 84, p. 751-779
- Subandro et. al. (1975): Penyelidikan Timah Putih dan Mineral Ikutan di daerah Aliran Sungai Sumai (Pegunungan Tigapuluh), Jambi-Sumatra: Direktorat Geologi, Bandung (Unpublished).

Suwarna, N. et al. (1987):Laporan Geologi Lembar Rengat Sumatra, skala 1:250,000:
Geological Research and Development Centre

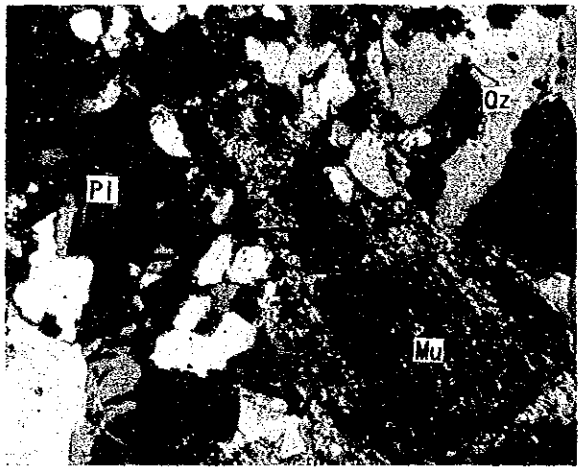
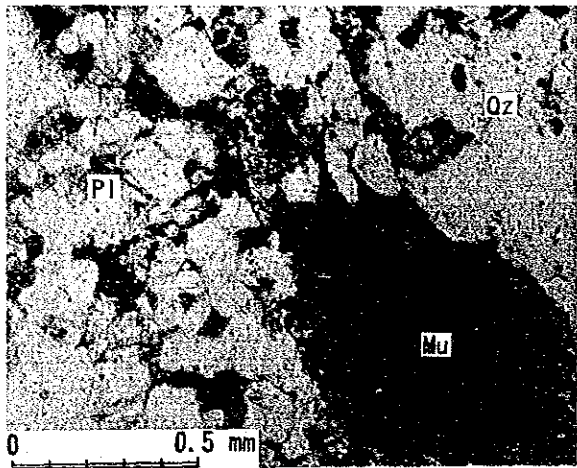
Tjia(1989):Tectonic History of the Bentong-Bengkalis Suture:Geologi Indonesia,
v. 12, n. 1, p. 89-111

写 真

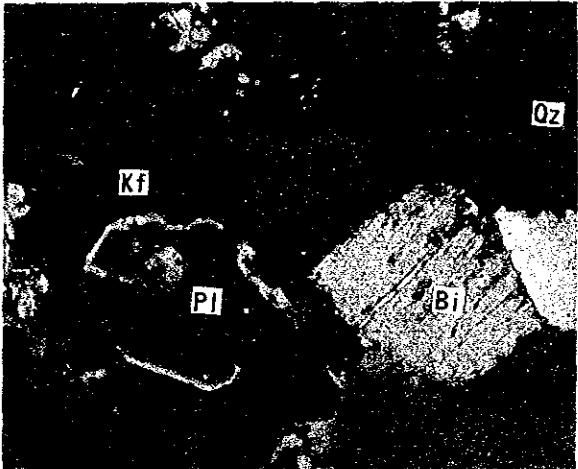
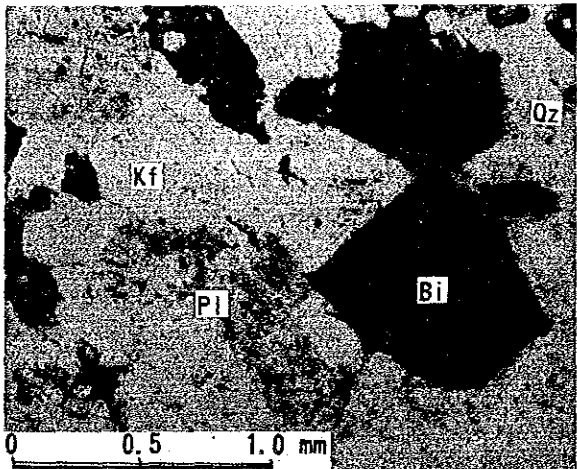
Leucocratic granite MJIT-2, 34.7 m(S. Sikambu)



Leucocratic granite MJIT-3, 89.0 m(S. Isahan)



Biotite granite GR63 (S. Tulang)

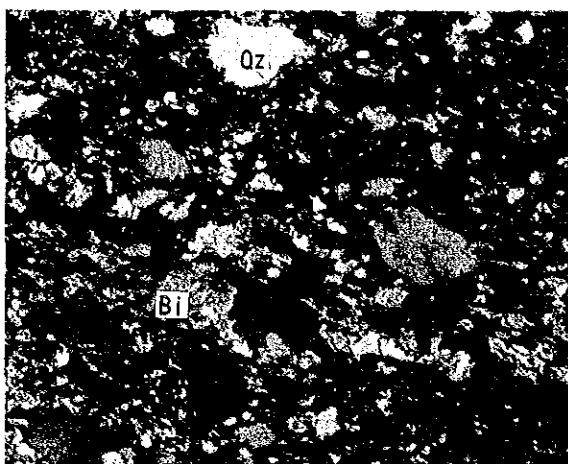
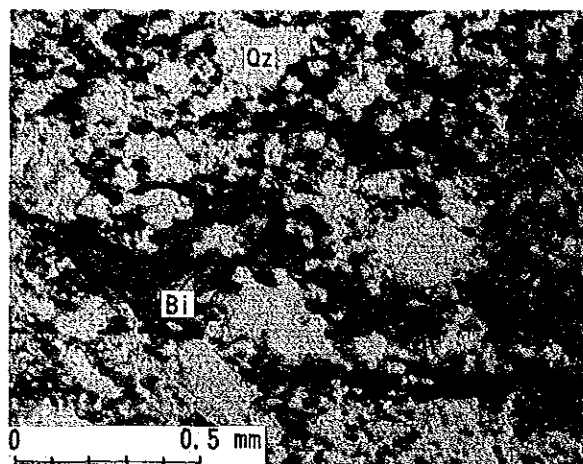


Open

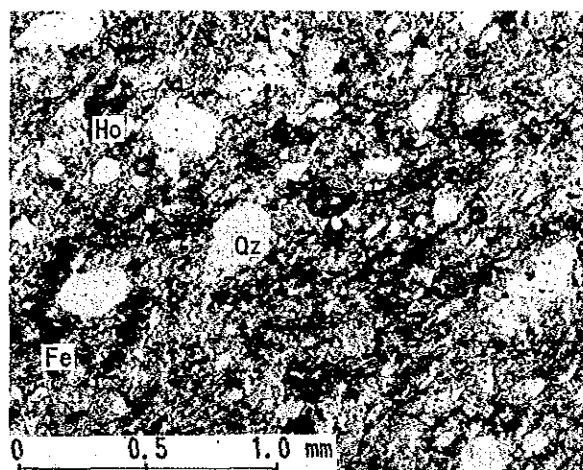
Close

Photo.1 Microscopic photograph (thin section)

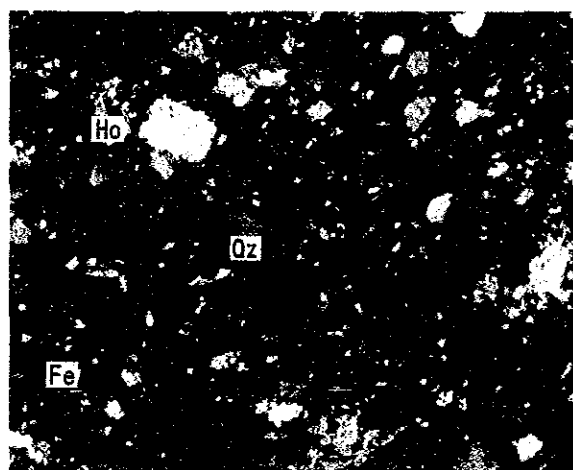
Siltstone MJIT-6, 85.3 m(S. Isahan)



Siltstone GR47 (S. Isahan)



Open



Close

Abbreviation

Qz:Quartz

Mu:Muscovite

Kf:K-feldspar

Pl:Plagioclase

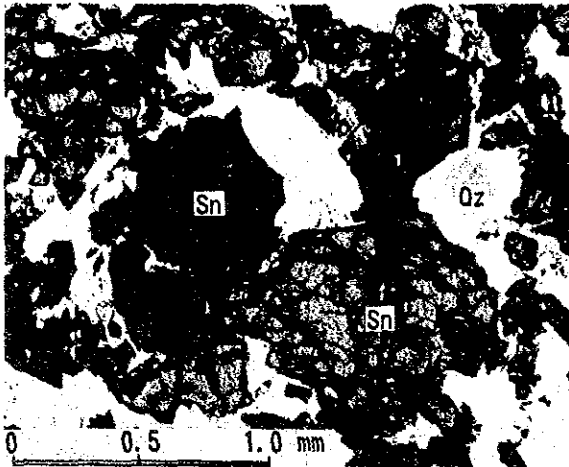
Bi:Biotite

Ho:Hornblende

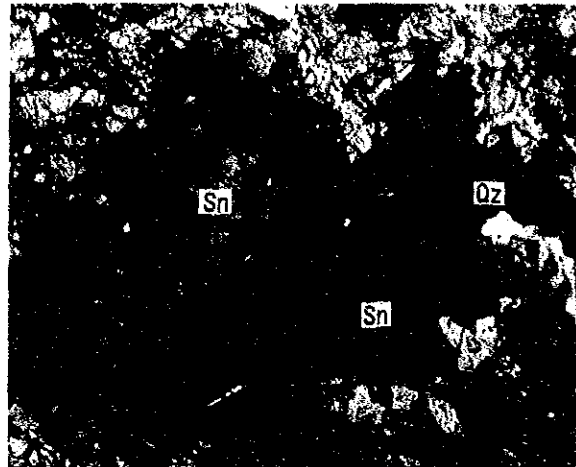
Fe:Fe mineral

Photo.2 Microscopic photograph (thin section)

Cassiterite-bearing quartz vein FR33 (S. Isahan)

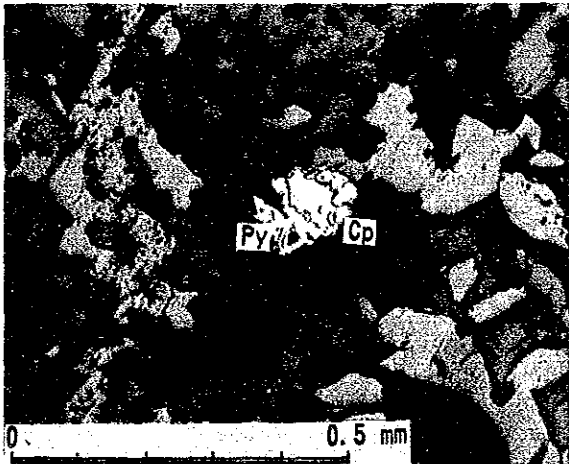


Open



Close

K-feldspar-quartz vein MJIT-6, 85.3 m(S. Isahan)



Abbreviation

Sn:Cassiterite

Qz:Quartz

Cp:Chalcopyrite

Py:Pyrite

Ap:Arsenopyrite

Quartz-pyrite-arsenopyrite vein MJIT-3, 63.3 m(S. Isahan)

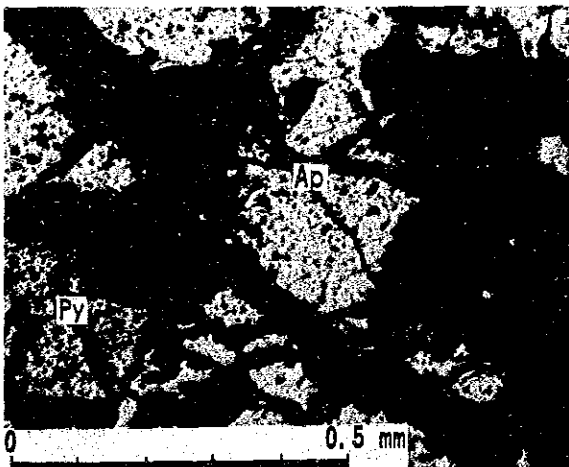


Photo.3 Microscopic photograph (thin section & polished section)

卷 末 資 料

1. 岩石薄片檢驗結果一覽表 (1)

| Sample No. (Drill No.) | Locality (Depth) | Rock name | Texture | Phenocryst | | | | | | | | | | | | | Alteration |
|---------------------------|---------------------|-----------|---------|------------|----|----|----|----|----|----|----|----|----|----|---|---|-------------------------|
| | | | | Qz | Kf | Pl | Bi | Mu | Ho | Ac | Cu | Ca | Zr | Fe | | | |
| FR5 | S. Sikambu | La | Ophi | △ | △ | ◎ | ◎ | ◎ | ◎ | ◎ | ◎ | ◎ | ◎ | ◎ | ◎ | △ | |
| FR6 | ditto | Ap-Qv | Apli | ○ | ○ | △ | △ | △ | △ | △ | △ | △ | △ | △ | △ | △ | Bi-Ch, Pl-Sa |
| FR7 | ditto | Gd | Equi | △ | △ | ◎ | ◎ | ◎ | ◎ | ◎ | ◎ | ◎ | ◎ | ◎ | △ | △ | Pl-Sa |
| FR9 | S. Peseman | Da | Apli | ○ | △ | △ | △ | △ | △ | △ | △ | △ | △ | △ | △ | △ | --Qz, Se, Fe |
| FR10 | ditto | Gr | Equi | ○ | ◎ | ◎ | ◎ | ◎ | ◎ | ◎ | ◎ | ◎ | ◎ | ◎ | ◎ | ◎ | Pl, Kf-Sa |
| FR16 | S. Sikambu | Gr | Equi | ◎ | ◎ | ◎ | ◎ | ◎ | ◎ | ◎ | ◎ | ◎ | ◎ | ◎ | ◎ | ◎ | Pl, Kf-Sa |
| FR19 | ditto | Gr | Equi | ○ | △ | △ | △ | △ | △ | △ | △ | △ | △ | △ | △ | △ | Pl, Kf-Mu, Ch |
| GR29 | S. Tulang | Gr | Equi | ◎ | ◎ | ◎ | ◎ | ◎ | ◎ | ◎ | ◎ | ◎ | ◎ | ◎ | ◎ | ◎ | Pl-Sa |
| GR59 | S. Lemang | Ap | Apli | ◎ | ◎ | ◎ | ◎ | ◎ | ◎ | ◎ | ◎ | ◎ | ◎ | ◎ | ◎ | ◎ | |
| GR63 | S. Tulang | Qd | Equi | ◎ | ◎ | ◎ | ◎ | ◎ | ◎ | ◎ | ◎ | ◎ | ◎ | ◎ | ◎ | ◎ | Bi-Ch |
| MJT-1 | 26.7m | Gr | Equi | ◎ | ◎ | ◎ | ◎ | △ | △ | △ | △ | △ | △ | △ | △ | △ | --Mu, Pl, Kf-Sa |
| MJT-1 | 42.5m | Gr | Porp | ◎ | ◎ | ◎ | ◎ | △ | △ | △ | △ | △ | △ | △ | △ | △ | --Mu, Qz, Pl, Kf-Sa |
| MJT-1 | 51.2m | Gr | Equi | ◎ | ◎ | ◎ | ◎ | ◎ | ◎ | ◎ | ◎ | ◎ | ◎ | ◎ | ◎ | ◎ | --Mu, Pl, Kf-Sa |
| MJT-1 | 80.4m | Gr | Equi | ◎ | ◎ | ◎ | ◎ | ◎ | ◎ | ◎ | ◎ | ◎ | ◎ | ◎ | ◎ | ◎ | --Se, Pl, Kf-Sa |
| MJT-2 | 67.0m | Gr | Porp | ◎ | ◎ | ◎ | ◎ | ◎ | ◎ | ◎ | ◎ | ◎ | ◎ | ◎ | ◎ | ◎ | --Se, Qz, Pl, Kf-Sa |
| MJT-2 | 86.5m | Gr | Equi | ◎ | ◎ | △ | △ | △ | △ | △ | △ | △ | △ | △ | △ | △ | Pl, Kf-Sa |
| MJT-2 | 94.7m | Gr | Equi | ◎ | △ | △ | △ | △ | △ | △ | △ | △ | △ | △ | △ | △ | --Se, Qz, Pl, Kf-Sa |
| MJT-3 | 56.7m | Gr | Equi | ◎ | ◎ | ◎ | ◎ | △ | △ | △ | △ | △ | △ | △ | △ | △ | --Se, Qz, To, Pl, Kf-Sa |
| MJT-3 | 89.0m | Gr | Equi | ◎ | ◎ | △ | △ | △ | △ | △ | △ | △ | △ | △ | △ | △ | --Qz, Pl, Kf-Sa |
| MJT-3 | 93.0m | Gr | Equi | ◎ | ◎ | ◎ | ◎ | ◎ | ◎ | ◎ | ◎ | ◎ | ◎ | ◎ | ◎ | ◎ | --Mu, Qz, Pl, Kf-Sa |

Abbreviations

Rock Name Mineral

Gr ; Granite Qz ; Quartz

Gd ; Granodiorite Kf ; K-feldspar

Qd ; Quartz diorite Pl ; Plagioclase

Ap ; Aplitite Bi ; Biotite

Da ; Dacite Mu ; Muscovite

La ; Lamprophyre Ho ; Hornblende

Qv ; Quartz vein Ac ; Actinolite

Hr ; Hornfels Cu ; Cummingtonite

Si ; Siltstone Ca ; Calcite

Sr ; Silicified rock Zr ; Zircon

Fe ; Fe mineral

Ch ; Chrolite

Sa ; Sausurrite

Se ; Sericite

Porp ; Porphyritic Ct ; Chert

Apli ; Aplitic Cl ; Clay

Ophi ; Ophitic Sn ; Cassiterite

To ; Tourmaline

Texture

Equi, Equigranular

Porp, Porphyritic

Apli, Aplitic

Ophi, Ophitic

1. 岩石薄片檢鏡結果一覽表 (2)

| Sample No. (Drill No.) | Locality (Depth) | Rock Name | Rock and Mineral Chips | | | | Matrix | | | | | | | | | | | | | |
|---------------------------|---------------------|-----------|---------------------------|----|----|----|--------|----|----|----|----|----|----|--------|----|----|--|--|--|--|
| | | | Ct | Qz | Hc | Ho | Qz | Mu | Bi | Ho | Cl | Ca | Fe | Matrix | | | | | | |
| | | | | | | | | | | | | | | Mu | Bi | Ho | | | | |
| FR2 | S. Sikambu | Br | △ | ○ | | | ○ | ○ | | | | | | | | | | | | |
| FR12 | S. Pesenan | Hr | | | | | | | | | | | | | | | | | | |
| FR13 | S. Sikambu | Hr | | | | | | | | | | | | | | | | | | |
| FR32 | ditto | Hr | △ | ○ | | | | | | | | | | | | | | | | |
| GR38 | S. Tulang | Si | ○ | | | | | | | | | | | | | | | | | |
| GR39 | ditto | Si | ○ | | | | | | | | | | | | | | | | | |
| GR47 | S. Isahan | Si | | | | | | | | | | | | | | | | | | |
| GR61 | S. A. Antan | Hr | △ | | | | | | | | | | | | | | | | | |
| MJIT-1 | 89.7m | Si | △ | ○ | | | | | | | | | | | | | | | | |
| MJIT-2 | 95.0m | Si | ○ | | | | | | | | | | | | | | | | | |
| MJIT-3 | 34.9m | Si | △ | | | | | | | | | | | | | | | | | |
| MJIT-4 | 52.0m | Si | ○ | | | | | | | | | | | | | | | | | |
| MJIT-4 | 82.0m | Si | ○ | | | | | | | | | | | | | | | | | |
| MJIT-4 | 96.0m | Si | | | | | | | | | | | | | | | | | | |
| MJIT-4 | 98.0m | Si | | | | | | | | | | | | | | | | | | |
| MJIT-5 | 60.5m | Si | △ | | | | | | | | | | | | | | | | | |
| MJIT-6 | 84.0m | Si | △ | | | | | | | | | | | | | | | | | |
| MJIT-6 | 85.3m | Si | | | | | | | | | | | | | | | | | | |
| MJIT-6 | 99.3m | Si | ○ | | | | | | | | | | | | | | | | | |

| Sample No. (Drill No.) | Locality (Depth) | Rock Name | Mineral | | | |
|---------------------------|---------------------|-----------|---------|----|----|----|
| | | | Qz | Mu | Sn | Fe |
| FR30 | S. Isahan | Sr | ○ | | | |
| FR33 | ditto | Qv | ○ | | | |
| MJIT-3 | 26.0m | Sr | ○ | | | |

2. 絶対年代測定結果

| Sample No. | Sample Type | Potassium (K wt%) | Rad. ^{40}Ar (10^{-6}cc/g) | K-Ar Age (Ma) | Air Cont. (%) |
|-----------------|-------------|-------------------|--|---------------|---------------|
| GR63 | Whole rock | 3.13 | 14.2 \pm 0.2 | 113 \pm 2 | 4.1 |
| | | \pm 0.06 | 14.1 \pm 0.2 | 113 \pm 2 | 3.9 |
| MJIT-1 44.7m | Whole rock | 5.42 | 35.2 \pm 0.5 | 160 \pm 4 | 2.0 |
| | | \pm 0.11 | 35.1 \pm 0.6 | 160 \pm 4 | 1.9 |
| MJIT-3 11.8m | Whole rock | 4.19 | 25.2 \pm 0.4 | 149 \pm 4 | 1.8 |
| | | \pm 0.08 | 25.5 \pm 0.3 | 150 \pm 3 | 1.7 |

3. 鉍石研磨片検鏡結果

| Boring No. | Depth | Py | Cp | Sp | Ap |
|------------|-------|----|----|----|----|
| MJIT-1 | 8.0m | △ | · | | |
| MJIT-1 | 15.2m | △ | | | |
| MJIT-1 | 79.0m | △ | | | |
| MJIT-2 | 94.4m | △ | · | · | |
| MJIT-3 | 19.3m | △ | | | |
| MJIT-3 | 36.8m | · | | | |
| MJIT-3 | 63.8m | ◎ | | | ◎ |
| MJIT-4 | 82.5m | △ | | | |
| MJIT-6 | 13.7m | △ | | | |
| MJIT-6 | 85.3m | ○ | △ | · | |
| MJIT-6 | 88.2m | | | | △ |

Abbreviations

Py; Pyrite, Cp; Chalcopyrite, Sp; Sphalerite,

Ap; Arsenopyrite

◎; Abundant, ○; Common, △; Rare, ·; Trace

4. X線回折粉末法試験結果

| Sample No. (Drill No.) | Locality (Depth) | Mineral | | | | | | | | | | |
|---------------------------|---------------------|---------|----|----|----|----|----|----|----|----|----|----|
| | | Qz | Kf | Pl | Ch | Ka | Mu | Bi | Gi | Ca | Do | Py |
| FR1 | S. Sikambu | ⊙ | ○ | | | △ | △ | | | • | | |
| FR14 | S. Isahan | ⊙ | | | | • | • | | | | | |
| FR15 | ditto | ⊙ | △ | • | | • | △ | | | • | | |
| FR17 | S. Sikambu | ⊙ | △ | | | △ | • | | | | | |
| FR18 | ditto | ⊙ | • | • | • | △ | • | | | | | |
| FR19 | ditto | ⊙ | | | | • | △ | | • | | | |
| FR20 | ditto | ⊙ | • | | • | △ | • | | | | | |
| FR22 | S. Isahan | ⊙ | • | | | | | ○ | | | | |
| FR23 | ditto | ⊙ | | | | • | | △ | | | | |
| FR24 | ditto | ○ | • | | | • | | △ | | | | |
| FR25 | ditto | ⊙ | | | | △ | | • | | | | |
| FR26 | ditto | ⊙ | | • | | | △ | | | | | |
| FR27 | ditto | ⊙ | ○ | | | △ | △ | | | | | |
| FR28 | ditto | ⊙ | • | | | △ | • | | | | | |
| FR29 | ditto | ⊙ | | | | △ | | | | | | |
| FR30 | ditto | ⊙ | | | | | ○ | | | | | |
| FR31 | ditto | ⊙ | | | | △ | • | | | | | |
| GR20 | S. Laki | ⊙ | △ | | | • | △ | | | • | | |
| GR59 | S. Lemang | ⊙ | △ | ○ | | • | ○ | | | • | | |
| GR60 | S. A. Antan | ⊙ | • | | | | • | | | | | ○ |
| MJIT-1 | 74.0m | ⊙ | ⊙ | | | • | • | | | • | | |
| MJIT-2 | 72.5m | ⊙ | △ | | | | △ | | | | | • |
| MJIT-3 | 65.1m | ⊙ | △ | | | • | △ | | | | | |
| MJIT-3 | 84.6m | ⊙ | △ | | | • | △ | | | | | |
| MJIT-3 | 89.0m | ⊙ | ⊙ | △ | • | • | △ | | | • | | |
| MJIT-4 | 96.0m | ⊙ | | | | | △ | | | | ○ | |

Abbreviations

Qz;Quartz, Kf;Potassium feldspar, Pl;Plagioclase, Ch;Chlorite, Ka;Kaolinite
 Mu;Muscovite, Bi;Biotite, Gi;Gibbsite, Ca;Calcite, Do;Dolomite, Py;Pyrite

5. 化学分析値（河床堆積物試料（1））

| Sample No. | Au (ppb) | Sn (ppm) | W (ppm) | Th (ppm) | Ce (ppm) | U (ppm) | Sample No. | Au (ppb) | Sn (ppm) | W (ppm) | Th (ppm) | Ce (ppm) | U (ppm) |
|------------|----------|----------|---------|----------|----------|---------|------------|----------|----------|---------|----------|----------|---------|
| FS 1 | <5 | <2 | <2 | 9.0 | 36 | 2.2 | FS 56 | <5 | 6 | 2 | 7.0 | 38 | 2.8 |
| FS 2 | 5 | <2 | <2 | 11.0 | 44 | 2.8 | FS 57 | <5 | 2 | <2 | 9.0 | 44 | 2.2 |
| FS 3 | <5 | <2 | 2 | 9.0 | 30 | 2.4 | FS 58 | <5 | <2 | <2 | 8.0 | 36 | 3.6 |
| FS 4 | <5 | <2 | <2 | 12.0 | 50 | 2.2 | FS 59 | <5 | 2 | <2 | 7.0 | 26 | 2.4 |
| FS 5 | 5 | <2 | 2 | 13.0 | 48 | 2.2 | FS 60 | <5 | <2 | <2 | 7.0 | 34 | 2.2 |
| FS 6 | <5 | <2 | 2 | 10.0 | 36 | 2.0 | FS 61 | <5 | <2 | <2 | 10.0 | 38 | 2.4 |
| FS 7 | <5 | 290 | 7 | 23.0 | 76 | 3.6 | FS 62 | <5 | <2 | <2 | 9.0 | 38 | 2.4 |
| FS 8 | 5 | 2 | <2 | 10.0 | 46 | 2.0 | FS 63 | <5 | <2 | <2 | 8.0 | 28 | 2.2 |
| FS 9 | <5 | 67 | 7 | 11.0 | 44 | 2.0 | FS 64 | <5 | 19 | 2 | 7.0 | 30 | 2.2 |
| FS 10 | <5 | 2 | <2 | 14.0 | 48 | 2.8 | FS 65 | <5 | 110 | 3 | 9.0 | 44 | 2.2 |
| FS 11 | <5 | <2 | 2 | 22.0 | 70 | 3.6 | FS 66 | <5 | 50 | 3 | 11.0 | 38 | 3.2 |
| FS 12 | <5 | 5 | 3 | 16.0 | 52 | 2.4 | FS 67 | <5 | 80 | 4 | 12.0 | 38 | 3.0 |
| FS 13 | <5 | 2 | 2 | 18.0 | 54 | 3.4 | GS 3 | <5 | <2 | 2 | 9.0 | 32 | 3.8 |
| FS 14 | <5 | 47 | 6 | 11.0 | 44 | 2.4 | GS 4 | <5 | <2 | 2 | 13.0 | 56 | 2.4 |
| FS 15 | <5 | 37 | 7 | 12.0 | 46 | 2.2 | GS 5 | <5 | <2 | 3 | 11.0 | 34 | 3.4 |
| FS 16 | 5 | 230 | 28 | 10.0 | 34 | 3.2 | GS 6 | <5 | <2 | 3 | 11.0 | 44 | 2.4 |
| FS 17 | 5 | <2 | 2 | 15.0 | 42 | 2.2 | GS 7 | <5 | <2 | <2 | 8.0 | 26 | 2.8 |
| FS 18 | <5 | 10 | 3 | 9.0 | 30 | 3.0 | GS 8 | <5 | <2 | <2 | 5.0 | 20 | 1.6 |
| FS 19 | <5 | <2 | 2 | 10.0 | 36 | 2.2 | GS 9 | <5 | <2 | <2 | 7.0 | 28 | 1.8 |
| FS 20 | <5 | 290 | 3 | 11.0 | 46 | 2.4 | GS 10 | <5 | <2 | <2 | 6.0 | 22 | 3.0 |
| FS 21 | <5 | <2 | <2 | 10.0 | 38 | 3.2 | GS 11 | <5 | <2 | <2 | 14.0 | 50 | 3.2 |
| FS 23 | <5 | <2 | 2 | 14.0 | 62 | 3.0 | GS 13 | <5 | <2 | <2 | 12.0 | 44 | 4.6 |
| FS 25 | <5 | 2 | 2 | 15.0 | 56 | 3.4 | GS 14 | 5 | <2 | <2 | 4.0 | 14 | 1.8 |
| FS 26 | <5 | <2 | 2 | 12.0 | 50 | 2.0 | GS 15 | <5 | <2 | <2 | 4.0 | 12 | 2.2 |
| FS 27 | <5 | <2 | <2 | 10.0 | 38 | 3.2 | GS 16 | <5 | <2 | <2 | 6.0 | 20 | 3.0 |
| FS 28 | <5 | <2 | 2 | 16.0 | 54 | 3.2 | GS 17 | <5 | <2 | <2 | 11.0 | 40 | 2.4 |
| FS 29 | 10 | <2 | <2 | 20.0 | 66 | 3.6 | GS 18 | <5 | <2 | <2 | 7.0 | 24 | 3.2 |
| FS 30 | <5 | <2 | 3 | 16.0 | 50 | 3.0 | GS 19 | <5 | <2 | <2 | 9.0 | 32 | 2.0 |
| FS 31 | <5 | 2 | 7 | 31.0 | 22 | <0.2 | GS 20 | <5 | <2 | 3 | 26.0 | 96 | 4.2 |
| FS 32 | <5 | <2 | <2 | 18.0 | 66 | 2.0 | GS 21 | 5 | <2 | <2 | 6.0 | 24 | 1.8 |
| FS 33 | <5 | <2 | 3 | 16.0 | 50 | 3.8 | GS 23 | <5 | <2 | <2 | 10.0 | 40 | 2.0 |
| FS 34 | <5 | 80 | <2 | 10.0 | 36 | 3.0 | GS 24 | <5 | <2 | <2 | 12.0 | 40 | 3.0 |
| FS 35 | <5 | 27 | <2 | 14.0 | 40 | 3.2 | GS 28 | <5 | <2 | <2 | 7.0 | 18 | 2.2 |
| FS 36 | <5 | 13 | <2 | 10.0 | 32 | 2.6 | GS 29 | <5 | <2 | <2 | 16.0 | 60 | 3.2 |
| FS 37 | <5 | 59 | 2 | 14.0 | 46 | 3.4 | GS 30 | <5 | <2 | <2 | 6.0 | 20 | 1.8 |
| FS 38 | <5 | <2 | 2 | 12.0 | 38 | 2.6 | GS 31 | <5 | <2 | <2 | 7.0 | 24 | 1.2 |
| FS 39 | <5 | <2 | 2 | 12.0 | 40 | 2.8 | GS 32 | <5 | <2 | <2 | 8.0 | 22 | 2.6 |
| FS 40 | <5 | <2 | 2 | 12.0 | 34 | 3.0 | GS 34 | <5 | <2 | <2 | 14.0 | 38 | 4.4 |
| FS 41 | <5 | 2 | 2 | 11.0 | 30 | 2.2 | GS 35 | <5 | <2 | <2 | 9.0 | 24 | 2.8 |
| FS 43 | <5 | <2 | 2 | 12.0 | 44 | 2.4 | GS 36 | <5 | <2 | <2 | 15.0 | 50 | 4.6 |
| FS 44 | <5 | <2 | 2 | 18.0 | 54 | 4.0 | GS 37 | <5 | <2 | <2 | 8.0 | 20 | 3.0 |
| FS 45 | <5 | <2 | 2 | 10.0 | 28 | 2.6 | GS 38 | <5 | <2 | <2 | 8.0 | 20 | 2.0 |
| FS 46 | 5 | <2 | 2 | 11.0 | 28 | 3.6 | GS 39 | <5 | <2 | <2 | 12.0 | 32 | 2.4 |
| FS 47 | <5 | <2 | 2 | 10.0 | 30 | 4.4 | GS 40 | <5 | <2 | <2 | 16.0 | 54 | 2.4 |
| FS 48 | <5 | <2 | 2 | 11.0 | 30 | 3.0 | GS 41 | <5 | <2 | <2 | 15.0 | 36 | 2.2 |
| FS 49 | <5 | <2 | 3 | 11.0 | 24 | 2.8 | GS 42 | <5 | <2 | <2 | 11.0 | 36 | 3.4 |
| FS 50 | <5 | <2 | 2 | 10.0 | 36 | 2.0 | GS 43 | <5 | <2 | <2 | 9.0 | 34 | 2.6 |
| FS 51 | <5 | <2 | <2 | 12.0 | 38 | 4.4 | GS 44 | <5 | <2 | <2 | 9.0 | 34 | 2.0 |
| FS 52 | <5 | <2 | 2 | 15.0 | 44 | 2.6 | GS 45 | <5 | <2 | <2 | 10.0 | 38 | 2.2 |
| FS 53 | <5 | <2 | 3 | 12.0 | 38 | 3.2 | GS 46 | <5 | <2 | <2 | 8.0 | 36 | 1.6 |
| FS 54 | <5 | 12 | 3 | 11.0 | 34 | 3.0 | GS 47 | <5 | <2 | <2 | 9.0 | 24 | 2.4 |
| FS 55 | <5 | 27 | 2 | 10.0 | 30 | 3.2 | GS 48 | <5 | <2 | <2 | 9.0 | 28 | 2.0 |

5. 化学分析值 (河床堆積物試料 (2))

| Sample No. | Au (ppb) | Sn (ppm) | W (ppm) | Th (ppm) | Ce (ppm) | U (ppm) | Sample No. | Au (ppb) | Sn (ppm) | W (ppm) | Th (ppm) | Ce (ppm) | U (ppm) |
|------------|----------|----------|---------|----------|----------|---------|------------|----------|----------|---------|----------|----------|---------|
| GS 49 | <5 | <2 | <2 | 14.0 | 40 | 3.6 | GS113 | <5 | 70 | 4 | 8.0 | 22 | 1.6 |
| GS 51 | <5 | <2 | <2 | 10.0 | 32 | 2.8 | GS115 | <5 | 12 | <2 | 6.0 | 42 | 5.0 |
| GS 52 | <5 | <2 | <2 | 10.0 | 32 | 2.8 | GS116 | <5 | 10 | 3 | 9.0 | 24 | 2.6 |
| GS 53 | <5 | <2 | <2 | 6.0 | 22 | 2.4 | GS117 | <5 | 2 | 6 | 9.0 | 30 | 2.0 |
| GS 54 | <5 | <2 | <2 | 11.0 | 40 | 3.4 | GS118 | <5 | 12 | 3 | 10.0 | 34 | 1.6 |
| GS 55 | <5 | <2 | <2 | 10.0 | 42 | 2.4 | GS119 | <5 | <2 | 3 | 6.0 | 24 | 2.0 |
| GS 56 | <5 | <2 | <2 | 8.0 | 34 | 2.6 | GS120 | <5 | 5 | 2 | 8.0 | 32 | 3.2 |
| GS 58 | <5 | <2 | <2 | 4.0 | 14 | 2.6 | GS121 | <5 | <2 | 2 | 7.0 | 34 | 2.4 |
| GS 59 | <5 | <2 | <2 | 7.0 | 30 | 3.0 | GS122 | <5 | <2 | 2 | 6.0 | 22 | 2.6 |
| GS 60 | <5 | <2 | <2 | 9.0 | 40 | 2.0 | GS124 | <5 | <2 | <2 | 11.0 | 50 | 2.6 |
| GS 61 | <5 | <2 | <2 | 6.0 | 20 | 2.0 | GS125 | <5 | <2 | <2 | 7.0 | 24 | 2.2 |
| GS 62 | <5 | <2 | <2 | 6.0 | 20 | 2.4 | GS126 | <5 | <2 | <2 | 5.0 | 22 | 2.2 |
| GS 63 | <5 | <2 | <2 | 5.0 | 24 | 2.2 | GS127 | <5 | <2 | <2 | 9.0 | 34 | 2.4 |
| GS 64 | <5 | <2 | 2 | 7.0 | 32 | 2.6 | GS128 | <5 | <2 | <2 | 6.0 | 16 | 2.8 |
| GS 67 | <5 | <2 | <2 | 10.0 | 36 | 2.6 | GS131 | <5 | <2 | 2 | 9.0 | 24 | 2.2 |
| GS 68 | <5 | <2 | <2 | 4.0 | 10 | 2.8 | GS132 | <5 | <2 | <2 | 7.0 | 26 | 1.4 |
| GS 70 | <5 | <2 | 2 | 6.0 | 22 | 2.4 | GS134 | <5 | 4 | <2 | 11.0 | 34 | 2.0 |
| GS 71 | <5 | <2 | <2 | 5.0 | 16 | 3.0 | GS136 | <5 | <2 | 2 | 10.0 | 32 | 2.2 |
| GS 72 | <5 | <2 | <2 | 7.0 | 26 | 2.0 | GS137 | <5 | 27 | 3 | 14.0 | 44 | 2.0 |
| GS 73 | <5 | <2 | <2 | 4.0 | 12 | 2.0 | GS138 | <5 | 12 | 4 | 15.0 | 48 | 2.2 |
| GS 74 | <5 | <2 | <2 | 6.0 | 18 | 1.6 | GS139 | <5 | 7 | 7 | 11.0 | 36 | 1.6 |
| GS 75 | <5 | <2 | <2 | 10.0 | 28 | 4.2 | GS140 | <5 | <2 | 2 | 10.0 | 32 | 2.2 |
| GS 76 | <5 | <2 | <2 | 7.0 | 18 | 2.2 | GS141 | 5 | <2 | 4 | 12.0 | 38 | 2.6 |
| GS 77 | <5 | <2 | <2 | 7.0 | 22 | 2.2 | GS142 | <5 | <2 | 4 | 8.0 | 20 | 2.2 |
| GS 78 | <5 | <2 | <2 | 4.0 | 10 | 1.8 | GS143 | <5 | <2 | 2 | 8.0 | 32 | 2.2 |
| GS 79 | <5 | <2 | <2 | 5.0 | 26 | 1.6 | GS144 | <5 | <2 | 2 | 9.0 | 32 | 3.0 |
| GS 80 | <5 | <2 | <2 | 4.0 | 14 | 1.6 | GS147 | 40 | <2 | 2 | 9.0 | 30 | 2.0 |
| GS 81 | <5 | <2 | <2 | 6.0 | 18 | 2.2 | GS148 | <5 | <2 | 2 | 7.0 | 22 | 2.2 |
| GS 82 | <5 | <2 | <2 | 7.0 | 22 | 2.2 | GS152 | <5 | <2 | <2 | 8.0 | 22 | 1.8 |
| GS 83 | <5 | <2 | <2 | 7.0 | 22 | 2.2 | GS153 | <5 | <2 | <2 | 8.0 | 30 | 1.4 |
| GS 84 | <5 | <2 | <2 | 6.0 | 16 | 3.2 | GS154 | <5 | <2 | <2 | 5.0 | 18 | 1.8 |
| GS 86 | <5 | <2 | <2 | 4.0 | 10 | 2.0 | GS156 | <5 | <2 | <2 | 9.0 | 26 | 1.6 |
| GS 87 | 15 | <2 | <2 | 4.0 | 12 | 1.6 | GS157 | <5 | <2 | <2 | 9.0 | 26 | 1.4 |
| GS 88 | <5 | <2 | 2 | 5.0 | 12 | 2.8 | GS158 | <5 | <2 | <2 | 7.0 | 26 | 1.2 |
| GS 90 | <5 | <2 | <2 | 4.0 | 8 | 2.6 | GS161 | <5 | <2 | <2 | 10.0 | 34 | 1.8 |
| GS 91 | <5 | <2 | 2 | 7.0 | 22 | 2.2 | GS162 | <5 | <2 | <2 | 6.0 | 20 | 1.6 |
| GS 92 | <5 | <2 | 2 | 4.0 | 6 | 2.0 | GS163 | <5 | <2 | <2 | 10.0 | 34 | 1.6 |
| GS 93 | <5 | <2 | 2 | 5.0 | 14 | 2.6 | GS164 | <5 | <2 | <2 | 10.0 | 38 | 1.4 |
| GS 94 | <5 | <2 | 2 | 4.0 | 14 | 2.4 | GS165 | <5 | <2 | <2 | 9.0 | 32 | 2.2 |
| GS 95 | <5 | <2 | 2 | 6.0 | 18 | 2.0 | GS166 | <5 | 9 | 2 | 12.0 | 40 | 2.0 |
| GS 97 | 10 | 16 | 3 | 6.0 | 20 | 2.0 | GS167 | <5 | 40 | 3 | 15.0 | 52 | 2.6 |
| GS100 | <5 | <2 | 2 | 12.0 | 50 | 2.0 | GS168 | <5 | 13 | <2 | 7.0 | 24 | 2.0 |
| GS101 | <5 | 77 | 4 | 9.0 | 32 | 2.0 | GS169 | <5 | 55 | 2 | 10.0 | 34 | 2.8 |
| GS103 | <5 | 4 | 4 | 12.0 | 40 | 3.2 | GS171 | <5 | 42 | 2 | 15.0 | 48 | 2.8 |
| GS104 | <5 | 4 | 3 | 10.0 | 40 | 3.2 | GS173 | <5 | 57 | 2 | 13.0 | 46 | 2.2 |
| GS105 | <5 | 5 | 6 | 10.0 | 40 | 2.0 | GS174 | <5 | 5 | 2 | 8.0 | 30 | 2.4 |
| GS106 | <5 | 8 | 4 | 15.0 | 52 | 4.8 | GS175 | <5 | 3 | <2 | 10.0 | 36 | 2.2 |
| GS107 | <5 | 42 | 6 | 21.0 | 68 | 9.2 | GS179 | <5 | <2 | 2 | 9.0 | 36 | 2.0 |
| GS108 | <5 | 21 | 4 | 9.0 | 30 | 3.8 | GS180 | <5 | <2 | 4 | 9.0 | 28 | 1.2 |
| GS110 | <5 | 5 | 2 | 13.0 | 40 | 3.6 | GS182 | <5 | 2 | 3 | 9.0 | 30 | 2.8 |
| GS111 | <5 | 23 | 3 | 17.0 | 50 | 3.2 | GS189 | <5 | <2 | <2 | 10.0 | 34 | 2.6 |
| GS112 | <5 | 19 | 3 | 8.0 | 28 | 2.6 | GS190 | <5 | 2 | 3 | 11.0 | 42 | 2.0 |

5. 化学分析值 (河床堆積物試料 (3))

| Sample No. | Au (ppb) | Sn (ppm) | W (ppm) | Th (ppm) | Ce (ppm) | U (ppm) | Sample No. | Au (ppb) | Sn (ppm) | W (ppm) | Th (ppm) | Ce (ppm) | U (ppm) |
|------------|----------|----------|---------|----------|----------|---------|------------|----------|----------|---------|----------|----------|---------|
| GS192 | <5 | <2 | 3 | 14.0 | 44 | 2.6 | GS276 | <5 | 100 | 2 | 10.0 | 38 | 2.8 |
| GS194 | <5 | <2 | 2 | 8.0 | 28 | 2.6 | GS277 | <5 | 16 | 3 | 7.0 | 32 | 2.4 |
| GS195 | <5 | 2 | 3 | 8.0 | 28 | 2.4 | GS281 | <5 | 55 | 6 | 7.0 | 30 | 1.8 |
| GS196 | <5 | <2 | 4 | 9.0 | 36 | 2.2 | GS282 | <5 | 400 | 22 | 11.0 | 44 | 3.0 |
| GS198 | <5 | <2 | 3 | 8.0 | 30 | 1.4 | GS283 | 15 | 70 | 7 | 10.0 | 60 | 2.4 |
| GS199 | <5 | <2 | 3 | 10.0 | 46 | 2.2 | GS284 | 10 | 60 | 21 | 14.0 | 80 | 2.2 |
| GS200 | <5 | 2 | 3 | 10.0 | 44 | 2.4 | GS285 | <5 | 78 | 9 | 11.0 | 62 | 2.4 |
| GS207 | <5 | 6 | 6 | 11.0 | 50 | 2.2 | GS286 | <5 | 64 | 32 | 12.0 | 60 | 2.4 |
| GS208 | <5 | <2 | 2 | 8.0 | 34 | 2.4 | GS287 | <5 | 19 | 3 | 16.0 | 68 | 2.4 |
| GS209 | <5 | 4 | 8 | 12.0 | 50 | 2.0 | GS288 | <5 | 20 | 2 | 7.0 | 32 | 3.0 |
| GS210 | <5 | 2 | 3 | 11.0 | 38 | 2.2 | GS289 | <5 | 4 | 2 | 11.0 | 52 | 2.0 |
| GS211 | <5 | 2 | 3 | 12.0 | 34 | 3.2 | GS290 | <5 | 6 | 4 | 9.0 | 40 | 2.2 |
| GS213 | <5 | 7 | 3 | 15.0 | 54 | 3.4 | GS291 | <5 | 3 | 4 | 8.0 | 42 | 1.6 |
| GS214 | <5 | <2 | 3 | 21.0 | 62 | 4.0 | GS292 | <5 | 45 | 3 | 9.0 | 36 | 2.2 |
| GS215 | <5 | 15 | 2 | 13.0 | 60 | 3.2 | GS293 | <5 | 18 | 4 | 6.0 | 42 | 1.8 |
| GS217 | <5 | <2 | 3 | 11.0 | 46 | 2.0 | GS294 | <5 | 3 | 4 | 9.0 | 58 | 2.0 |
| GS219 | <5 | 77 | 8 | 12.0 | 36 | 2.8 | GS295 | <5 | 11 | 7 | 11.0 | 64 | 2.0 |
| GS220 | <5 | 2 | 5 | 13.0 | 44 | 2.4 | GS296 | <5 | 29 | 3 | 8.0 | 28 | 2.0 |
| GS221 | <5 | 40 | 7 | 13.0 | 54 | 2.0 | GS297 | <5 | 2 | 2 | 5.0 | 20 | 2.6 |
| GS225 | <5 | 2 | 2 | 8.0 | 28 | 3.2 | GS298 | <5 | <2 | 2 | 7.0 | 36 | 1.6 |
| GS230 | <5 | <2 | 3 | 16.0 | 54 | 2.4 | GS299 | <5 | 22 | 4 | 7.0 | 36 | 2.0 |
| GS232 | <5 | <2 | 4 | 14.0 | 62 | 3.0 | GS300 | <5 | 38 | 6 | 14.0 | 64 | 2.0 |
| GS234 | <5 | 11 | 3 | 14.0 | 58 | 2.2 | GS301 | <5 | 25 | 5 | 12.0 | 50 | 2.4 |
| GS235 | <5 | <2 | 3 | 14.0 | 54 | 2.4 | GS302 | <5 | 3 | 5 | 10.0 | 44 | 3.0 |
| GS236 | <5 | 5 | 24 | 37.0 | 48 | 7.4 | GS303 | <5 | 5 | 3 | 8.0 | 36 | 2.4 |
| GS239 | <5 | <2 | <2 | 7.0 | 26 | 2.4 | GS304 | <5 | 6 | 5 | 9.0 | 36 | 2.0 |
| GS240 | <5 | <2 | <2 | 10.0 | 36 | 2.2 | GS305 | <5 | 11 | 6 | 10.0 | 38 | 3.0 |
| GS245 | <5 | 2 | 2 | 7.0 | 18 | 3.2 | GS306 | 10 | 2 | <2 | 13.0 | 52 | 2.2 |
| GS246 | <5 | 26 | 2 | 8.0 | 24 | 3.2 | GS307 | <5 | 13 | <2 | 11.0 | 44 | 3.4 |
| GS247 | <5 | 7 | 2 | 9.0 | 34 | 2.6 | GS309 | <5 | 2 | <2 | 8.0 | 24 | 2.6 |
| GS249 | <5 | 65 | 2 | 15.0 | 32 | 3.0 | GS310 | <5 | 2 | <2 | 6.0 | 20 | 1.6 |
| GS251 | <5 | 6 | 3 | 11.0 | 34 | 2.6 | GS311 | <5 | 2 | <2 | 4.0 | 12 | <0.2 |
| GS253 | <5 | <2 | 3 | 11.0 | 42 | 2.4 | GS312 | <5 | 5 | <2 | 5.0 | 24 | 2.2 |
| GS254 | <5 | <2 | 2 | 12.0 | 40 | 2.0 | GS313 | <5 | 55 | 2 | 30.0 | 44 | 2.6 |
| GS255 | <5 | <2 | 2 | 14.0 | 40 | 3.6 | GS314 | <5 | <2 | 3 | 12.0 | 54 | 2.2 |
| GS256 | <5 | 11 | 3 | 10.0 | 34 | 2.6 | GS315 | <5 | 7 | 3 | 9.0 | 40 | 2.2 |
| GS257 | <5 | <2 | <2 | 6.0 | 22 | 2.0 | GS316 | 5 | 4 | 5 | 10.0 | 46 | 2.0 |
| GS258 | <5 | <2 | <2 | 6.0 | 18 | 2.6 | GS317 | <5 | <2 | 3 | 11.0 | 44 | 2.6 |
| GS259 | <5 | <2 | <2 | 7.0 | 26 | 2.2 | GS318 | <5 | <2 | <2 | 8.0 | 34 | 2.0 |
| GS260 | <5 | <2 | 2 | 9.0 | 32 | 2.8 | GS319 | 5 | <2 | 2 | 10.0 | 42 | 2.2 |
| GS262 | <5 | 17 | 3 | 12.0 | 32 | 4.0 | GS320 | 10 | <2 | 2 | 12.0 | 57 | 2.4 |
| GS263 | <5 | 16 | 2 | 10.0 | 36 | 2.4 | GS321 | 5 | 2 | 3 | 12.0 | 60 | 2.2 |
| GS264 | 5 | 2 | 2 | 8.0 | 32 | 2.8 | GS322 | <5 | <2 | <2 | 11.0 | 34 | 2.2 |
| GS265 | <5 | <2 | 2 | 7.0 | 24 | 3.0 | GS323 | <5 | 5 | <2 | 8.0 | 26 | 3.0 |
| GS266 | <5 | <2 | <2 | 8.0 | 32 | 2.4 | GS324 | <5 | 2 | <2 | 9.0 | 32 | 1.8 |
| GS267 | <5 | 30 | 2 | 11.0 | 36 | 3.2 | GS325 | 20 | 2 | <2 | 10.0 | 52 | 3.2 |
| GS268 | <5 | <2 | 2 | 10.0 | 40 | 2.6 | GS326 | <5 | 2 | <2 | 11.0 | 48 | 2.6 |
| GS269 | <5 | 5 | 2 | 15.0 | 58 | 3.6 | GS328 | <5 | <2 | <2 | 11.0 | 36 | 2.8 |
| GS270 | <5 | <2 | 2 | 10.0 | 38 | 2.4 | GS329 | <5 | <2 | 2 | 13.0 | 40 | 2.6 |
| GS271 | <5 | 3 | 4 | 11.0 | 34 | 2.4 | GS330 | <5 | <2 | 2 | 13.0 | 40 | 3.0 |
| GS273 | <5 | 2 | <2 | 5.0 | 18 | 2.2 | GS331 | <5 | 4 | <2 | 12.0 | 38 | 2.0 |
| GS275 | <5 | 77 | 3 | 5.0 | 14 | 2.4 | GS332 | <5 | <2 | <2 | 12.0 | 46 | 2.4 |

5. 化学分析値 (パンニング試料)

| Sample No. | Au (ppb) | Sn (ppm) | W (ppm) | Th (ppm) | Ce (ppm) | U (ppm) | Sample No. | Au (ppb) | Sn (ppm) | W (ppm) | Th (ppm) | Ce (ppm) | U (ppm) |
|------------|----------|----------|---------|----------|----------|---------|------------|----------|----------|---------|----------|----------|---------|
| FP 1 | <5 | 87 | 2 | 25.0 | 66 | 4.6 | GP 60 | <5 | 3 | 2 | 17.0 | 46 | 2.0 |
| FP 2 | <5 | >1000 | 55 | 93.0 | 244 | 8.6 | | | | | | | |
| FP 3 | <5 | 35 | <2 | 6.0 | 28 | 1.6 | | | | | | | |
| FP 4 | <5 | 19 | 9 | 54.0 | 196 | 5.2 | | | | | | | |
| FP 5 | <5 | 4 | <2 | 30.0 | 108 | 3.0 | | | | | | | |
| FP 6 | <5 | 70 | 3 | 40.0 | 174 | 6.4 | | | | | | | |
| FP 7 | 5 | 15 | <2 | 52.0 | 202 | 4.6 | | | | | | | |
| FP 8 | <5 | >1000 | 6 | 40.0 | 148 | 7.2 | | | | | | | |
| GP 1 | <5 | 3 | <2 | 40.0 | 138 | 4.0 | | | | | | | |
| GP 2 | <5 | 3 | <2 | 22.0 | 86 | 2.0 | | | | | | | |
| GP 3 | <5 | 11 | <2 | 62.0 | 198 | 7.0 | | | | | | | |
| GP 4 | <5 | 6 | <2 | 10.0 | 40 | 2.2 | | | | | | | |
| GP 6 | <5 | 2 | <2 | 24.0 | 86 | 2.8 | | | | | | | |
| GP 7 | <5 | <2 | <2 | 22.0 | 74 | 4.4 | | | | | | | |
| GP 9 | <5 | 12 | <2 | 15.0 | 52 | 3.4 | | | | | | | |
| GP 12 | <5 | 190 | <2 | 19.0 | 64 | 4.0 | | | | | | | |
| GP 13 | <5 | 5 | 2 | 19.0 | 70 | 3.0 | | | | | | | |
| GP 14 | <5 | >1000 | 6 | 19.0 | 64 | 4.4 | | | | | | | |
| GP 15 | <5 | 640 | 5 | 22.0 | 88 | 5.6 | | | | | | | |
| GP 16 | <5 | >1000 | 5 | 17.0 | 52 | 3.8 | | | | | | | |
| GP 17 | <5 | 100 | 3 | 29.0 | 116 | 7.8 | | | | | | | |
| GP 18 | <5 | 180 | 3 | 17.0 | 54 | 3.6 | | | | | | | |
| GP 19 | <5 | 360 | 4 | 22.0 | 72 | 4.4 | | | | | | | |
| GP 20 | <5 | 10 | 2 | 9.0 | 30 | 4.0 | | | | | | | |
| GP 21 | <5 | 53 | 3 | 14.0 | 54 | 3.4 | | | | | | | |
| GP 22 | <5 | 16 | <2 | 15.0 | 64 | 2.4 | | | | | | | |
| GP 23 | <5 | 6 | <2 | 16.0 | 54 | 3.0 | | | | | | | |
| GP 24 | <5 | 11 | 2 | 9.0 | 26 | 3.0 | | | | | | | |
| GP 26 | <5 | 4 | 2 | 10.0 | 32 | 2.0 | | | | | | | |
| GP 27 | <5 | 2 | 2 | 24.0 | 78 | 3.0 | | | | | | | |
| GP 28 | <5 | 10 | 3 | 7.0 | 28 | 1.6 | | | | | | | |
| GP 29 | <5 | 4 | 3 | 10.0 | 42 | 2.2 | | | | | | | |
| GP 30 | <5 | 62 | 3 | 101.0 | 314 | 11.8 | | | | | | | |
| GP 31 | <5 | 3 | 3 | 61.0 | 40 | 8.8 | | | | | | | |
| GP 32 | 5 | 22 | 4 | 8.0 | 32 | 2.0 | | | | | | | |
| GP 34 | <5 | >1000 | 27 | 15.0 | 68 | 3.2 | | | | | | | |
| GP 35 | <5 | 8 | 2 | 13.0 | 46 | 2.8 | | | | | | | |
| GP 37 | <5 | 10 | 2 | 29.0 | 124 | 4.2 | | | | | | | |
| GP 38 | <5 | 3 | 2 | 7.0 | 34 | 1.4 | | | | | | | |
| GP 42 | <5 | 100 | 2 | 18.0 | 76 | 3.2 | | | | | | | |
| GP 43 | <5 | >1000 | 4 | 26.0 | 92 | 4.4 | | | | | | | |
| GP 44 | <5 | >1000 | 3 | 24.0 | 90 | 4.8 | | | | | | | |
| GP 48 | <5 | 290 | 4 | 12.0 | 58 | 2.4 | | | | | | | |
| GP 49 | <5 | >1000 | 14 | 10.0 | 46 | 1.6 | | | | | | | |
| GP 50 | <5 | >1000 | 21 | 9.0 | 42 | 2.0 | | | | | | | |
| GP 51 | <5 | >1000 | 13 | 14.0 | 40 | 2.0 | | | | | | | |
| GP 52 | <5 | 43 | 2 | 9.0 | 30 | 2.0 | | | | | | | |
| GP 55 | <5 | 30 | 3 | 17.0 | 48 | 2.6 | | | | | | | |
| GP 56 | 5 | 19 | 3 | 12.0 | 42 | <0.2 | | | | | | | |
| GP 57 | <5 | 9 | <2 | 13.0 | 38 | 1.6 | | | | | | | |
| GP 58 | <5 | 5 | <2 | 19.0 | 56 | 2.6 | | | | | | | |
| GP 59 | <5 | 3 | 2 | 12.0 | 38 | 2.0 | | | | | | | |

5. 化学分析結果 (土壤試料 (1))

| Sample No. | Au (ppb) | Sn (ppm) | W (ppm) | Th (ppm) | Ce (ppm) | U (ppm) | Sample No. | Au (ppb) | Sn (ppm) | W (ppm) | Th (ppm) | Ce (ppm) | U (ppm) |
|------------|----------|----------|---------|----------|----------|---------|------------|----------|----------|---------|----------|----------|---------|
| L 101 | <5 | 2 | 3 | 22.0 | 138 | 3.0 | L 313 | 5 | 3 | 14 | 24.0 | 90 | 3.4 |
| L 102 | <5 | 2 | 4 | 21.0 | 122 | 3.0 | L 314 | 5 | 2 | 7 | 23.0 | 110 | 3.2 |
| L 103 | <5 | 2 | 3 | 23.0 | 112 | 2.6 | L 315 | <5 | 2 | 7 | 24.0 | 104 | 2.8 |
| L 104 | <5 | 4 | 14 | 27.0 | 110 | 3.2 | L 316 | <5 | 2 | 7 | 24.0 | 122 | 3.0 |
| L 105 | <5 | 3 | 3 | 23.0 | 112 | 2.6 | L 317 | 5 | 3 | 12 | 25.0 | 100 | 3.2 |
| L 106 | <5 | 2 | 13 | 21.0 | 110 | 2.6 | L 318 | <5 | 2 | 8 | 20.0 | 76 | 2.8 |
| L 107 | <5 | 4 | 9 | 25.0 | 126 | 2.8 | L 319 | <5 | 2 | 5 | 27.0 | 76 | 3.0 |
| L 108 | <5 | 6 | 13 | 29.0 | 68 | 3.4 | L 320 | <5 | 2 | 6 | 26.0 | 126 | 3.0 |
| L 109 | <5 | 10 | 22 | 29.0 | 28 | 4.0 | L 401 | <5 | <2 | 8 | 22.0 | 84 | 3.0 |
| L 110 | <5 | 8 | 16 | 24.0 | 64 | 3.2 | L 402 | <5 | <2 | 6 | 22.0 | 116 | 2.8 |
| L 111 | 15 | 5 | 19 | 26.0 | 114 | 2.6 | L 403 | <5 | 2 | 6 | 22.0 | 64 | 3.4 |
| L 112 | 5 | 2 | 13 | 26.0 | 116 | 2.8 | L 404 | <5 | <2 | 3 | 20.0 | 98 | 2.8 |
| L 113 | <5 | 2 | 11 | 27.0 | 114 | 3.4 | L 405 | <5 | 2 | 15 | 25.0 | 94 | 3.6 |
| L 114 | <5 | 2 | 7 | 25.0 | 84 | 2.8 | L 406 | 35 | 8 | 14 | 23.0 | 112 | 2.8 |
| L 115 | <5 | 2 | 4 | 22.0 | 104 | 2.6 | L 407 | 5 | 14 | 21 | 21.0 | 84 | 2.8 |
| L 116 | <5 | 2 | 7 | 21.0 | 102 | 2.8 | L 408 | <5 | 2 | 28 | 25.0 | 108 | 3.0 |
| L 117 | <5 | 13 | 7 | 20.0 | 70 | 3.0 | L 409 | <5 | 16 | 17 | 22.0 | 130 | 3.2 |
| L 118 | <5 | 2 | 5 | 21.0 | 120 | 3.2 | L 410 | 5 | 34 | 60 | 23.0 | 78 | 2.8 |
| L 119 | <5 | 3 | 5 | 27.0 | 94 | 3.6 | L 411 | 45 | 12 | 80 | 23.0 | 102 | 3.2 |
| L 120 | <5 | 3 | 3 | 27.0 | 130 | 3.4 | L 412 | 10 | 72 | 55 | 26.0 | 86 | 3.6 |
| L 201 | <5 | 2 | 3 | 28.0 | 128 | 3.4 | L 413 | <5 | 2 | 12 | 23.0 | 96 | 2.8 |
| L 202 | <5 | 2 | 3 | 23.0 | 108 | 2.8 | L 414 | 55 | <2 | 11 | 25.0 | 82 | 2.6 |
| L 203 | <5 | 2 | 3 | 6.0 | 20 | 3.0 | L 415 | 5 | <2 | 7 | 22.0 | 88 | 2.6 |
| L 204 | <5 | 2 | 3 | 24.0 | 86 | 3.2 | L 416 | 5 | 2 | 8 | 23.0 | 95 | 3.0 |
| L 205 | <5 | 2 | 7 | 28.0 | 104 | 2.8 | L 417 | 15 | 2 | 5 | 22.0 | 98 | 3.2 |
| L 206 | <5 | 3 | 6 | 29.0 | 112 | 3.6 | L 418 | 5 | 3 | 6 | 22.0 | 86 | 2.8 |
| L 207 | <5 | 2 | 8 | 28.0 | 92 | 3.0 | L 419 | <5 | 3 | 6 | 26.0 | 108 | 3.4 |
| L 208 | <5 | 3 | 10 | 28.0 | 50 | 3.2 | L 420 | <5 | 2 | 6 | 25.0 | 90 | 3.8 |
| L 209 | <5 | 2 | 7 | 24.0 | 84 | 2.6 | L 501 | <5 | 2 | 3 | 23.0 | 104 | 3.0 |
| L 210 | <5 | 12 | 11 | 27.0 | 76 | 3.2 | L 502 | <5 | 2 | 4 | 20.0 | 90 | 2.8 |
| L 211 | 10 | 10 | 22 | 26.0 | 64 | 3.4 | L 503 | <5 | 2 | 7 | 22.0 | 86 | 3.4 |
| L 212 | <5 | 12 | 16 | 20.0 | 114 | 3.0 | L 504 | <5 | <2 | 10 | 21.0 | 102 | 3.0 |
| L 213 | <5 | 3 | 17 | 19.0 | 114 | 3.0 | L 505 | <5 | 2 | 8 | 25.0 | 156 | 3.0 |
| L 214 | <5 | 2 | 8 | 23.0 | 86 | 2.6 | L 506 | <5 | 3 | 16 | 21.0 | 96 | 3.0 |
| L 215 | <5 | 3 | 22 | 22.0 | 82 | 3.0 | L 507 | <5 | 6 | 32 | 23.0 | 96 | 3.2 |
| L 216 | <5 | 3 | 7 | 20.0 | 96 | 2.6 | L 508 | <5 | 25 | 35 | 29.0 | 158 | 3.2 |
| L 217 | <5 | 7 | 12 | 19.0 | 60 | 3.0 | L 509 | <5 | 9 | 32 | 24.0 | 104 | 2.8 |
| L 218 | <5 | 2 | 7 | 23.0 | 80 | 3.4 | L 510 | 10 | 50 | 32 | 30.0 | 82 | 9.6 |
| L 219 | <5 | 2 | 9 | 26.0 | 100 | 3.6 | L 511 | 20 | 4 | 55 | 26.0 | 166 | 3.4 |
| L 220 | <5 | 2 | 7 | 25.0 | 108 | 3.4 | L 512 | 10 | 37 | 25 | 24.0 | 88 | 4.0 |
| L 301 | <5 | 2 | 3 | 22.0 | 124 | 3.2 | L 513 | <5 | 2 | 6 | 27.0 | 106 | 2.8 |
| L 302 | <5 | 2 | 7 | 24.0 | 124 | 3.2 | L 514 | <5 | 2 | 13 | 28.0 | 116 | 2.6 |
| L 303 | <5 | 2 | 6 | 22.0 | 110 | 2.8 | L 515 | <5 | 2 | 6 | 26.0 | 128 | 3.0 |
| L 304 | <5 | 2 | 9 | 24.0 | 60 | 3.8 | L 516 | <5 | 3 | 12 | 29.0 | 108 | 3.2 |
| L 305 | <5 | 2 | 8 | 25.0 | 122 | 3.2 | L 517 | <5 | 2 | 14 | 24.0 | 104 | 3.6 |
| L 306 | <5 | 2 | 7 | 24.0 | 88 | 2.8 | L 518 | 5 | 2 | 6 | 23.0 | 112 | 3.2 |
| L 307 | <5 | 3 | 9 | 23.0 | 82 | 2.8 | L 519 | <5 | 2 | 6 | 24.0 | 132 | 2.8 |
| L 308 | <5 | 2 | 24 | 27.0 | 56 | 3.0 | L 520 | <5 | 2 | 7 | 24.0 | 86 | 3.0 |
| L 309 | <5 | 2 | 17 | 21.0 | 86 | 2.8 | L 601 | <5 | 2 | 2 | 25.0 | 130 | 3.2 |
| L 310 | 55 | 4 | 20 | 24.0 | 88 | 3.6 | L 602 | <5 | 2 | 4 | 23.0 | 90 | 3.4 |
| L 311 | 15 | 2 | 22 | 27.0 | 146 | 3.2 | L 603 | <5 | 2 | 13 | 25.0 | 58 | 3.2 |
| L 312 | 10 | 2 | 14 | 24.0 | 72 | 2.8 | L 604 | <5 | 2 | 5 | 23.0 | 88 | 3.4 |

5. 化学分析結果 (土壤試料 (2))

| Sample No. | Au (ppb) | Sn (ppm) | W (ppm) | Th (ppm) | Ce (ppm) | U (ppm) | Sample No. | Au (ppb) | Sn (ppm) | W (ppm) | Th (ppm) | Ce (ppm) | U (ppm) |
|------------|----------|----------|---------|----------|----------|---------|------------|----------|----------|---------|----------|----------|---------|
| L 605 | <5 | 2 | 3 | 23.0 | 88 | 3.0 | L 818 | <5 | 150 | 9 | 18.0 | 76 | 3.0 |
| L 606 | <5 | 5 | 13 | 22.0 | 102 | 2.6 | L 819 | <5 | 2 | 5 | 27.0 | 108 | 3.4 |
| L 607 | 5 | 6 | 23 | 24.0 | 92 | 3.0 | L 820 | <5 | 2 | 8 | 23.0 | 64 | 2.8 |
| L 608 | 10 | 3 | 12 | 10.0 | 14 | 2.0 | L 901 | <5 | 2 | 6 | 26.0 | 102 | 3.2 |
| L 609 | 20 | 26 | 90 | 21.0 | 92 | 3.2 | L 902 | <5 | 2 | 7 | 25.0 | 98 | 3.8 |
| L 610 | <5 | 4 | 21 | 19.0 | 110 | 2.8 | L 903 | <5 | 2 | 4 | 28.0 | 96 | 3.6 |
| L 611 | <5 | 3 | 11 | 25.0 | 80 | 2.6 | L 904 | 5 | 3 | 32 | 24.0 | 62 | 3.0 |
| L 612 | <5 | 2 | 7 | 23.0 | 96 | 2.8 | L 905 | <5 | 4 | 11 | 26.0 | 120 | 3.2 |
| L 613 | <5 | 2 | 6 | 24.0 | 114 | 2.6 | L 906 | 5 | 3 | 35 | 28.0 | 102 | 2.2 |
| L 614 | <5 | 4 | 6 | 24.0 | 86 | 3.4 | L 907 | 25 | 41 | 32 | 34.0 | 60 | 5.0 |
| L 615 | <5 | 2 | 6 | 27.0 | 88 | 3.6 | L 908 | <5 | 7 | 24 | 26.0 | 72 | 3.2 |
| L 616 | <5 | 2 | 12 | 23.0 | 118 | 3.4 | L 909 | <5 | 3 | 10 | 24.0 | 106 | 3.6 |
| L 617 | <5 | 2 | 7 | 25.0 | 90 | 3.6 | L 910 | <5 | 2 | 9 | 26.0 | 116 | 3.4 |
| L 618 | <5 | 2 | 12 | 25.0 | 50 | 3.4 | L 911 | <5 | 6 | 14 | 27.0 | 122 | 3.6 |
| L 619 | <5 | 2 | 5 | 26.0 | 68 | 2.6 | L 912 | <5 | 3 | 6 | 26.0 | 42 | 3.2 |
| L 620 | <5 | 2 | 6 | 25.0 | 120 | 3.0 | L 913 | <5 | 4 | 6 | 28.0 | 40 | 3.6 |
| L 701 | <5 | 2 | 7 | 19.0 | 90 | 3.0 | L 914 | <5 | 3 | 7 | 26.0 | 100 | 3.6 |
| L 702 | <5 | 2 | 6 | 22.0 | 116 | 3.2 | L 915 | <5 | 2 | 7 | 21.0 | 76 | 3.2 |
| L 703 | <5 | 3 | 11 | 26.0 | 80 | 3.4 | L 916 | <5 | 5 | 6 | 26.0 | 130 | 3.0 |
| L 704 | <5 | 3 | 4 | 26.0 | 138 | 3.8 | L 917 | <5 | 28 | 14 | 18.0 | 72 | 3.0 |
| L 705 | 5 | 29 | 21 | 23.0 | 82 | 5.8 | L 918 | <5 | 12 | 9 | 18.0 | 74 | 2.6 |
| L 706 | <5 | 6 | 25 | 22.0 | 102 | 3.2 | L 919 | <5 | 4 | 3 | 25.0 | 132 | 3.6 |
| L 707 | 10 | 29 | 28 | 25.0 | 72 | 5.6 | L 920 | <5 | 7 | 8 | 22.0 | 88 | 2.8 |
| L 708 | 20 | 55 | 45 | 21.0 | 102 | 4.4 | L1001 | <5 | 2 | 7 | 23.0 | 94 | 3.4 |
| L 709 | <5 | 11 | 7 | 20.0 | 86 | 2.8 | L1002 | <5 | 2 | 7 | 23.0 | 126 | 2.6 |
| L 710 | <5 | 5 | 23 | 20.0 | 84 | 3.0 | L1003 | <5 | <2 | 6 | 22.0 | 90 | 3.2 |
| L 711 | <5 | 11 | 14 | 19.0 | 56 | 2.8 | L1004 | <5 | 2 | 8 | 25.0 | 76 | 3.6 |
| L 712 | <5 | 2 | 10 | 21.0 | 68 | 3.0 | L1005 | 5 | 8 | 34 | 26.0 | 86 | 3.4 |
| L 713 | <5 | 2 | 4 | 24.0 | 158 | 3.4 | L1006 | 15 | 9 | 21 | 36.0 | 22 | 8.0 |
| L 714 | <5 | 2 | 7 | 24.0 | 80 | 3.2 | L1007 | 20 | 4 | 32 | 19.0 | 58 | 3.0 |
| L 715 | <5 | 7 | 20 | 17.0 | 46 | 3.0 | L1008 | 5 | 3 | 23 | 23.0 | 164 | 3.0 |
| L 716 | <5 | 2 | 9 | 29.0 | 82 | 3.2 | L1009 | <5 | 2 | 3 | 25.0 | 98 | 3.0 |
| L 717 | <5 | 23 | 2 | 22.0 | 102 | 3.0 | L1010 | <5 | 5 | 18 | 24.0 | 120 | 3.2 |
| L 718 | <5 | 2 | 7 | 23.0 | 70 | 3.2 | L1011 | <5 | 3 | 8 | 27.0 | 124 | 3.2 |
| L 719 | <5 | 10 | 8 | 17.0 | 66 | 2.6 | L1012 | <5 | 2 | 7 | 26.0 | 118 | 3.2 |
| L 720 | <5 | 29 | 12 | 16.0 | 64 | 2.8 | L1013 | <5 | 3 | 4 | 24.0 | 50 | 3.6 |
| L 801 | <5 | <2 | 12 | 24.0 | 134 | 3.0 | L1014 | <5 | 5 | 11 | 21.0 | 92 | 3.2 |
| L 802 | <5 | <2 | 11 | 23.0 | 94 | 3.2 | L1015 | <5 | 2 | 3 | 27.0 | 104 | 3.8 |
| L 803 | <5 | 2 | 4 | 25.0 | 62 | 3.6 | L1016 | <5 | 2 | 4 | 23.0 | 100 | 3.4 |
| L 804 | <5 | <2 | 13 | 24.0 | 112 | 3.0 | L1017 | <5 | <2 | 6 | 24.0 | 116 | 3.4 |
| L 805 | <5 | 2 | 11 | 25.0 | 100 | 3.2 | L1018 | <5 | 2 | 2 | 24.0 | 116 | 3.0 |
| L 806 | 20 | 22 | 29 | 32.0 | 130 | 4.2 | L1019 | <5 | 2 | 3 | 19.0 | 92 | 3.2 |
| L 807 | <5 | 3 | 7 | 25.0 | 78 | 3.2 | L1020 | <5 | 2 | 3 | 23.0 | 108 | 3.4 |
| L 808 | 15 | 2 | 32 | 24.0 | 164 | 2.8 | L1101 | <5 | 2 | 3 | 21.0 | 94 | 3.0 |
| L 809 | <5 | 2 | 25 | 25.0 | 136 | 3.0 | L1102 | <5 | 2 | 3 | 22.0 | 92 | 2.6 |
| L 810 | <5 | 2 | 11 | 23.0 | 136 | 3.0 | L1103 | <5 | 2 | 16 | 21.0 | 102 | 3.0 |
| L 811 | <5 | 3 | 7 | 25.0 | 96 | 3.2 | L1104 | 5 | 6 | 16 | 27.0 | 98 | 3.4 |
| L 812 | <5 | 2 | 9 | 24.0 | 20 | 3.0 | L1105 | 15 | 45 | 45 | 28.0 | 76 | 3.4 |
| L 813 | <5 | 2 | 11 | 25.0 | 40 | 3.0 | L1106 | 65 | 24 | 21 | 21.0 | 16 | 3.8 |
| L 814 | 20 | 11 | 14 | 30.0 | 54 | 8.2 | L1107 | 60 | 25 | 20 | 15.0 | 14 | 2.4 |
| L 815 | <5 | 28 | 16 | 18.0 | 62 | 3.0 | L1108 | <5 | 3 | 12 | 24.0 | 90 | 2.8 |
| L 816 | <5 | 2 | 5 | 26.0 | 60 | 3.2 | L1109 | 10 | 2 | 17 | 22.0 | 116 | 2.8 |
| L 817 | <5 | 6 | 8 | 28.0 | 70 | 3.2 | L1110 | <5 | <2 | 8 | 23.0 | 126 | 2.8 |

5. 化学分析結果 (土壤試料 (3))

| Sample No. | Au (ppb) | Sn (ppm) | W (ppm) | Th (ppm) | Ce (ppm) | U (ppm) | Sample No. | Au (ppb) | Sn (ppm) | W (ppm) | Th (ppm) | Ce (ppm) | U (ppm) |
|------------|----------|----------|---------|----------|----------|---------|------------|----------|----------|---------|----------|----------|---------|
| L1111 | <5 | 2 | 11 | 27.0 | 90 | 3.0 | L1402 | <5 | 2 | 5 | 23.0 | 96 | 3.6 |
| L1112 | 5 | 2 | 14 | 18.0 | 64 | 2.8 | L1403 | <5 | 3 | 11 | 26.0 | 74 | 3.4 |
| L1113 | <5 | 2 | 12 | 21.0 | 42 | 3.0 | L1404 | <5 | 7 | 12 | 22.0 | 108 | 3.0 |
| L1114 | <5 | 2 | 7 | 21.0 | 66 | 3.0 | L1405 | 15 | 10 | 45 | 21.0 | 82 | 2.4 |
| L1115 | <5 | <2 | 3 | 24.0 | 112 | 3.2 | L1406 | 25 | 6 | 27 | 43.0 | 40 | 8.0 |
| L1116 | <5 | 3 | 4 | 23.0 | 76 | 3.0 | L1407 | <5 | 2 | 8 | 20.0 | 140 | 3.0 |
| L1117 | <5 | 2 | 4 | 23.0 | 126 | 2.8 | L1408 | <5 | 2 | 3 | 23.0 | 116 | 0.2 |
| L1118 | <5 | 2 | 3 | 23.0 | 94 | 3.2 | L1409 | <5 | 2 | 22 | 23.0 | 86 | 3.2 |
| L1119 | <5 | 2 | 4 | 23.0 | 106 | 3.0 | L1410 | <5 | 2 | 13 | 23.0 | 86 | 3.0 |
| L1120 | <5 | 2 | 9 | 24.0 | 102 | 2.8 | L1411 | <5 | 2 | 6 | 25.0 | 112 | 3.2 |
| L1201 | <5 | 2 | 7 | 18.0 | 86 | 3.0 | L1412 | <5 | 2 | 7 | 26.0 | 68 | 2.6 |
| L1202 | <5 | 2 | 7 | 24.0 | 116 | 3.6 | L1413 | <5 | 2 | 7 | 25.0 | 114 | 3.0 |
| L1203 | <5 | 3 | 8 | 45.0 | 102 | 6.2 | L1414 | <5 | 2 | 3 | 22.0 | 122 | 2.6 |
| L1204 | <5 | 6 | 45 | 28.0 | 98 | 3.4 | L1415 | <5 | 2 | 5 | 25.0 | 110 | 2.6 |
| L1205 | 45 | 46 | 25 | 23.0 | 70 | 2.8 | L1416 | <5 | 2 | 7 | 26.0 | 90 | 3.2 |
| L1206 | 40 | 12 | 20 | 18.0 | 52 | 3.0 | L1417 | <5 | 2 | 6 | 25.0 | 80 | 2.6 |
| L1207 | 30 | 33 | 16 | 13.0 | 12 | 2.6 | L1418 | <5 | 2 | 3 | 24.0 | 102 | 3.0 |
| L1208 | 5 | 2 | 16 | 22.0 | 44 | 2.8 | L1419 | <5 | 2 | 3 | 23.0 | 102 | 3.2 |
| L1209 | <5 | 2 | 8 | 24.0 | 118 | 2.6 | L1420 | <5 | <2 | 4 | 15.0 | 48 | 2.4 |
| L1210 | <5 | 2 | 9 | 22.0 | 130 | 3.2 | L1501 | <5 | 2 | 7 | 26.0 | 96 | 3.4 |
| L1211 | <5 | 4 | 11 | 26.0 | 138 | 3.6 | L1502 | <5 | 2 | 9 | 24.0 | 102 | 4.2 |
| L1212 | <5 | 3 | 7 | 26.0 | 120 | 3.0 | L1503 | <5 | 10 | 9 | 22.0 | 88 | 3.6 |
| L1213 | <5 | 4 | 12 | 24.0 | 122 | 3.6 | L1504 | <5 | 19 | 45 | 24.0 | 84 | 3.6 |
| L1214 | <5 | <2 | 6 | 24.0 | 66 | 2.8 | L1505 | 20 | 13 | 24 | 26.0 | 84 | 3.6 |
| L1215 | <5 | <2 | 3 | 20.0 | 114 | 3.2 | L1506 | 20 | 11 | 35 | 30.0 | 44 | 6.0 |
| L1216 | <5 | 2 | 11 | 25.0 | 86 | 3.6 | L1507 | <5 | 2 | 13 | 21.0 | 92 | 3.0 |
| L1217 | <5 | <2 | 6 | 23.0 | 54 | 3.0 | L1508 | <5 | 2 | 18 | 25.0 | 116 | 4.0 |
| L1218 | <5 | <2 | 5 | 19.0 | 68 | 3.2 | L1509 | <5 | 2 | 12 | 22.0 | 104 | 3.0 |
| L1219 | <5 | <2 | 3 | 22.0 | 102 | 2.4 | L1510 | <5 | 2 | 12 | 22.0 | 46 | 3.0 |
| L1220 | <5 | <2 | 3 | 23.0 | 130 | 3.0 | L1511 | <5 | 2 | 13 | 24.0 | 104 | 3.8 |
| L1301 | <5 | 2 | 4 | 23.0 | 90 | 3.6 | L1512 | <5 | 2 | 11 | 21.0 | 108 | 3.2 |
| L1302 | <5 | 2 | 11 | 23.0 | 106 | 3.4 | L1513 | <5 | 2 | 6 | 22.0 | 84 | 3.0 |
| L1303 | <5 | 4 | 11 | 25.0 | 128 | 3.0 | L1514 | <5 | 2 | 5 | 25.0 | 100 | 3.4 |
| L1304 | <5 | 3 | 3 | 25.0 | 38 | 3.2 | L1515 | <5 | 2 | 3 | 22.0 | 92 | 3.2 |
| L1305 | <5 | 6 | 23 | 25.0 | 62 | 3.4 | L1516 | <5 | 2 | 3 | 26.0 | 110 | 3.6 |
| L1306 | 30 | 12 | 32 | 13.0 | 18 | 3.6 | L1517 | <5 | 2 | 3 | 23.0 | 62 | 3.6 |
| L1307 | 10 | 2 | 24 | 22.0 | 68 | 2.4 | L1518 | <5 | 2 | 3 | 20.0 | 98 | 2.8 |
| L1308 | <5 | 2 | 17 | 23.0 | 96 | 2.6 | L1519 | <5 | 2 | 3 | 24.0 | 104 | 3.8 |
| L1309 | <5 | 2 | 13 | 24.0 | 78 | 3.0 | L1520 | <5 | 2 | 3 | 23.0 | 42 | 3.2 |
| L1310 | <5 | 2 | 21 | 21.0 | 48 | 3.0 | L1601 | <5 | 2 | 8 | 20.0 | 50 | 3.2 |
| L1311 | <5 | 2 | 4 | 21.0 | 88 | 2.8 | L1602 | <5 | 2 | 14 | 27.0 | 94 | 3.8 |
| L1312 | <5 | 2 | 5 | 23.0 | 102 | 2.8 | L1603 | 5 | 5 | 32 | 28.0 | 78 | 3.6 |
| L1313 | <5 | 2 | 7 | 24.0 | 82 | 3.0 | L1604 | <5 | 20 | 35 | 25.0 | 78 | 3.6 |
| L1314 | <5 | 2 | 8 | 24.0 | 136 | 3.0 | L1605 | 5 | 20 | 7 | 29.0 | 94 | 3.2 |
| L1315 | <5 | <2 | 4 | 22.0 | 136 | 3.0 | L1606 | 5 | 5 | 5 | 21.0 | 78 | 3.0 |
| L1316 | <5 | 2 | 4 | 22.0 | 112 | 3.2 | L1607 | <5 | 2 | 5 | 25.0 | 112 | 3.0 |
| L1317 | <5 | 2 | 3 | 22.0 | 92 | 2.8 | L1608 | <5 | <2 | 9 | 19.0 | 96 | 3.0 |
| L1318 | <5 | 2 | 4 | 25.0 | 114 | 3.2 | L1609 | <5 | 2 | 6 | 23.0 | 104 | 3.2 |
| L1319 | <5 | <2 | 6 | 21.0 | 66 | 2.0 | L1610 | <5 | 2 | 9 | 22.0 | 90 | 3.2 |
| L1320 | <5 | <2 | 3 | 20.0 | 102 | 2.6 | L1611 | <5 | 2 | 8 | 22.0 | 112 | 2.8 |
| L1401 | <5 | 2 | 5 | 23.0 | 110 | 3.4 | L1612 | <5 | 2 | 8 | 25.0 | 100 | 3.4 |

5. 化学分析結果 (土壤試料 (4))

| Sample No. | Au (ppb) | Sn (ppm) | W (ppm) | Th (ppm) | Ce (ppm) | U (ppm) | Sample No. | Au (ppb) | Sn (ppm) | W (ppm) | Th (ppm) | Ce (ppm) | U (ppm) |
|------------|----------|----------|---------|----------|----------|---------|------------|----------|----------|---------|----------|----------|---------|
| L1613 | <5 | 2 | 4 | 22.0 | 88 | 3.2 | L1906 | <5 | 5 | 16 | 17.0 | 44 | 2.4 |
| L1614 | <5 | 2 | 3 | 20.0 | 90 | 2.6 | L1907 | <5 | 2 | 6 | 26.0 | 82 | 3.6 |
| L1615 | <5 | 2 | 3 | 24.0 | 112 | 3.2 | L1908 | <5 | 2 | 3 | 21.0 | 92 | 3.2 |
| L1616 | <5 | 2 | 3 | 24.0 | 118 | 3.6 | L1909 | <5 | 2 | 13 | 20.0 | 76 | 3.0 |
| L1617 | <5 | 2 | 3 | 23.0 | 80 | 3.6 | L1910 | <5 | 2 | 12 | 25.0 | 108 | 3.4 |
| L1618 | <5 | 3 | 3 | 20.0 | 74 | 3.4 | L1911 | <5 | <2 | 7 | 21.0 | 126 | 3.0 |
| L1619 | 5 | 2 | 3 | 24.0 | 118 | 3.0 | L1912 | <5 | 2 | 3 | 26.0 | 68 | 3.2 |
| L1620 | <5 | 2 | 3 | 25.0 | 58 | 3.2 | L1913 | <5 | <2 | 4 | 22.0 | 96 | 2.8 |
| L1701 | <5 | <2 | 3 | 25.0 | 82 | 3.2 | L1914 | <5 | 2 | 3 | 24.0 | 110 | 3.0 |
| L1702 | <5 | <2 | 16 | 23.0 | 82 | 3.2 | L1915 | <5 | 2 | 3 | 25.0 | 142 | 3.6 |
| L1703 | 10 | 8 | 18 | 26.0 | 90 | 3.0 | L1916 | <5 | 2 | 3 | 24.0 | 62 | 3.2 |
| L1704 | 5 | 32 | 23 | 69.0 | 46 | 11.2 | L1917 | <5 | 2 | 3 | 23.0 | 60 | 3.4 |
| L1705 | <5 | 2 | 22 | 23.0 | 108 | 2.8 | L1918 | <5 | 2 | 3 | 28.0 | 92 | 3.4 |
| L1706 | <5 | 5 | 22 | 18.0 | 44 | 3.0 | L1919 | <5 | 2 | 3 | 23.0 | 110 | 3.0 |
| L1707 | <5 | 2 | 19 | 23.0 | 92 | 3.2 | L1920 | <5 | 2 | 3 | 14.0 | 32 | 3.2 |
| L1708 | <5 | <2 | 11 | 20.0 | 90 | 3.0 | L2001 | <5 | 2 | 2 | 21.0 | 102 | 2.6 |
| L1709 | <5 | 2 | 6 | 23.0 | 110 | 3.0 | L2002 | <5 | 2 | 4 | 22.0 | 70 | 3.2 |
| L1710 | <5 | 2 | 2 | 23.0 | 98 | 3.2 | L2003 | <5 | 2 | 4 | 16.0 | 76 | 4.6 |
| L1711 | <5 | 2 | 7 | 24.0 | 82 | 3.8 | L2004 | <5 | 21 | 12 | 21.0 | 68 | 3.4 |
| L1712 | <5 | 2 | 4 | 24.0 | 84 | 3.2 | L2005 | <5 | 12 | 12 | 21.0 | 74 | 4.0 |
| L1713 | <5 | <2 | 3 | 21.0 | 76 | 3.0 | L2006 | 10 | 22 | 14 | 18.0 | 74 | 3.2 |
| L1714 | <5 | <2 | 4 | 24.0 | 74 | 3.0 | L2007 | <5 | 3 | 7 | 24.0 | 60 | 3.4 |
| L1715 | <5 | 3 | 5 | 23.0 | 90 | 3.2 | L2008 | <5 | <2 | 3 | 23.0 | 68 | 2.8 |
| L1716 | <5 | <2 | 4 | 20.0 | 96 | 3.0 | L2009 | <5 | 2 | 5 | 23.0 | 100 | 3.2 |
| L1717 | <5 | 2 | 3 | 23.0 | 78 | 4.6 | L2010 | <5 | 2 | 14 | 23.0 | 114 | 3.4 |
| L1718 | <5 | 2 | 3 | 26.0 | 88 | 3.4 | L2011 | <5 | 2 | 6 | 23.0 | 80 | 3.4 |
| L1719 | <5 | 2 | 3 | 23.0 | 100 | 3.4 | L2012 | <5 | 2 | 6 | 19.0 | 30 | 0.2 |
| L1720 | <5 | <2 | 3 | 25.0 | 96 | 3.0 | L2013 | <5 | 2 | 3 | 24.0 | 72 | 3.0 |
| L1801 | <5 | 2 | 14 | 24.0 | 114 | 4.2 | L2014 | <5 | 2 | 4 | 21.0 | 62 | 3.2 |
| L1802 | <5 | 4 | 21 | 25.0 | 62 | 4.2 | L2015 | <5 | 2 | 3 | 22.0 | 90 | 3.2 |
| L1803 | <5 | 10 | 8 | 61.0 | 68 | 13.2 | L2016 | <5 | <2 | 3 | 21.0 | 116 | 3.4 |
| L1804 | <5 | 58 | 25 | 61.0 | 54 | 11.6 | L2017 | <5 | <2 | 3 | 18.0 | 94 | 2.6 |
| L1805 | 5 | 4 | 25 | 23.0 | 114 | 3.4 | L2018 | <5 | <2 | 3 | 23.0 | 102 | 3.0 |
| L1806 | <5 | 4 | 22 | 26.0 | 108 | 3.6 | L2019 | <5 | 2 | 4 | 16.0 | 64 | 3.4 |
| L1807 | <5 | 2 | 7 | 26.0 | 100 | 2.8 | L2020 | <5 | 5 | 4 | 18.0 | 80 | 3.4 |
| L1808 | <5 | 3 | 6 | 27.0 | 86 | 3.0 | L2101 | <5 | 2 | 3 | 23.0 | 100 | 3.2 |
| L1809 | <5 | 2 | 18 | 23.0 | 84 | 0.2 | L2102 | <5 | <2 | 4 | 25.0 | 98 | 3.2 |
| L1810 | <5 | 2 | 11 | 24.0 | 68 | 3.6 | L2103 | <5 | 6 | 5 | 20.0 | 52 | 4.2 |
| L1811 | <5 | 2 | 7 | 24.0 | 74 | 3.4 | L2104 | <5 | 2 | 6 | 23.0 | 66 | 5.0 |
| L1812 | <5 | 2 | 9 | 22.0 | 92 | 3.2 | L2105 | <5 | 11 | 16 | 17.0 | 66 | 3.2 |
| L1813 | <5 | 2 | 6 | 24.0 | 102 | 3.2 | L2106 | <5 | 4 | 14 | 27.0 | 118 | 3.4 |
| L1814 | <5 | 2 | 3 | 23.0 | 98 | 2.6 | L2107 | <5 | 3 | 4 | 24.0 | 60 | 3.6 |
| L1815 | <5 | 2 | 3 | 22.0 | 74 | 3.0 | L2108 | <5 | 2 | 3 | 27.0 | 116 | 3.4 |
| L1816 | <5 | 2 | 3 | 22.0 | 90 | 3.8 | L2109 | <5 | 2 | 4 | 21.0 | 109 | 3.2 |
| L1817 | <5 | <2 | 3 | 23.0 | 102 | 3.0 | L2110 | <5 | 2 | 8 | 24.0 | 106 | 3.2 |
| L1818 | <5 | 2 | 4 | 23.0 | 56 | 3.0 | L2111 | <5 | 2 | 3 | 26.0 | 124 | 3.6 |
| L1819 | <5 | 2 | 4 | 24.0 | 110 | 3.4 | L2112 | <5 | 2 | 3 | 21.0 | 104 | 3.0 |
| L1820 | <5 | 2 | 3 | 23.0 | 82 | 3.4 | L2113 | <5 | 2 | 4 | 26.0 | 110 | 3.4 |
| L1901 | <5 | <2 | 4 | 25.0 | 102 | 3.4 | L2114 | <5 | 2 | 3 | 22.0 | 40 | 3.2 |
| L1902 | 35 | 11 | 8 | 19.0 | 70 | 4.8 | L2115 | <5 | 2 | 3 | 19.0 | 116 | 3.0 |
| L1903 | 5 | 72 | 14 | 47.0 | 44 | 12.2 | L2116 | <5 | 2 | 3 | 25.0 | 112 | 3.8 |
| L1904 | 5 | 65 | 17 | 35.0 | 64 | 6.2 | L2117 | <5 | 2 | 4 | 17.0 | 64 | 3.6 |
| L1905 | <5 | 3 | 16 | 21.0 | 78 | 3.2 | L2118 | <5 | 3 | 4 | 17.0 | 76 | 3.8 |

5. 化学分析結果 (土壤試料 (5))

| Sample No. | Au (ppb) | Sn (ppm) | W (ppm) | Th (ppm) | Ce (ppm) | U (ppm) | Sample No. | Au (ppb) | Sn (ppm) | W (ppm) | Th (ppm) | Ce (ppm) | U (ppm) |
|------------|----------|----------|---------|----------|----------|---------|------------|----------|----------|---------|----------|----------|---------|
| L2119 | <5 | 2 | 4 | 21.0 | 72 | 3.2 | L2412 | <5 | 4 | 4 | 18.0 | 34 | 3.8 |
| L2120 | <5 | 2 | 3 | 24.0 | 86 | 3.4 | L2413 | <5 | 2 | 3 | 19.0 | 90 | 3.2 |
| L2201 | <5 | 2 | 3 | 22.0 | 94 | 3.0 | L2414 | <5 | 2 | 2 | 19.0 | 128 | 3.4 |
| L2202 | <5 | 2 | 3 | 24.0 | 86 | 3.4 | L2415 | <5 | 2 | 3 | 20.0 | 140 | 3.0 |
| L2203 | <5 | <2 | 2 | 14.0 | 54 | 2.4 | L2416 | <5 | 2 | 2 | 22.0 | 98 | 4.2 |
| L2204 | <5 | <2 | 3 | 21.0 | 82 | 3.4 | L2417 | <5 | 2 | 3 | 19.0 | 114 | 3.0 |
| L2205 | <5 | 11 | 13 | 14.0 | 56 | 3.2 | L2418 | <5 | 2 | 3 | 27.0 | 104 | 3.4 |
| L2206 | <5 | 4 | 13 | 17.0 | 52 | 3.4 | L2419 | <5 | 2 | 3 | 30.0 | 106 | 3.4 |
| L2207 | <5 | 2 | 7 | 22.0 | 92 | 3.6 | L2420 | <5 | 2 | 3 | 29.0 | 120 | 4.0 |
| L2208 | <5 | 2 | 4 | 17.0 | 58 | 3.0 | L2501 | <5 | 2 | 3 | 27.0 | 94 | 3.4 |
| L2209 | <5 | 2 | 3 | 24.0 | 104 | 3.6 | L2502 | <5 | 2 | 3 | 27.0 | 106 | 3.4 |
| L2210 | <5 | 2 | 4 | 26.0 | 86 | 3.4 | L2503 | <5 | 2 | 3 | 29.0 | 104 | 4.0 |
| L2211 | <5 | <2 | 4 | 24.0 | 102 | 3.2 | L2504 | <5 | <2 | 3 | 29.0 | 100 | 2.8 |
| L2212 | <5 | 2 | 4 | 24.0 | 98 | 3.4 | L2505 | <5 | <2 | 4 | 23.0 | 84 | 2.8 |
| L2213 | <5 | 2 | 3 | 25.0 | 108 | 3.2 | L2506 | <5 | <2 | 4 | 26.0 | 108 | 3.6 |
| L2214 | <5 | 2 | 3 | 24.0 | 82 | 3.2 | L2507 | <5 | <2 | 4 | 23.0 | 114 | 3.2 |
| L2215 | <5 | 2 | 2 | 25.0 | 128 | 3.6 | L2508 | <5 | 2 | 5 | 28.0 | 70 | 4.0 |
| L2216 | <5 | 2 | 3 | 21.0 | 68 | 3.0 | L2509 | 10 | 8 | 8 | 32.0 | 88 | 5.0 |
| L2217 | <5 | 7 | 4 | 23.0 | 30 | 3.6 | L2510 | 10 | 60 | 40 | 40.0 | 96 | 6.6 |
| L2218 | <5 | 2 | 3 | 26.0 | 66 | 4.4 | L2511 | 5 | 22 | 11 | 23.0 | 36 | 4.2 |
| L2219 | <5 | <2 | 3 | 23.0 | 110 | 3.2 | L2512 | <5 | 38 | 12 | 13.0 | 40 | 3.2 |
| L2220 | <5 | 2 | 3 | 29.0 | 108 | 4.0 | L2513 | <5 | 3 | 3 | 25.0 | 96 | 3.4 |
| L2301 | <5 | <2 | 3 | 6.0 | 105 | 3.4 | L2514 | <5 | 2 | 3 | 20.0 | 84 | 3.6 |
| L2302 | <5 | <2 | 2 | 5.0 | 12 | 3.4 | L2515 | <5 | <2 | 2 | 26.0 | 80 | 3.0 |
| L2303 | <5 | <2 | 3 | 6.0 | 20 | 3.4 | L2516 | <5 | <2 | 2 | 23.0 | 94 | 3.4 |
| L2304 | <5 | 2 | 8 | 7.0 | 18 | 4.4 | L2517 | <5 | <2 | 2 | 24.0 | 96 | 3.6 |
| L2305 | <5 | <2 | 4 | 6.0 | 16 | 3.6 | L2518 | <5 | <2 | 3 | 24.0 | 90 | 3.2 |
| L2306 | <5 | <2 | 35 | 24.0 | 110 | 3.6 | L2519 | <5 | 2 | 3 | 24.0 | 110 | 3.6 |
| L2307 | <5 | 3 | 4 | 16.0 | 52 | 4.0 | L2520 | <5 | 2 | 3 | 24.0 | 118 | 3.2 |
| L2308 | <5 | 2 | 8 | 22.0 | 72 | 4.0 | L2601 | <5 | 2 | 2 | 26.0 | 88 | 3.4 |
| L2309 | <5 | 2 | 6 | 25.0 | 76 | 5.2 | L2602 | <5 | 2 | 3 | 28.0 | 134 | 3.6 |
| L2310 | <5 | 10 | 5 | 19.0 | 64 | 4.6 | L2603 | <5 | 2 | 3 | 27.0 | 130 | 3.4 |
| L2311 | <5 | 2 | 3 | 28.0 | 132 | 3.2 | L2604 | <5 | <2 | 4 | 27.0 | 90 | 3.4 |
| L2312 | <5 | 2 | 3 | 28.0 | 86 | 3.4 | L2605 | <5 | <2 | 4 | 25.0 | 98 | 3.6 |
| L2313 | <5 | 2 | 3 | 26.0 | 108 | 3.0 | L2606 | <5 | 2 | 7 | 27.0 | 82 | 3.6 |
| L2314 | <5 | 2 | 3 | 25.0 | 124 | 3.2 | L2607 | <5 | <2 | 4 | 22.0 | 106 | <0.2 |
| L2315 | <5 | 2 | 3 | 19.0 | 58 | 3.0 | L2608 | <5 | <2 | 4 | 30.0 | 110 | 3.2 |
| L2316 | <5 | 2 | 4 | 20.0 | 82 | 3.4 | L2609 | <5 | <2 | 3 | 14.0 | 70 | 2.6 |
| L2317 | 10 | 2 | 3 | 26.0 | 46 | 3.6 | L2610 | <5 | 28 | 7 | 68.0 | 118 | 17.6 |
| L2318 | <5 | <2 | 3 | 24.0 | 40 | 3.8 | L2611 | <5 | 2 | 3 | 20.0 | 82 | 3.4 |
| L2319 | <5 | 2 | 3 | 25.0 | 92 | 3.4 | L2612 | <5 | 6 | 24 | 22.0 | 44 | 5.0 |
| L2320 | <5 | <2 | 2 | 20.0 | 82 | 3.2 | L2613 | 45 | 3 | 4 | 18.0 | 66 | 4.0 |
| L2401 | <5 | <2 | 3 | 14.0 | 52 | 2.4 | L2614 | <5 | 2 | 6 | 26.0 | 90 | 4.6 |
| L2402 | <5 | 2 | 3 | 28.0 | 112 | 1.8 | L2615 | <5 | <2 | 3 | 24.0 | 108 | 3.0 |
| L2403 | <5 | <2 | 3 | 23.0 | 114 | 3.0 | L2616 | <5 | 2 | 2 | 30.0 | 118 | 4.0 |
| L2404 | <5 | <2 | 4 | 23.0 | 80 | 3.0 | L2617 | 10 | 2 | 3 | 26.0 | 116 | 4.2 |
| L2405 | <5 | 2 | 4 | 25.0 | 72 | 3.6 | L2618 | <5 | 3 | 3 | 25.0 | 104 | 3.6 |
| L2406 | <5 | <2 | 4 | 24.0 | 94 | 3.6 | L2619 | <5 | 2 | 3 | 25.0 | 100 | 3.6 |
| L2407 | <5 | <2 | 4 | 26.0 | 86 | 3.8 | L2620 | <5 | 2 | 3 | 26.0 | 100 | 3.0 |
| L2408 | <5 | 2 | 6 | 19.0 | 80 | 3.4 | L2701 | <5 | 2 | 3 | 26.0 | 80 | 3.4 |
| L2409 | <5 | 10 | 28 | 21.0 | 110 | 6.2 | L2702 | <5 | <2 | 3 | 26.0 | 106 | 3.6 |
| L2410 | <5 | 9 | 9 | 23.0 | 60 | 8.0 | L2703 | <5 | <2 | 2 | 28.0 | 90 | 3.6 |
| L2411 | <5 | 2 | 3 | 21.0 | 126 | 4.0 | L2704 | <5 | <2 | 3 | 26.0 | 94 | 3.6 |

5. 化学分析結果 (土壤試料 (6))

| Sample No. | Au (ppb) | Sn (ppm) | W (ppm) | Th (ppm) | Ce (ppm) | U (ppm) | Sample No. | Au (ppb) | Sn (ppm) | W (ppm) | Th (ppm) | Ce (ppm) | U (ppm) |
|------------|----------|----------|---------|----------|----------|---------|------------|----------|----------|---------|----------|----------|---------|
| L2705 | <5 | <2 | 3 | 22.0 | 74 | 3.4 | L2916 | <5 | <2 | 6 | 20.0 | 96 | 3.4 |
| L2706 | <5 | <2 | 3 | 28.0 | 128 | 3.4 | L2917 | <5 | 2 | <2 | 21.0 | 90 | 3.4 |
| L2707 | <5 | <2 | 4 | 21.0 | 70 | 3.0 | L2918 | <5 | <2 | 3 | 25.0 | 78 | 3.4 |
| L2708 | <5 | 3 | 7 | 27.0 | 88 | 3.6 | L2919 | <5 | <2 | 3 | 24.0 | 120 | 3.6 |
| L2709 | <5 | 4 | 10 | 35.0 | 120 | 5.0 | L2920 | <5 | 2 | 3 | 25.0 | 66 | 3.2 |
| L2710 | <5 | 12 | 32 | 30.0 | 106 | 4.4 | L3001 | <5 | <2 | 3 | 17.0 | 24 | 2.8 |
| L2711 | <5 | 7 | 23 | 29.0 | 32 | 3.4 | L3002 | <5 | <2 | 3 | 23.0 | 80 | 3.6 |
| L2712 | <5 | 16 | 16 | 19.0 | 34 | 3.0 | L3003 | <5 | <2 | 4 | 18.0 | 22 | 3.4 |
| L2713 | <5 | <2 | 2 | 11.0 | 46 | 2.0 | L3004 | <5 | <2 | 3 | 26.0 | 114 | 2.8 |
| L2714 | <5 | 5 | 6 | 16.0 | 74 | 3.2 | L3005 | <5 | 2 | 3 | 25.0 | 124 | 3.4 |
| L2715 | <5 | 2 | 3 | 24.0 | 120 | 3.2 | L3006 | <5 | <2 | 3 | 26.0 | 92 | 3.2 |
| L2716 | <5 | 2 | 3 | 21.0 | 94 | 3.0 | L3007 | <5 | <2 | 3 | 25.0 | 100 | 3.6 |
| L2717 | <5 | 2 | <2 | 25.0 | 82 | 3.4 | L3008 | <5 | <2 | 3 | 19.0 | 90 | 2.8 |
| L2718 | <5 | 2 | 5 | 28.0 | 56 | 3.6 | L3009 | <5 | <2 | 3 | 16.0 | 54 | 3.4 |
| L2719 | <5 | 2 | 3 | 29.0 | 140 | 4.6 | L3010 | <5 | 7 | 12 | 29.0 | 70 | 3.6 |
| L2720 | <5 | 2 | 4 | 29.0 | 60 | 3.6 | L3011 | <5 | 3 | 11 | 23.0 | 106 | 3.4 |
| L2801 | <5 | 2 | <2 | 22.0 | 100 | 3.4 | L3012 | <5 | 2 | 4 | 25.0 | 90 | 3.4 |
| L2802 | <5 | <2 | <2 | 23.0 | 64 | 3.6 | L3013 | <5 | 2 | 3 | 24.0 | 102 | 3.6 |
| L2803 | <5 | <2 | 3 | 24.0 | 142 | 3.4 | L3014 | <5 | 7 | 5 | 19.0 | 94 | 5.8 |
| L2804 | <5 | <2 | 2 | 19.0 | 80 | 2.8 | L3015 | <5 | 4 | 26 | 24.0 | 58 | 5.4 |
| L2805 | <5 | <2 | 3 | 18.0 | 60 | 3.0 | L3016 | <5 | 8 | 16 | 27.0 | 66 | 3.2 |
| L2806 | <5 | <2 | 2 | 27.0 | 98 | 3.6 | L3017 | <5 | <2 | 2 | 21.0 | 100 | 3.4 |
| L2807 | <5 | <2 | 3 | 19.0 | 38 | 3.2 | L3018 | <5 | <2 | 2 | 25.0 | 90 | 3.8 |
| L2808 | <5 | 4 | 4 | 28.0 | 88 | 3.6 | L3019 | <5 | <2 | 3 | 25.0 | 94 | 3.8 |
| L2809 | <5 | 15 | 12 | 37.0 | 72 | 7.4 | L3020 | <5 | <2 | 3 | 25.0 | 50 | 3.4 |
| L2810 | <5 | 13 | 27 | 31.0 | 94 | 3.4 | | | | | | | |
| L2811 | <5 | 3 | 14 | 29.0 | 138 | 3.2 | | | | | | | |
| L2812 | <5 | 41 | 12 | 24.0 | 38 | 3.0 | | | | | | | |
| L2813 | 10 | 2 | 3 | 13.0 | 56 | 2.6 | | | | | | | |
| L2814 | <5 | 8 | 17 | 18.0 | 44 | 4.2 | | | | | | | |
| L2815 | <5 | 5 | 20 | 25.0 | 90 | 3.4 | | | | | | | |
| L2816 | <5 | 3 | 3 | 24.0 | 108 | 3.4 | | | | | | | |
| L2817 | <5 | 2 | 4 | 23.0 | 100 | 3.2 | | | | | | | |
| L2818 | <5 | 2 | 8 | 26.0 | 78 | 3.8 | | | | | | | |
| L2819 | <5 | 2 | 7 | 22.0 | 92 | 1.6 | | | | | | | |
| L2820 | <5 | <2 | 3 | 25.0 | 126 | 3.0 | | | | | | | |
| L2901 | <5 | 2 | 3 | 23.0 | 68 | 3.8 | | | | | | | |
| L2902 | <5 | <2 | 3 | 20.0 | 56 | 3.2 | | | | | | | |
| L2903 | 10 | <2 | 3 | 28.0 | 98 | 4.0 | | | | | | | |
| L2904 | 5 | <2 | 3 | 23.0 | 80 | 3.4 | | | | | | | |
| L2905 | <5 | <2 | 2 | 20.0 | 74 | 3.2 | | | | | | | |
| L2906 | <5 | <2 | 3 | 24.0 | 124 | 4.2 | | | | | | | |
| L2907 | <5 | <2 | 2 | 26.0 | 88 | 3.4 | | | | | | | |
| L2908 | <5 | 6 | 8 | 26.0 | 78 | 4.0 | | | | | | | |
| L2909 | <5 | 20 | 21 | 30.0 | 94 | 7.0 | | | | | | | |
| L2910 | <5 | 8 | 18 | 33.0 | 84 | 3.8 | | | | | | | |
| L2911 | <5 | 2 | 11 | 26.0 | 74 | 4.0 | | | | | | | |
| L2912 | <5 | <2 | 3 | 17.0 | 48 | 3.0 | | | | | | | |
| L2913 | <5 | <2 | 4 | 23.0 | 136 | 3.4 | | | | | | | |
| L2914 | <5 | 7 | 22 | 15.0 | 46 | 3.4 | | | | | | | |
| L2915 | <5 | 3 | 12 | 15.0 | 40 | 3.6 | | | | | | | |

6. ボーリング柱状図

Abbreviation

[Alteration]

Fe: Colour of Feldspar Phenocryst
Mu: Muscovite
To: Tourmalinization
Si: Silicification
Ar: Argillization

[Minerals]

As: Arsenopyrite
Cal: Calcite
Cas: Cassiterite
Fe: Potassium Feldspar
Fl: Fluorite
limo: Limonite
Mu: Muscovite
Py: Pyrite
Qtz: Quartz
To: Tourmaline

[Mineralization]

Su: Sulfide Dissemination
Qs: Quartz-Sulfide Veinlet
Qt: Quartz-Tourmaline Veinlet
L: Limonite Veinlet
QC: Quartz-Calcite
QE: Quartz-Calcite Veinlet
QF: Quartz-Potassium Feldspar Veinlet
QL: Quartz-Limonite Veinlet
QM: Quartz-Muscovite Veinlet

[Others]

wd: width
dissemi: dissemination
gy: grey
Si: silicified
wall: wall rock

[Note]

Chemical assay values are expressed in following units.

Au--ppb, Sn--ppm, W--ppm, Th--ppm, Ce--ppm, U--ppm

| Depth (m) | Core Log | Lithology | Alteration | | | | | | | Mineralization | | | | RQD % | Chemical Analysis | | | | | | | |
|-----------|----------|---------------------|------------|----|----|----|----|----|----|----------------|-------------|----|----|-------|-------------------|----|----|----|----|-----|------|------|
| | | | Fe | Mu | To | Sl | Ar | Su | Qs | Qt | Description | Au | Sn | | W | Th | Ce | U | | | | |
| | + | Leucocratic granite | Pl. br. | | | | | | | | | | | | | <5 | 2 | 3 | 37 | 80 | 15.0 | |
| | + | | | | | | | | | | | | | | | | <5 | <2 | 4 | 39 | 66 | 15.0 |
| | + | | | | | | | | | | | | | | | | <5 | <2 | <2 | 44 | 82 | 12.8 |
| | + | | | | | | | | | | | | | | | | 35 | 2 | 7 | 37 | 64 | 16.4 |
| | + | | | | | | | | | | | | | | | | 15 | 2 | 4 | 35 | 40 | 13.0 |
| | + | | | | | | | | | | | | | | | | 15 | 2 | <2 | 37 | 50 | 14.6 |
| | + | | | | | | | | | | | | | | | | <5 | 2 | 3 | 39 | 58 | 17.2 |
| | + | | | | | | | | | | | | | | | | <5 | 3 | 3 | 36 | 42 | 16.6 |
| | + | | | | | | | | | | | | | | | | <5 | <2 | 3 | 34 | 68 | 16.0 |
| | + | | | | | | | | | | | | | | | | <5 | 2 | 7 | 38 | 66 | 13.0 |
| | + | | | | | | | | | | | | | | | | <5 | <2 | 3 | 35 | 40 | 12.2 |
| | + | | | | | | | | | | | | | | | | <5 | <2 | 5 | 36 | 46 | 20.2 |
| | + | | | | | | | | | | | | | | | | <5 | <2 | 7 | 46 | 62 | 16.2 |
| | + | | | | | | | | | | | | | | | | <5 | <2 | 4 | 43 | 64 | 16.0 |
| | + | | | | | | | | | | | | | | | | <5 | <2 | 4 | 43 | 60 | 13.4 |
| | + | | | | | | | | | | | | | | | | 30 | <2 | 4 | 42 | 54 | 14.4 |
| | + | | | | | | | | | | | | | | | | 15 | <2 | 3 | 44 | 66 | 15.4 |
| | + | | | | | | | | | | | | | | | | <5 | <2 | 3 | 39 | 52 | 13.8 |
| | + | | | | | | | | | | | | | | | | <5 | <2 | 3 | 44 | 60 | 13.4 |
| | + | | | | | | | | | | | | | | | | 15 | <2 | 2 | 44 | 54 | 15.0 |
| | + | | | | | | | | | | | | | | | <5 | <2 | <2 | 42 | 52 | 16.8 | |
| | + | | | | | | | | | | | | | | | <5 | <2 | 3 | 40 | 60 | 14.4 | |
| 82.8 | | Siltstone | | | | | | | | | | | | | | <5 | <2 | 35 | 21 | 116 | 3.6 | |
| | | | | | | | | | | | | | | | | <5 | <2 | 23 | 20 | 122 | 4.0 | |
| | | | | | | | | | | | | | | | | <5 | 2 | 17 | 20 | 104 | 4.0 | |
| 87.2 | + | Leucocratic granite | Cm | | | | | | | | | | | | | <5 | 2 | 22 | 24 | 94 | 7.2 | |
| 88.3 | + | | | | | | | | | | | | | | | | <5 | 6 | 12 | 18 | 100 | 3.0 |
| | | | | | | | | | | | | | | | | | <5 | <2 | 9 | 18 | 90 | 4.6 |
| | | | | | | | | | | | | | | | | | <5 | 3 | 13 | 18 | 102 | 3.2 |
| | | | | | | | | | | | | | | | | | <5 | <2 | 6 | 18 | 100 | 3.0 |
| | | | | | | | | | | | | | | | | | <5 | 2 | 7 | 18 | 104 | 3.0 |
| | | | | | | | | | | | | | | | | | <5 | 3 | 7 | 18 | 108 | 4.0 |
| 97.6 | + | | | | | | | | | | | | | | | | <5 | 2 | 4 | 28 | 60 | 11.8 |
| 98.8 | + | | | | | | | | | | | | | | | | <5 | 2 | 8 | 33 | 80 | 11.6 |
| 100 | + | | | | | | | | | | | | | | | | <5 | 2 | 8 | 33 | 80 | 11.6 |
| 101 | + | | | | | | | | | | | | | | | <5 | 2 | 8 | 33 | 80 | 11.6 | |

63,2
Qtz-To-Py vein
wd 1 cm

99,9
100,3
100,6

Drilling hole No. MJIT - 2

Latitude S 0° 49' 26"

Longitude E 102° 20' 28"

Elevation 102 m

| Depth (m) | Core Log. | Lithology | Alteration | | | | | Mineralization | | | RQD % | Chemical Analysis | | | | | | | |
|-----------|-----------|---------------------|------------|-----------------|----|----|----|----------------|----|----|-------|-------------------|----|-----|-----|----|-----|------|------|
| | | | Fe | Mu | To | Si | Ar | Su | Os | Qt | | Description | Au | Sn | W | Th | Ce | U | |
| -10 | + | Leucocratic granite | | | | | | | | | | | <5 | 3 | <2 | 57 | 124 | 8.0 | |
| | + | | | | | | | | | | | | <5 | <2 | 3 | 54 | 196 | 8.4 | |
| | + | | | | | | | | | | | | <5 | 2 | 3 | 61 | 108 | 7.8 | |
| | + | | | | | | | | | | | | <5 | 13 | 4 | 46 | 186 | 8.0 | |
| | + | | | Pale brown | | | | | | | | | | <5 | 21 | 8 | 52 | 98 | 7.8 |
| | + | | | | | | | | | | | | | <5 | 14 | 4 | 55 | 74 | 8.6 |
| | + | | | White | | | | | | | | | | <5 | 80 | 7 | 68 | 112 | 10.4 |
| | + | | | | | | | | | | | | | <5 | 18 | 4 | 60 | 82 | 10.6 |
| | + | | | | | | | | | | | | | <5 | 7 | 9 | 55 | 92 | 11.4 |
| | 15,1 | | + | Siltstone (arg) | | | | | | | | | | | <5 | 3 | 5 | 59 | 120 |
| 15,6 | + | Wh | | | | | | | | | | | <5 | 3 | 3 | 36 | 14 | 13.4 | |
| 16,1 | + | | | | | | | | | | | | <5 | 4 | 3 | 30 | 20 | 9.2 | |
| 17,0 | + | | | | | | | | | | | | <5 | 6 | 3 | 41 | 38 | 16.0 | |
| -20 | + | | Wh | | | | | | | | | | 20 | 43 | 3 | 36 | 30 | 30.8 | |
| | + | | Wh. gy | | | | | | | | | | <5 | 3 | 7 | 36 | 44 | 10.8 | |
| | + | | | | | | | | | | | | <5 | 6 | 7 | 46 | 94 | 30.4 | |
| | 26,0 | + | Siltstone | | | | | | | | | | | <5 | 9 | 4 | 37 | 48 | 35.0 |
| | 26,6 | + | | Wh | | | | | | | | | | <5 | 720 | 21 | 19 | 56 | 7.6 |
| 27,4 | + | | | | | | | | | | | | 10 | 7 | 4 | 33 | 62 | 11.4 | |
| 28,2 | + | Leucocratic granite | White | | | | | | | | | | 10 | 5 | 3 | 36 | 68 | 10.8 | |
| + | | | | | | | | | | | | | 5 | 390 | 4 | 43 | 80 | 11.6 | |
| + | | | | | | | | | | | | | 15 | 14 | 3 | 36 | 90 | 10.8 | |
| + | | | | | | | | | | | | | 40 | 4 | 3 | 41 | 78 | 13.8 | |
| + | | | | | | | | | | | | | <5 | 7 | 3 | 37 | 66 | 12.2 | |
| + | | | | | | | | | | | | | 10 | 4 | 3 | 41 | 64 | 13.4 | |
| + | | | | | | | | | | | | | 10 | 2 | 3 | 46 | 76 | 18.0 | |
| + | | | | | | | | | | | | | <5 | 22 | 3 | 33 | 60 | 15.4 | |
| + | | | | | | | | | | | | | <5 | 7 | 3 | 32 | 74 | 12.4 | |
| + | | | | | | | | | | | | | <5 | 170 | 4 | 38 | 84 | 12.8 | |
| -40 | + | | | | | | | | | | | | 10 | 900 | 3 | 33 | 60 | 12.4 | |
| | + | | | | | | | | | | | | 5 | 39 | 4 | 36 | 66 | 14.4 | |
| | + | | | | | | | | | | | | <5 | 7 | 4 | 40 | 36 | 12.8 | |
| | + | | | | | | | | | | | | | | | | | | |
| 50 | + | | | | | | | | | | | | | | | | | | |

45,8
To (Qtz) vein

To vein
49,8 wd lcm, 80°

Drilling hole No. MJIT - 3

Latitude S 0° 48' 37"

Longitude E 102° 19' 44"

Elevation 167 m

| Depth (m) | Core Log | Lithology | Alteration | | | | | Mineralization | | | | | RQD % 0-100 | Chemical Analysis | | | | | |
|-----------|----------|---------------------|---------------------|----|----|----|----|----------------|----|----|-------------|----|----------------|-------------------|-----|----|----|------|------|
| | | | Fe | Mu | To | Si | Ar | Su | Qs | Qt | Description | Au | | Sn | W | Th | Ce | U | |
| 7.7 | + | Leucocratic granite | White, Cream, Brown | | | | | | | | | | <5 | 25 | 3 | 23 | 34 | 12.6 | |
| | + | | | | | | | | | | | | | <5 | 41 | 4 | 21 | 26 | 9.8 |
| | + | | | | | | | | | | | | | <5 | 160 | 25 | 3 | 2 | 2.8 |
| | + | | | | | | | | | | | | | <5 | 17 | 6 | 22 | 12 | 13.4 |
| | + | | | | | | | | | | | | | <5 | 23 | 6 | 24 | 2 | 14.2 |
| | + | | | | | | | | | | | | | <5 | 170 | 17 | 25 | 80 | 17.0 |
| | + | Pebbly siltstone | | | | | | | | | | | | <5 | 10 | 32 | 17 | 66 | 5.8 |
| | + | | | | | | | | | | | | | <5 | 4 | 21 | 17 | 70 | 4.0 |
| | + | | | | | | | | | | | | | <5 | 4 | 8 | 15 | 52 | 7.0 |
| | + | | | | | | | | | | | | | <5 | <2 | 4 | 10 | <2 | 9.2 |
| 12.7 | | Leucocratic granite | Cr Pl. Br. | | | | | | | | | | | | | | | | |
| | + | | | | | | | | | | | | | <5 | 18 | 16 | 9 | 34 | 17.0 |
| | + | | | | | | | | | | | | | <5 | 4 | 32 | 14 | 34 | 9.8 |
| | + | | | | | | | | | | | | | <5 | 3 | 17 | 11 | 44 | 10.0 |
| | + | | | | | | | | | | | | | <5 | 2 | 12 | 17 | 60 | 5.2 |
| 17.2 | | Shale | Cr | | | | | | | | | | | | | | | | |
| | + | | | | | | | | | | | | | <5 | 3 | 16 | 16 | 78 | 10.8 |
| 20 | | | | | | | | | | | | | | | | | | | |
| | + | | Wh | | | | | | | | | | | | | | | | |
| | + | | | | | | | | | | | | | <5 | 29 | 6 | 23 | 8 | 17.0 |
| 24.4 | | | | | | | | | | | | | | | | | | | |
| | + | | | | | | | | | | | | | <5 | 10 | 18 | 16 | 52 | 9.4 |
| 26.7 | | Siltstone | | | | | | | | | | | | <5 | 2 | 23 | 12 | 40 | 10.2 |
| | + | | | | | | | | | | | | | <5 | 3 | 17 | 20 | 56 | 6.6 |
| | + | | | | | | | | | | | | | <5 | 3 | 8 | 20 | 64 | 7.2 |
| | + | | | | | | | | | | | | | <5 | 27 | 13 | 16 | 52 | 9.4 |
| | + | | | | | | | | | | | | | <5 | 740 | 11 | 16 | 30 | 11.4 |
| | + | | | | | | | | | | | | | <5 | 63 | 16 | 20 | 20 | 12.2 |
| | + | | | | | | | | | | | | | <5 | 26 | 25 | 18 | 42 | 6.2 |
| | + | | | | | | | | | | | | | <5 | 6 | 14 | 16 | 26 | 8.8 |
| 40 | | | | | | | | | | | | | | | | | | | |
| 40.8 | | | | | | | | | | | | | | | | | | | |
| | + | Leucocratic granite | Cream Palegreen | | | | | | | | | | | 30 | 13 | 3 | 20 | 4 | 20.4 |
| | + | | | | | | | | | | | | | 15 | 86 | 2 | 21 | 4 | 23.0 |
| | + | | | | | | | | | | | | | 5 | 6 | <2 | 27 | <2 | 27.8 |
| | + | | | | | | | | | | | | | 10 | 5 | 4 | 17 | 2 | 19.4 |
| | + | | | | | | | | | | | | | 30 | 12 | 3 | 14 | 2 | 15.2 |
| | + | | | | | | | | | | | | | 20 | 3 | 3 | 16 | <2 | 18.6 |

Drilling hole No. MJIT - 4

Latitude $50^{\circ}48'39''$

Longitude $E 102^{\circ}19'41''$

Elevation 155 m

| Depth (m) | Core Log | Lithology | Alteration | | | | | Mineralization | | | RQD % 0-100 | Chemical Analysis | | | | | | | | | |
|-----------|----------|----------------------|------------|----|----|----|----|----------------|----|----|----------------|-------------------|----|----|---|----|----|---|--|--|--|
| | | | Fe | Mu | To | Si | Ar | Su | Qs | Qt | | Description | Au | Sn | W | Th | Ce | U | | | |
| | | Siltstone | | | | | | | | | | | | | | | | | | | |
| 10 | | | | | | | | | | | | | | | | | | | | | |
| 12.6 | ~ | Clay (Fault clay) | | | | | | | | | | | | | | | | | | | |
| | ~ | | | | | | | | | | | | | | | | | | | | |
| | ~ | | | | | | | | | | | | | | | | | | | | |
| 19.4 | ~ | | | | | | | | | | | | | | | | | | | | |
| 20 | | | | | | | | | | | | | | | | | | | | | |
| 30 | | | | | | | | | | | | | | | | | | | | | |
| | | | | | | | | | | | | | | | | | | | | | |
| 40 | | | | | | | | | | | | | | | | | | | | | |
| | | | | | | | | | | | | | | | | | | | | | |
| | | | | | | | | | | | | | | | | | | | | | |
| | | | | | | | | | | | | | | | | | | | | | |
| | | | | | | | | | | | | | | | | | | | | | |
| | | | | | | | | | | | | | | | | | | | | | |
| | | | | | | | | | | | | | | | | | | | | | |
| 50 | | | | | | | | | | | | | | | | | | | | | |

QF

QF

37.6-37.9 Qtz:(Py-Col)
38.6 wd 5cm Qtz
38.8 wd 3cm Qtz-Py

41.3 wd 1cm Qtz
(-Py)TO*

<5 <2 17 15 98 2.2

5 <2 16 19 106 2.2
<5 <2 24 20 108 2.2
<5 3 10 16 56 2.6
<5 5 16 19 76 2.8

7. 化学分析結果 (ボーリング・コア試料(1))

| Sample No. | Drill No. | Depth | | Width (m) | Au (ppb) | Sn (ppm) | W (ppm) | Th (ppm) | Ce (ppm) | U (ppm) |
|------------|-----------|-------|------|--------------|-------------|-------------|------------|-------------|-------------|------------|
| | | (m) | (m) | | | | | | | |
| TB1 | MJIT-1 | 4.7- | 6.0 | 1.3 | <5 | <2 | 4 | 40 | 70 | 15.0 |
| TB2 | MJIT-1 | 6.0- | 7.5 | 1.5 | <5 | 5 | 3 | 43 | 56 | 14.8 |
| TB3 | MJIT-1 | 7.5- | 9.0 | 1.5 | <5 | 4 | 4 | 42 | 76 | 15.2 |
| TB4 | MJIT-1 | 9.0- | 10.5 | 1.5 | <5 | <2 | 4 | 43 | 52 | 16.4 |
| TB5 | MJIT-1 | 10.5- | 12.0 | 1.5 | <5 | <2 | 5 | 46 | 84 | 17.8 |
| TB6 | MJIT-1 | 12.0- | 13.5 | 1.5 | <5 | <2 | 3 | 42 | 84 | 16.0 |
| TB7 | MJIT-1 | 13.5- | 15.0 | 1.5 | <5 | <2 | 7 | 38 | 60 | 14.8 |
| TB8 | MJIT-1 | 15.0- | 16.5 | 1.5 | <5 | <2 | 6 | 45 | 68 | 14.8 |
| TB9 | MJIT-1 | 16.5- | 18.0 | 1.5 | <5 | 36 | 6 | 42 | 72 | 16.0 |
| TB10 | MJIT-1 | 18.0- | 19.5 | 1.5 | 10 | 26 | 8 | 43 | 66 | 17.4 |
| TB11 | MJIT-1 | 19.5- | 21.0 | 1.5 | 30 | <2 | 4 | 45 | 74 | 16.4 |
| TB12 | MJIT-1 | 21.0- | 22.5 | 1.5 | 45 | 2 | 4 | 48 | 52 | 16.8 |
| TB13 | MJIT-1 | 22.5- | 24.0 | 1.5 | 15 | <2 | 4 | 46 | 38 | 16.6 |
| TB14 | MJIT-1 | 24.0- | 25.5 | 1.5 | 10 | 2 | 3 | 44 | 54 | 17.2 |
| TB15 | MJIT-1 | 25.5- | 27.0 | 1.5 | 5 | 2 | 4 | 41 | 48 | 18.0 |
| TB16 | MJIT-1 | 27.0- | 28.5 | 1.5 | <5 | <2 | 4 | 42 | 50 | 14.8 |
| TB17 | MJIT-1 | 28.5- | 30.0 | 1.5 | <5 | <2 | 4 | 44 | 62 | 14.8 |
| TB18 | MJIT-1 | 30.0- | 31.5 | 1.5 | 10 | 2 | 3 | 40 | 58 | 16.4 |
| TB19 | MJIT-1 | 31.5- | 33.0 | 1.5 | 30 | <2 | 4 | 45 | 80 | 16.8 |
| TB20 | MJIT-1 | 33.0- | 34.5 | 1.5 | 45 | <2 | 4 | 44 | 72 | 15.8 |
| TB21 | MJIT-1 | 34.5- | 36.0 | 1.5 | 5 | 20 | 3 | 24 | 32 | 10.0 |
| TB22 | MJIT-1 | 36.0- | 37.5 | 1.5 | 35 | 2 | 4 | 39 | 50 | 18.2 |
| TB23 | MJIT-1 | 37.5- | 39.0 | 1.5 | 20 | <2 | 3 | 42 | 62 | 22.0 |
| TB24 | MJIT-1 | 39.0- | 40.5 | 1.5 | 20 | 3 | 4 | 41 | 62 | 14.8 |
| TB25 | MJIT-1 | 40.5- | 42.0 | 1.5 | 5 | 2 | 7 | 37 | 86 | 17.6 |
| TB26 | MJIT-1 | 42.0- | 43.5 | 1.5 | <5 | 2 | 3 | 47 | 66 | 17.4 |
| TB27 | MJIT-1 | 43.5- | 45.0 | 1.5 | 5 | <2 | 3 | 51 | 78 | 17.2 |
| TB28 | MJIT-1 | 45.0- | 46.5 | 1.5 | 10 | 3 | 3 | 38 | 64 | 15.0 |
| TB29 | MJIT-1 | 46.5- | 48.0 | 1.5 | <5 | <2 | 4 | 37 | 78 | 17.2 |
| TB30 | MJIT-1 | 48.0- | 49.5 | 1.5 | <5 | <2 | 3 | 39 | 80 | 20.8 |
| TB31 | MJIT-1 | 49.5- | 51.0 | 1.5 | <5 | 2 | 3 | 37 | 80 | 15.0 |
| TB32 | MJIT-1 | 51.0- | 52.5 | 1.5 | <5 | <2 | 4 | 39 | 66 | 15.0 |
| TB33 | MJIT-1 | 52.5- | 54.0 | 1.5 | <5 | <2 | <2 | 44 | 82 | 12.8 |
| TB34 | MJIT-1 | 54.0- | 55.5 | 1.5 | 35 | 2 | 7 | 37 | 64 | 16.4 |
| TB35 | MJIT-1 | 55.5- | 57.0 | 1.5 | 15 | 2 | 4 | 35 | 40 | 13.0 |
| TB36 | MJIT-1 | 57.0- | 58.5 | 1.5 | 15 | 2 | <2 | 37 | 50 | 14.6 |
| TB37 | MJIT-1 | 58.5- | 60.0 | 1.5 | <5 | 2 | 3 | 39 | 58 | 17.2 |
| TB38 | MJIT-1 | 60.0- | 61.5 | 1.5 | <5 | 3 | 3 | 36 | 42 | 16.6 |
| TB39 | MJIT-1 | 61.5- | 63.0 | 1.5 | <5 | <2 | 3 | 34 | 68 | 16.0 |
| TB40 | MJIT-1 | 63.0- | 64.5 | 1.5 | <5 | 2 | 7 | 38 | 66 | 13.0 |
| TB41 | MJIT-1 | 64.5- | 66.0 | 1.5 | <5 | <2 | 3 | 35 | 40 | 12.2 |
| TB42 | MJIT-1 | 66.0- | 67.5 | 1.5 | <5 | <2 | 5 | 36 | 46 | 20.2 |
| TB43 | MJIT-1 | 67.5- | 69.0 | 1.5 | <5 | <2 | 7 | 46 | 62 | 16.2 |
| TB44 | MJIT-1 | 69.0- | 70.5 | 1.5 | <5 | <2 | 4 | 43 | 64 | 16.0 |
| TB45 | MJIT-1 | 70.5- | 72.0 | 1.5 | <5 | <2 | 4 | 43 | 60 | 13.4 |
| TB46 | MJIT-1 | 72.0- | 73.5 | 1.5 | 30 | <2 | 4 | 42 | 54 | 14.4 |
| TB47 | MJIT-1 | 73.5- | 75.0 | 1.5 | 15 | <2 | 3 | 44 | 66 | 15.4 |
| TB48 | MJIT-1 | 75.0- | 76.5 | 1.5 | <5 | <2 | 3 | 39 | 52 | 13.8 |
| TB49 | MJIT-1 | 76.5- | 78.0 | 1.5 | <5 | <2 | 3 | 44 | 60 | 13.4 |
| TB50 | MJIT-1 | 78.0- | 79.5 | 1.5 | 15 | <2 | 2 | 44 | 54 | 15.0 |
| TB51 | MJIT-1 | 79.5- | 81.0 | 1.5 | <5 | <2 | <2 | 42 | 52 | 16.8 |
| TB52 | MJIT-1 | 81.0- | 82.5 | 1.5 | <5 | <2 | 3 | 40 | 60 | 14.4 |
| TB53 | MJIT-1 | 82.5- | 84.0 | 1.5 | <5 | <2 | 35 | 21 | 116 | 3.6 |
| TB54 | MJIT-1 | 84.0- | 85.5 | 1.5 | <5 | <2 | 23 | 20 | 122 | 4.0 |

7. 化学分析結果 (ボーリング・コア試料(2))

| Sample No. | Drill No. | Depth | | Width (m) | Au (ppb) | Sn (ppm) | W (ppm) | Th (ppm) | Ce (ppm) | U (ppm) |
|------------|-----------|-------|-------|--------------|-------------|-------------|------------|-------------|-------------|------------|
| | | (m) | (m) | | | | | | | |
| TB55 | MJIT-1 | 85.5- | 87.0 | 1.5 | <5 | 2 | 17 | 20 | 104 | 4.0 |
| TB56 | MJIT-1 | 87.0- | 88.5 | 1.5 | <5 | 2 | 22 | 24 | 94 | 7.2 |
| TB57 | MJIT-1 | 88.5- | 90.0 | 1.5 | <5 | 6 | 12 | 18 | 100 | 3.0 |
| TB58 | MJIT-1 | 90.0- | 91.5 | 1.5 | <5 | <2 | 9 | 18 | 90 | 4.6 |
| TB59 | MJIT-1 | 91.5- | 93.0 | 1.5 | <5 | 3 | 13 | 18 | 102 | 3.2 |
| TB60 | MJIT-1 | 93.0- | 94.5 | 1.5 | <5 | <2 | 6 | 18 | 100 | 3.0 |
| TB61 | MJIT-1 | 94.5- | 96.0 | 1.5 | <5 | 2 | 7 | 18 | 104 | 3.0 |
| TB62 | MJIT-1 | 96.0- | 97.5 | 1.5 | <5 | 3 | 7 | 18 | 108 | 4.0 |
| TB63 | MJIT-1 | 97.5- | 99.0 | 1.5 | <5 | 2 | 4 | 28 | 60 | 11.8 |
| TB64 | MJIT-1 | 99.0- | 101.0 | 2.0 | <5 | 2 | 8 | 33 | 80 | 11.6 |
| TB65 | MJIT-2 | 0.0- | 1.5 | 1.5 | <5 | 3 | <2 | 57 | 124 | 8.0 |
| TB66 | MJIT-2 | 1.5- | 3.0 | 1.5 | <5 | <2 | 3 | 54 | 196 | 8.4 |
| TB67 | MJIT-2 | 3.0- | 4.5 | 1.5 | <5 | 2 | 3 | 61 | 108 | 7.8 |
| TB68 | MJIT-2 | 4.5- | 6.0 | 1.5 | <5 | 13 | 4 | 46 | 186 | 8.0 |
| TB69 | MJIT-2 | 7.5- | 9.0 | 1.5 | <5 | 21 | 8 | 52 | 98 | 7.8 |
| TB70 | MJIT-2 | 9.0- | 10.5 | 1.5 | <5 | 14 | 4 | 55 | 74 | 8.6 |
| TB71 | MJIT-2 | 10.5- | 12.0 | 1.5 | <5 | 80 | 7 | 68 | 112 | 10.4 |
| TB72 | MJIT-2 | 12.0- | 13.5 | 1.5 | <5 | 18 | 4 | 60 | 82 | 10.6 |
| TB73 | MJIT-2 | 13.5- | 15.0 | 1.5 | <5 | 7 | 9 | 55 | 92 | 11.4 |
| TB74 | MJIT-2 | 15.0- | 16.5 | 1.5 | <5 | 3 | 5 | 59 | 120 | 10.2 |
| TB75 | MJIT-2 | 16.5- | 18.0 | 1.5 | <5 | 3 | 3 | 36 | 14 | 13.4 |
| TB76 | MJIT-2 | 18.0- | 19.5 | 1.5 | <5 | 4 | 3 | 30 | 20 | 9.2 |
| TB77 | MJIT-2 | 19.5- | 21.0 | 1.5 | <5 | 6 | 3 | 41 | 38 | 16.0 |
| TB78 | MJIT-2 | 21.0- | 22.5 | 1.5 | 20 | 43 | 3 | 36 | 30 | 30.8 |
| TB79 | MJIT-2 | 22.5- | 24.0 | 1.5 | <5 | 3 | 7 | 36 | 44 | 10.8 |
| TB80 | MJIT-2 | 24.0- | 25.5 | 1.5 | <5 | 6 | 7 | 46 | 94 | 30.4 |
| TB81 | MJIT-2 | 25.5- | 27.0 | 1.5 | <5 | 9 | 4 | 37 | 48 | 35.0 |
| TB82 | MJIT-2 | 27.0- | 28.5 | 1.5 | <5 | 720 | 21 | 19 | 56 | 7.6 |
| TB83 | MJIT-2 | 28.5- | 30.0 | 1.5 | 10 | 7 | 4 | 33 | 62 | 11.4 |
| TB84 | MJIT-2 | 30.0- | 31.5 | 1.5 | 10 | 5 | 3 | 36 | 68 | 10.8 |
| TB85 | MJIT-2 | 31.5- | 33.0 | 1.5 | 5 | 390 | 4 | 43 | 80 | 11.6 |
| TB86 | MJIT-2 | 33.0- | 34.5 | 1.5 | 15 | 14 | 3 | 36 | 90 | 10.8 |
| TB87 | MJIT-2 | 34.5- | 36.0 | 1.5 | 40 | 4 | 3 | 41 | 78 | 13.8 |
| TB88 | MJIT-2 | 36.0- | 37.5 | 1.5 | <5 | 7 | 3 | 37 | 66 | 12.2 |
| TB89 | MJIT-2 | 37.5- | 39.0 | 1.5 | 10 | 4 | 3 | 41 | 64 | 13.4 |
| TB90 | MJIT-2 | 39.0- | 40.5 | 1.5 | 10 | 2 | 3 | 46 | 76 | 18.0 |
| TB91 | MJIT-2 | 40.5- | 42.0 | 1.5 | <5 | 22 | 3 | 33 | 60 | 15.4 |
| TB92 | MJIT-2 | 42.0- | 43.5 | 1.5 | <5 | 7 | 3 | 32 | 74 | 12.4 |
| TB93 | MJIT-2 | 43.5- | 45.0 | 1.5 | <5 | 170 | 4 | 38 | 84 | 12.8 |
| TB94 | MJIT-2 | 45.0- | 46.5 | 1.5 | 10 | 900 | 3 | 33 | 60 | 12.4 |
| TB95 | MJIT-2 | 46.5- | 48.0 | 1.5 | 5 | 39 | 4 | 36 | 66 | 14.4 |
| TB96 | MJIT-2 | 48.0- | 49.5 | 1.5 | <5 | 7 | 4 | 40 | 36 | 12.8 |
| TB97 | MJIT-2 | 49.5- | 51.0 | 1.5 | <5 | 370 | 2 | 30 | 50 | 13.4 |
| TB98 | MJIT-2 | 51.0- | 52.5 | 1.5 | <5 | 2400 | 80 | 40 | 44 | 13.2 |
| TB99 | MJIT-2 | 52.5- | 54.0 | 1.5 | <5 | 290 | 6 | 40 | 46 | 14.2 |
| TB100 | MJIT-2 | 54.0- | 55.5 | 1.5 | <5 | 170 | <2 | 47 | 62 | 16.8 |
| TB101 | MJIT-2 | 55.5- | 57.0 | 1.5 | <5 | 2200 | 5 | 53 | 80 | 18.6 |
| TB102 | MJIT-2 | 57.0- | 58.5 | 1.5 | <5 | 43 | 3 | 45 | 50 | 15.0 |
| TB103 | MJIT-2 | 58.5- | 60.0 | 1.5 | <5 | 34 | 3 | 47 | 58 | 15.8 |
| TB104 | MJIT-2 | 60.0- | 61.5 | 1.5 | <5 | 58 | 2 | 39 | 48 | 16.0 |
| TB105 | MJIT-2 | 61.5- | 63.0 | 1.5 | <5 | 550 | 2 | 45 | 58 | 15.6 |
| TB106 | MJIT-2 | 63.0- | 64.5 | 1.5 | <5 | 80 | 4 | 43 | 90 | 15.4 |
| TB107 | MJIT-2 | 64.5- | 66.0 | 1.5 | 10 | 300 | 3 | 46 | 90 | 14.8 |
| TB108 | MJIT-2 | 66.0- | 67.5 | 1.5 | <5 | 930 | <2 | 50 | 84 | 15.2 |
| TB109 | MJIT-2 | 67.5- | 69.0 | 1.5 | <5 | 72 | 2 | 46 | 86 | 12.4 |
| TB110 | MJIT-2 | 69.0- | 70.5 | 1.5 | 5 | 19 | 4 | 43 | 86 | 15.0 |

7. 化学分析結果 (ボーリング・コア(3))

| Sample No. | Drill No. | Depth (m) | Width (m) | Au (ppb) | Sn (ppm) | W (ppm) | Th (ppm) | Ce (ppm) | U (ppm) |
|------------|-----------|--------------|--------------|-------------|-------------|------------|-------------|-------------|------------|
| TB111 | MJIT-2 | 70.5-72.0 | 1.5 | <5 | 6 | 5 | 42 | 76 | 12.4 |
| TB112 | MJIT-2 | 72.0-73.5 | 1.5 | <5 | 10 | 4 | 41 | 70 | 14.2 |
| TB113 | MJIT-2 | 73.5-75.0 | 1.5 | <5 | 2 | 3 | 45 | 80 | 14.8 |
| TB114 | MJIT-2 | 75.0-76.5 | 1.5 | <5 | 3 | 4 | 47 | 88 | 15.2 |
| TB115 | MJIT-2 | 76.5-78.0 | 1.5 | 35 | 3 | 3 | 42 | 80 | 15.8 |
| TB116 | MJIT-2 | 78.0-79.5 | 1.5 | 30 | 3 | 3 | 40 | 64 | 12.0 |
| TB117 | MJIT-2 | 79.5-81.0 | 1.5 | 15 | 3 | 5 | 35 | 48 | 11.6 |
| TB118 | MJIT-2 | 81.0-82.5 | 1.5 | <5 | 3 | 5 | 40 | 50 | 13.8 |
| TB119 | MJIT-2 | 82.5-84.0 | 1.5 | <5 | 3 | 6 | 40 | 50 | 12.8 |
| TB120 | MJIT-2 | 84.0-85.5 | 1.5 | <5 | 3 | 5 | 36 | 44 | 11.6 |
| TB121 | MJIT-2 | 85.5-87.0 | 1.5 | <5 | 2 | 4 | 38 | 52 | 13.2 |
| TB122 | MJIT-2 | 87.0-88.5 | 1.5 | <5 | <2 | 4 | 37 | 60 | 13.4 |
| TB123 | MJIT-2 | 88.5-90.0 | 1.5 | <5 | 2 | 5 | 39 | 68 | 18.4 |
| TB124 | MJIT-2 | 90.0-91.5 | 1.5 | <5 | 2 | 3 | 40 | 34 | 15.6 |
| TB125 | MJIT-2 | 91.5-93.0 | 1.5 | <5 | 7 | 4 | 41 | 50 | 17.0 |
| TB126 | MJIT-2 | 93.0-94.5 | 1.5 | <5 | 3 | 4 | 39 | 52 | 13.2 |
| TB127 | MJIT-2 | 94.5-96.0 | 1.5 | <5 | 5 | 6 | 45 | 80 | 14.6 |
| TB128 | MJIT-2 | 96.0-97.5 | 1.5 | <5 | 4 | 4 | 44 | 90 | 12.8 |
| TB129 | MJIT-2 | 97.5-99.0 | 1.5 | 10 | 4 | 6 | 43 | 82 | 14.8 |
| TB130 | MJIT-2 | 99.0-100.5 | 1.5 | 10 | 3 | 5 | 49 | 108 | 17.8 |
| TB131 | MJIT-2 | 100.5-101.7 | 1.2 | 20 | 3 | 3 | 45 | 150 | 17.8 |
| TB132 | MJIT-3 | 0.0-1.5 | 1.5 | <5 | 25 | 3 | 23 | 34 | 12.6 |
| TB133 | MJIT-3 | 1.5-3.0 | 1.5 | <5 | 41 | 4 | 21 | 26 | 9.8 |
| TB134 | MJIT-3 | 3.0-4.5 | 1.5 | <5 | 160 | 25 | 3 | 2 | 2.8 |
| TB135 | MJIT-3 | 4.5-6.0 | 1.5 | <5 | 17 | 6 | 22 | 12 | 13.4 |
| TB136 | MJIT-3 | 6.0-7.5 | 1.5 | <5 | 23 | 6 | 24 | 2 | 14.2 |
| TB137 | MJIT-3 | 7.5-9.0 | 1.5 | <5 | 170 | 17 | 25 | 80 | 17.0 |
| TB138 | MJIT-3 | 9.0-10.5 | 1.5 | <5 | 10 | 32 | 17 | 66 | 5.8 |
| TB139 | MJIT-3 | 10.5-12.0 | 1.5 | <5 | 4 | 21 | 17 | 70 | 4.0 |
| TB140 | MJIT-3 | 12.0-13.5 | 1.5 | <5 | 4 | 8 | 15 | 52 | 7.0 |
| TB141 | MJIT-3 | 13.5-15.0 | 1.5 | <5 | <2 | 4 | 10 | <2 | 9.2 |
| TB142 | MJIT-3 | 16.5-18.0 | 1.5 | <5 | 18 | 16 | 9 | 34 | 17.0 |
| TB143 | MJIT-3 | 18.0-19.5 | 1.5 | <5 | 4 | 32 | 14 | 34 | 9.8 |
| TB144 | MJIT-3 | 19.5-21.0 | 1.5 | <5 | 3 | 17 | 11 | 44 | 10.0 |
| TB145 | MJIT-3 | 21.0-22.5 | 1.5 | <5 | 2 | 12 | 17 | 60 | 5.2 |
| TB146 | MJIT-3 | 22.5-24.0 | 1.5 | <5 | 3 | 16 | 16 | 78 | 10.8 |
| TB147 | MJIT-3 | 24.0-25.5 | 1.5 | <5 | <2 | <2 | 26 | <2 | 20.2 |
| TB148 | MJIT-3 | 25.5-27.0 | 1.5 | <5 | 29 | 6 | 23 | 8 | 17.0 |
| TB149 | MJIT-3 | 27.0-28.5 | 1.5 | <5 | 10 | 18 | 16 | 52 | 9.4 |
| TB150 | MJIT-3 | 28.5-30.0 | 1.5 | <5 | 2 | 23 | 12 | 40 | 10.2 |
| TB151 | MJIT-3 | 30.0-31.5 | 1.5 | <5 | 3 | 17 | 20 | 56 | 6.6 |
| TB152 | MJIT-3 | 31.5-33.0 | 1.5 | <5 | 3 | 8 | 20 | 64 | 7.2 |
| TB153 | MJIT-3 | 33.0-34.5 | 1.5 | <5 | 27 | 13 | 16 | 52 | 9.4 |
| TB154 | MJIT-3 | 34.5-36.0 | 1.5 | <5 | 740 | 11 | 16 | 30 | 11.4 |
| TB155 | MJIT-3 | 36.0-37.5 | 1.5 | <5 | 63 | 16 | 20 | 20 | 12.2 |
| TB156 | MJIT-3 | 37.5-39.0 | 1.5 | <5 | 26 | 25 | 18 | 42 | 6.2 |
| TB157 | MJIT-3 | 39.0-40.5 | 1.5 | <5 | 6 | 14 | 16 | 26 | 8.8 |
| TB158 | MJIT-3 | 40.5-42.0 | 1.5 | 30 | 13 | 3 | 20 | 4 | 20.4 |
| TB159 | MJIT-3 | 42.0-43.5 | 1.5 | 15 | 86 | 2 | 21 | 4 | 23.0 |
| TB160 | MJIT-3 | 43.5-45.0 | 1.5 | 5 | 6 | <2 | 27 | <2 | 27.8 |
| TB161 | MJIT-3 | 45.0-46.5 | 1.5 | 10 | 5 | 4 | 17 | 2 | 19.4 |
| TB162 | MJIT-3 | 46.5-48.0 | 1.5 | 30 | 12 | 3 | 14 | 2 | 15.2 |
| TB163 | MJIT-3 | 48.0-49.5 | 1.5 | 20 | 3 | 3 | 16 | <2 | 18.6 |
| TB164 | MJIT-3 | 49.5-51.0 | 1.5 | <5 | 2 | 3 | 47 | 8 | 17.4 |

7. 化学分析結果 (ボーリング・コア(4))

| Sample No. | Drill No. | Depth | | Width (m) | Au (ppb) | Sn (ppm) | W (ppm) | Th (ppm) | Ce (ppm) | U (ppm) |
|------------|-----------|-------|-------|--------------|-------------|-------------|------------|-------------|-------------|------------|
| | | (m) | (m) | | | | | | | |
| TB165 | MJIT-3 | 51.0- | 52.5 | 1.5 | <5 | 3 | <2 | 18 | 16 | 15.6 |
| TB166 | MJIT-3 | 52.5- | 54.0 | 1.5 | <5 | 13 | 3 | 16 | 8 | 14.6 |
| TB167 | MJIT-3 | 54.0- | 55.5 | 1.5 | <5 | 29 | 4 | 18 | 6 | 17.4 |
| TB168 | MJIT-3 | 55.5- | 57.0 | 1.5 | <5 | 3 | 4 | 19 | <2 | 18.2 |
| TB169 | MJIT-3 | 57.0- | 58.5 | 1.5 | <5 | <2 | 3 | 15 | <2 | 18.0 |
| TB170 | MJIT-3 | 58.5- | 60.0 | 1.5 | 5 | 2 | 4 | 34 | 6 | 33.0 |
| TB171 | MJIT-3 | 60.0- | 61.5 | 1.5 | <5 | 2 | <2 | 41 | 26 | 34.8 |
| TB172 | MJIT-3 | 61.5- | 63.0 | 1.5 | 20 | 4 | 3 | 32 | 14 | 27.4 |
| TB173 | MJIT-3 | 63.0- | 64.5 | 1.5 | 20 | 5 | 3 | 31 | <2 | 29.2 |
| TB174 | MJIT-3 | 64.5- | 66.0 | 1.5 | 15 | 9 | <2 | 29 | 26 | 28.4 |
| TB175 | MJIT-3 | 66.0- | 67.5 | 1.5 | <5 | 3 | 3 | 36 | 2 | 29.4 |
| TB176 | MJIT-3 | 67.5- | 69.0 | 1.5 | <5 | 2 | 3 | 35 | 16 | 34.8 |
| TB177 | MJIT-3 | 69.0- | 70.5 | 1.5 | <5 | 3 | <2 | 32 | 78 | 37.6 |
| TB178 | MJIT-3 | 70.5- | 72.0 | 1.5 | <5 | 10 | 3 | 30 | 18 | 29.4 |
| TB179 | MJIT-3 | 72.0- | 73.5 | 1.5 | <5 | 2 | 3 | 25 | 8 | 22.4 |
| TB180 | MJIT-3 | 73.5- | 75.0 | 1.5 | <5 | <2 | 3 | 25 | 8 | 27.2 |
| TB181 | MJIT-3 | 75.0- | 76.5 | 1.5 | 10 | <2 | <2 | 23 | 6 | 23.2 |
| TB182 | MJIT-3 | 76.5- | 78.0 | 1.5 | <5 | <2 | <2 | 27 | 20 | 24.2 |
| TB183 | MJIT-3 | 78.0- | 79.5 | 1.5 | <5 | <2 | 3 | 25 | 2 | 27.4 |
| TB184 | MJIT-3 | 79.5- | 81.0 | 1.5 | <5 | <2 | <2 | 25 | <2 | 32.0 |
| TB185 | MJIT-3 | 81.0- | 82.5 | 1.5 | <5 | 2 | 3 | 29 | 4 | 33.4 |
| TB186 | MJIT-3 | 82.5- | 84.0 | 1.5 | 10 | 2 | 3 | 22 | 10 | 25.2 |
| TB187 | MJIT-3 | 84.0- | 85.5 | 1.5 | <5 | 2 | 3 | 34 | 10 | 32.4 |
| TB188 | MJIT-3 | 85.5- | 87.0 | 1.5 | <5 | 2 | 3 | 37 | 12 | 31.2 |
| TB189 | MJIT-3 | 87.0- | 88.5 | 1.5 | 10 | 9 | 3 | 37 | 14 | 27.6 |
| TB190 | MJIT-3 | 88.5- | 90.0 | 1.5 | <5 | 4 | 4 | 44 | 6 | 32.8 |
| TB191 | MJIT-3 | 90.0- | 91.5 | 1.5 | <5 | 3 | 6 | 45 | 16 | 43.4 |
| TB192 | MJIT-3 | 91.5- | 93.0 | 1.5 | <5 | <2 | 7 | 43 | 24 | 31.6 |
| TB193 | MJIT-3 | 93.0- | 94.5 | 1.5 | <5 | <2 | 4 | 36 | 28 | 27.8 |
| TB194 | MJIT-3 | 94.5- | 96.0 | 1.5 | <5 | <2 | 4 | 31 | 16 | 23.6 |
| TB195 | MJIT-3 | 96.0- | 97.5 | 1.5 | <5 | <2 | 3 | 36 | 20 | 27.4 |
| TB196 | MJIT-3 | 97.5- | 99.0 | 1.5 | <5 | <2 | 4 | 43 | 20 | 41.8 |
| TB197 | MJIT-3 | 99.0- | 101.0 | 2.0 | <5 | <2 | 5 | 34 | 18 | 29.4 |
| TB198 | MJIT-4 | 7.0- | 8.5 | 1.5 | <5 | <2 | 17 | 15 | 98 | 2.2 |
| TB199 | MJIT-4 | 40.0- | 41.5 | 1.5 | 5 | <2 | 16 | 19 | 106 | 2.2 |
| TB200 | MJIT-4 | 41.5- | 43.0 | 1.5 | <5 | <2 | 24 | 20 | 108 | 2.2 |
| TB201 | MJIT-4 | 43.0- | 44.5 | 1.5 | <5 | 3 | 10 | 16 | 56 | 2.6 |
| TB202 | MJIT-4 | 44.5- | 46.0 | 1.5 | <5 | 5 | 16 | 19 | 76 | 2.8 |
| TB203 | MJIT-6 | 13.5- | 15.0 | 1.5 | <5 | 4 | 19 | 21 | 60 | 2.4 |
| TB204 | MJIT-6 | 15.0- | 16.5 | 1.5 | <5 | 3 | 24 | 21 | 82 | 2.4 |
| TB205 | MJIT-6 | 16.5- | 18.0 | 1.5 | 65 | 3 | 85 | 16 | 62 | 2.8 |
| TB206 | MJIT-6 | 18.0- | 19.5 | 1.5 | 35 | <2 | 55 | 12 | 40 | 2.0 |
| TB207 | MJIT-6 | 19.5- | 21.0 | 1.5 | <5 | 4 | 45 | 21 | 66 | 2.6 |
| TB208 | MJIT-6 | 21.0- | 22.5 | 1.5 | <5 | 2 | 32 | 19 | 66 | 2.2 |
| TB209 | MJIT-6 | 22.5- | 24.0 | 1.5 | <5 | 2 | 60 | 19 | 68 | 2.6 |

